



Hochschule für Angewandte Wissenschaften Hamburg
Hamburg University of Applied Sciences

Bachelorarbeit

Jan Huesmann



Automatisierte robotergestützte Messung und Protokollierung photometrischer Daten von DMX-fähigen Scheinwerfern

*Fakultät Design, Medien und Information
Department Medientechnik*

*Faculty of Design, Media and Information
Department of Media Technology*

Jan Huesmann

**Automatisierte robotergestützte Messung und
Protokollierung photometrischer Daten von
DMX-fähigen Scheinwerfern**

Bachelorarbeit eingereicht im Rahmen der Bachelorprüfung

im Studiengang Bachelor of Science Medientechnik
am Department Medientechnik
der Fakultät Design, Medien und Information
der Hochschule für Angewandte Wissenschaften Hamburg

Betreuende Prüferin: Prof. Dr.-Ing Carolin Liedtke
Zweitgutachter: B. Sc. Fabian Oving

Eingereicht am: 21. Juli 2022

Jan Huesmann

Thema der Arbeit

Automatisierte robotergestützte Messung und Protokollierung photometrischer Daten von DMX-fähigen Scheinwerfern

Stichworte

Spektrometer, Photometer, Automatisierung, Robotik, DMX, Scheinwerfer

Kurzzusammenfassung

Gegenstand dieser Bachelorarbeit ist die Entwicklung einer Software zur automatischen Messung und Protokollierung photometrischer Daten von Scheinwerfern, die über das DMX-512-Protokoll steuerbar sind. Die Softwareentwicklung basiert auf einem Spektrometer und einem Roboter und ist für den Einsatz im Lichtlabor der HAW Hamburg entwickelt worden. Zur Bedienung der Software wird lediglich ein Browser verwendet, die Messdaten werden automatisch in einer benutzerfreundlichen XLSX-Datei gespeichert und visualisiert.

Jan Huesmann

Title of the paper

Automated robotic measurement and logging of photometric data of DMX-capable spotlights

Keywords

spectrometer, photometer, automation, robotic, DMX, spotlights

Abstract

The subject of this bachelor thesis is the development of a software for the automatic measurement and logging of photometric data of spotlights controllable via DMX-512 protocol. The software development is based on a spectrometer and a robot and has been developed for use in the lighting laboratory of HAW Hamburg. Only a browser is used to operate the software and the measurement data is automatically stored and visualized in a user-friendly XLSX file.

Danksagung

Fabian Oving, für die tollen Jahre im Lichtlabor, das für mich und viele andere zu einem zweiten Zuhause geworden ist.

Prof. Dr. Carolin Liedtke, für die Betreuung dieser Arbeit.

Allen anderen Menschen im Lichtlabor, die die Zeit meines Bachelorstudiums so bereichert haben.

Inhaltsverzeichnis

1	Einleitung	1
1.1	Motivation	2
1.2	Aufbau der Arbeit	3
2	Anforderungsanalyse	4
3	Hardwareanalyse	7
3.1	Gossen MAVOSPEC BASE	7
3.2	fruitcore robotics HORST900	10
3.3	DMX-Protokoll	16
4	Realisierung	18
4.1	Technischer Aufbau	18
4.2	Programmiersprache	19
4.3	Verwendete Entwicklungsumgebung	19
4.4	Verwendete Bibliotheken	20
4.5	Struktur der Software	26
4.6	Softwareumsetzung	28
4.7	Benutzeroberfläche	37
4.8	Darstellung der Messdaten	40
5	Testmessungen und Fehlerbetrachtung	44
5.1	Ergebnis-Analyse als Anwendungsbeispiel	44
5.2	Fehlerbetrachtung der Positionierung	49
5.3	Fehlerbetrachtung des Spektrometers	51
6	Fazit	56
6.1	Zusammenfassung	56
6.2	Herausforderungen	57
	Abbildungsverzeichnis	59
	Tabellenverzeichnis	61
	Listingsverzeichnis	62
	Literaturverzeichnis	63
	Anhang	65

1 Einleitung

„Bei einer Bearbeitung lichttechnischer Fragen darf heute die Verwendung des künstlichen Lichts für Reproduktionszwecke nicht unberücksichtigt bleiben. Früher meist nur aushilfsweise neben dem natürlichen Tageslicht benutzt, ist das Kunstlicht schon seit längerer Zeit zum ständigen und unentbehrlichen Arbeitsgerät des Reproduktionstechnikers geworden. Hierzu hat besonders die neuere Entwicklung der elektrischen Lichtquellen beigetragen.“ (Bloch 2019, S. 523)

Diesen Abschnitt schrieb der Ingenieur L. Bloch bereits 1921 in einem Werk zur Lichttechnik. Zu jener Zeit war die Erzeugung von Licht durch Elektrizität noch keine Selbstverständlichkeit, stattdessen war die Verbrennung von Gas oder Feststoffen zur Lichterzeugung noch sehr geläufig. L. Bloch erkannte jedoch früh die Vorteile der elektrischen Lichterzeugung, um unabhängig vom Tageslicht etwa Fotografien zu erstellen, die immer gleich aussehen konnten. Heute eine wahrgenommene Selbstverständlichkeit, die doch nicht mehr immer eine ist. Mit dem Einzug der LED-Technik in die Lichterzeugung veränderte sich diese Selbstverständlichkeit der Reproduzierbarkeit drastisch und die technischen Neuerungen stellten die Hersteller von Leuchten vor viele neue Herausforderungen. Hohe Wärmeentwicklung auf sehr kleiner Fläche, schmale emittierte Wellenlängenbereiche und neue Ansteuerungstechniken sind nur eine Auswahl an Herausforderungen, die der Einzug der LED-Technik in die Industrie mit sich brachte.

Das Wissen darüber, wie gut diese Herausforderungen von Herstellern gelöst werden und welche Kompromisse dafür eingegangen werden müssen, ist für die Kunden:innen und die Nutzer:innen von modernen Scheinwerfern in der Veranstaltungs- und Theaterbranche essenziell wichtig. Bei heute üblichen vier- bis fünfstelligen Preisen für einzelne Scheinwerfer müssen Investitionen genau durchdacht werden und die eingegangenen Kompromisse dem Einsatzzweck entsprechen.

Photometrische Messdaten der Scheinwerfer sind bei diesen Entscheidungsfindungen einer der wichtigsten Anhaltspunkte, da diese objektive Argumente liefern. Welcher Scheinwerfer ist heller, welche Farbwiedergabequalität ist besser oder welche Farbtemperaturen können

wirklich erreicht werden? Und welche Einflüsse haben bestimmte Einstellungen auf die anderen Werte? Diesen Fragen kann mit photometrischen Messungen nachgegangen werden. Soll die Aufnahme dieser Messdaten effizient erfolgen, stellt sich spätestens bei der Veränderung einer Variablen während der Messung die Aufgabe einer Automatisierung. Diese Arbeit fokussiert sich auf die Entwicklung und die Realisierung einer Software zur automatisierten Aufnahme von Messreihen photometrischer Daten.

1.1 Motivation

Die Motivation für diese Bachelorarbeit kommt durch meine persönlichen Erfahrungen in der Erstellung von Messreihen zu photometrischen Daten von Scheinwerfern.

Bei meiner Anstellung für einen Scheinwerferhersteller war es Teil meiner Aufgaben Messreihen zu erstellen und zu visualisieren, die von Kund:innen oder den internen Vertriebler:innen angefragt wurden. Die manuelle Aufnahme der Messreihen war oft sehr zeitaufwendig, jedoch dabei wenig herausfordernd. Wurde beispielsweise der Verlauf der maximalen Helligkeit in den ersten 30 Minuten angefragt, bedeutete dies einen Testaufbau, bei dem die Beleuchtungsstärke eines Scheinwerfers jede 60 Sekunden gemessen und die Messung dabei händisch ausgelöst werden musste. Danach wurde der Messwert vom Display abgelesen und manuell in eine Tabellenkalkulation eingetragen. Nebenbei wurde das Spektrum auf dem Messgerät in einer einzelnen Datei gespeichert. Dieser Vorgang wurde 30-mal wiederholt und anschließend manuell in eine Grafik zu diesem zeitlichen Verlauf und dem Spektrum zu Beginn und nach 30 Minuten übertragen. Ähnlich waren die Messungen von beispielsweise Dimmerkurven. Hier musste nach der geforderten Genauigkeit in einer gewissen Anzahl von Schritten der DMX-Wert für den Dimmerkanal stufenweise durchlaufen und durch händische Messungen ausgelöst werden, bis die gesamte Dimmerkurve aufgenommen war. Insbesondere bei Messungen mit vielen Messschritten oder etwa bei genauer Betrachtung der Farbwiedergabequalitäten, war dies aufgrund der Datenmengen eine sehr ineffiziente Arbeit.

Die Entwicklung einer automatisierten Erfassung der Messreihen mit erweitertem Funktionsumfang war daher für mich der logische Schritt zur effizienteren Bewerkstelligung dieser notwendigen Arbeit. Benutzerfreundlich, flexibel und trotzdem weitestgehend automatisiert soll bestenfalls das Ergebnis dieser Arbeit sein, um auf einfache Weise mit der Aufnahme von photometrischen Messdaten Scheinwerfer vergleichbar zu machen und objektive Aussagen über Stärken und Schwächen von Scheinwerfern zu ermöglichen.

1.2 Aufbau der Arbeit

Der Aufbau dieser Arbeit orientiert sich an dem Entwicklungsprozess der im Rahmen dieser Arbeit realisierten Software.

Dafür wird diese Arbeit in fünf weitere Kapitel unterteilt. In dem folgenden Kapitel werden die Anforderungen an die im Rahmen dieser Arbeit entstehenden Software erfasst, grundlegende Funktionen festgehalten und in ihren Grundzügen definiert.

Im nachfolgenden Kapitel 3 wird basierend auf der Anforderungsanalyse aus Kapitel 2 die verfügbare Hardware analysiert und erste Ideen zur Umsetzung der Anforderungen mit der konkreten Hardware werden erklärt. Kapitel 4 befasst sich mit der Realisierung der Software und beschreibt in acht Unterkapiteln die Softwareentwicklung. Dabei werden verschiedene Arbeitsschritte betrachtet, die beim physischen technischen Aufbau und der Verkabelung des Gesamtsystems beginnen und über die Struktur der Software bis abschließend hin zur Visualisierung der aufgezeichneten Messdaten gehen. Dieses Kapitel bildet den Schwerpunkt dieser Arbeit und soll getroffene Entscheidungen und technische Lösungen erklären, die im Laufe der Softwareentwicklung auftraten.

Im 5. und vorletzten Kapitel wird die entstandene Software getestet. Dafür wird zu Beginn eine durchgeführte Messung inhaltlich analysiert und überprüft, ob sich anhand der Messergebnisse konkrete Aussagen über den vermessenen Scheinwerfer treffen lassen. Danach wird die Hardware auf Fehlerquellen hin geprüft und eine Abschätzung der entstehenden Fehler vorgenommen. Das letzte Kapitel 6 bildet den Abschluss der Arbeit und zieht ein Fazit zu den vorherigen Kapiteln.

2 Anforderungsanalyse

Folgend werden die gesetzten Anforderungen an die im Rahmen dieser Arbeit entstehenden hardware-nahen Software aufgeführt und kurz beschrieben.

– Photometrische Messungen im zeitlichen Verlauf

Bei der Aufnahme von Messreihen ist eine wichtige Variable die Zeit.

Zur Beobachtung zeitlicher Veränderung photometrischer Daten wie beispielsweise Beleuchtungsstärke, ähnlichster Farbtemperatur, Farbort oder Spektrum ist eine Funktion zur automatischen, zeitgesteuerten Messungen in definierten Abständen essenziell. Dazu gehört auch die Funktion einer optionalen, definierten Wartezeit vor der ersten Messung, da zeitlich bedingte Schwankungen besonders in den ersten Minuten zu erwarten sind. So kann beispielsweise bei Aufnahme einer Dimmerkurve dieser Einfluss minimiert werden.

– Photometrische Messungen im räumlichen Verlauf

Besonders bei scharfen Abbildungen von Profilscheinwerfern ist die Homogenität der Abbildung interessant. Mit Hilfe eines Roboters soll eine Messung auf der horizontalen Achse des Lichtkegels möglich gemacht werden, um mit einer benutzerdefinierten Anzahl von Schritten den Lichtkegel im räumlichen Verlauf zu vermessen und so die Homogenität bewertbar zu machen.

– Photometrische Messungen im Verlauf der DMX-Ansteuerung von Funktionen

Essenziell ist die automatische Ansteuerung von Funktionen des zu vermessenen Scheinwerfers. Die Ansteuerung dieser Funktionen funktioniert per DMX-Protokoll. Somit muss die Software benutzerdefinierte DMX-Kanäle ansteuern können und die Werte automatisiert anhand der von den Nutzer:innen eingestellten Anzahl an Messschritten bestimmen und ausgeben.

Außerdem sind Minimal- und Maximalwerte sowie eine 16-Bit Unterstützung wünschenswert.

– Einbindung eines Lichtstellpultes per IP-DMX-Protokoll

DMX-fähige Scheinwerfer haben in der Regel definierte DMX-Default-Werte, die den Scheinwerfer in eine Grundstellung bringen. Diese sind bei jedem Scheinwerfer, sowie nochmal bei jedem DMX-Modus, sehr unterschiedlich und müssen für eine sinnvolle Messung ausgegeben werden. Um nicht eine gesamte Bibliothek für alle Scheinwerfer aller Hersteller zu erstellen, die diese Werte beinhaltet und einstellt, empfiehlt sich die Einbindung eines Lichtstellpults, bei dem die Hersteller die Bibliotheken pflegen und regelmäßig aktualisieren. Das Lichtstellpult gibt per IP-Protokoll die DMX-Werte an einen DMX-Merger, in dem dann diese Werte von den variablen Werten der Software überschrieben werden. So ist eine einfache und gewohnte Bedienung des Scheinwerfers per Lichtstellpult und gleichzeitig eine DMX-Ausgabe der Software mit Priorität gegeben.

– Steuerung und Auslesung der Messdaten des Gossen MAVOSPEC BASE-Spektrometer

Das *Gossen MAVOSPEC BASE* ist das gewählte Spektrometer zur Messung der photometrischen Daten. Das Messgerät ist ein Standalone-Messgerät, das somit auch autark für simplere Messungen unterwegs genutzt werden kann. Gleichzeitig bietet es jedoch auch eine USB-Schnittstelle, mit der per serieller Kommunikation das Gerät gesteuert werden kann und Rohdaten sowie berechnete Messwerte ausgelesen werden können. Diese Funktionen sollen automatisch im Messablauf ausgelöst werden, so dass keine Interaktion von Nutzer:innen mit dem Messgerät nötig ist.

– Steuerung des fruitcore HORST900-Roboter

Die Software soll den vorhandenen *fruitcore HORST900* Roboter steuern, um die händische Einstellung des Messgerätes in der Mitte des Lichtkegels zu übernehmen und außerdem eine räumliche Messung zu ermöglichen. Dafür soll der Roboter in der horizontalen Achse annähernd ideale, berechnete Positionen im Raum anfahren, die eine Messung der Homogenität des Lichtkegels ermöglichen.

– Befestigung des Spektrometers am Roboter

Zur Umsetzung des vorherigen Punktes ist die Befestigung des Spektrometers am Roboter nötig. Dafür ist eine speziell konstruierte Halterung für diesen Zweck notwendig, die mit Hilfe eines 3D-Druckers produziert werden soll.

– Protokollierung der Messdaten

Die Messdaten sollen in einem einheitlichen Format protokolliert werden, das benutzerfreundlich einsehbar ist, jedoch ebenso möglichst viele Rohdaten abspeichert. Dafür soll bei jeder Messung auch das Spektrum gespeichert werden, um eine Weiterverarbeitung der Daten unabhängig der vom Spektrometer errechneten Daten zu ermöglichen. Die angedachte Zielgruppe für die Messdaten sind Student:innen.

– Visualisierung der Messdaten

Die Messdaten sollen automatisch in einfachen, übersichtlichen Grafiken visualisiert werden. Außerdem sollen diese generierten Grafiken noch anpassbar sein, um Informationen noch nachträglich hinzufügen und Wertebereiche der Visualisierung anpassen zu können. Die Grafiken sollen außerdem simpel in verschiedene Formate exportierbar sein.

3 Hardwareanalyse

Im folgenden Kapitel wird die vorliegende Hardware genauer betrachtet und überprüft, ob die Anforderungen aus dem vorhergehenden Kapitel mit den Spezifikationen der Hardware umsetzbar sind.

3.1 Gossen MAVOSPEC BASE

Das MAVOSPEC Base von dem Hersteller Gossen ist ein Spektrometer zur professionellen Messung von photometrischen Daten. Es ist durch seine Größe von 39x60x30mm, dem Gewicht von 150g sowie dem verbauten Bildschirm und Akku auch für den mobilen Einsatz gedacht. Der Sensor des MAVOSPEC BASE ist ein CMOS-Sensor mit 256 Pixeln (Gossen 2021a, S. 35–36).



Abbildung 3.1: Gossen MAVOSPEC BASE (Gossen 2022)

Der messbare Spektralbereich ist für 380-780 nm definiert und deckt so das gesamte VIS-Spektrum ab (Baer, Barfuß und Seifert 2020, S. 24). Der Bereich der messbaren Beleuchtungsstärke ist für 10 bis 100 000 lux angegeben, der Bereich der ähnlichsten Farbtemperatur (CCT) von 1600 bis 50 000 K, der Abstand des Farborts zum plank'schen-Kurvenzug (Duv) in diesem Bereich mit $\geq -0,1$ (Gossen 2021a, S. 35). Diese Werte sind für den Einsatzzweck der Vermessung von Scheinwerfern ausreichend. Die photometrischen Werte professioneller Scheinwerfer liegen in der Regel deutlich innerhalb dieser Grenzbereiche.

Das MAVOSPEC BASE nutzt zur Kosinuskorrektur einen diffusen Zylinderaufsatz mit einer Lichteintrittsfläche von 38,48 mm² zur Überbewertung der seitlichen Lichtanteile sowie eine zusätzliche radiale Abschattung zur Kompensierung des künstlichen Fehlers (Baer, Barfuß und Seifert 2020, S. 169–171). Gossen gibt die Fehlergrenze der Kosinuskorrektur mit $< 3\%$ an.

Die Fehlertoleranzangaben des Herstellers bei Normlichtart A (2856 K bei 1000 lux) finden sich in folgender Tabelle:

Messunsicherheit Beleuchtungsstärke	$\pm 3\%$
Messunsicherheit Farbort	/
Reproduzierbarkeit Farbort	$\pm 0,0005\%$
Messunsicherheit CCT	$\pm 2\%$
Messunsicherheit TM30	$\pm 1,5\%$
Messunsicherheit CRI	$\pm 1,5\%$
Messunsicherheit Flicker	$\pm 1,5\%$

Tabelle 3.1: Herstellerangaben Fehlertoleranzen - Gossen MAVOSPEC BASE (Gossen 2021a, S. 35)

Das MAVOSPEC BASE bietet eine Mini-USB 2.0 Schnittstelle zur Verbindung mit einem Computer. Dort meldet sich das Gerät als „USB composite device“, einem USB-Gerät, das mehr als eine Verbindung mit dem Betriebssystem aufbaut. So meldet sich das Gerät gleichzeitig als Wechselspeicher zur Übertragung von auf der microSD-Karte gespeicherten Messdaten, als auch als HID (Human Interface Device) sowie als CDC-Device (Communications Device Class) zur Ansteuerung und Abfrage des Messgeräts.

Zur Steuerung per Software wird in dieser Arbeit das CDC Protokoll als serielle Schnittstelle verwendet. Da das CDC-Protokoll als serielle Kommunikation auf UART basiert, sind einige

Einstellungen nötig, die von Gossen definiert sind (Gossen 2021b, S. 11) und von der Software übernommen werden müssen, um eine Kommunikation aufzubauen:

Baudrate	9600 Bits / s
Datenbits	8
Stopbits	1
Paritätskontrolle	/
Flusskontrolle	/

Tabelle 3.2: UART Einstellungen - Gossen MAVOSPEC BASE
(Gossen 2021b, S. 11)

Per CDC-Protokoll ist so eine komplette Steuerung des Messgeräts möglich, in dem definierte ASCII-Commands als Strings seriell an das Spektrometer gesendet werden und eine Antwort mit definierter Länge erwartet wird, die wiederum seriell ausgelesen und im nächsten Schritt zur Weiterverarbeitung geparsed werden kann.

3.2 fruitcore robotics HORST900

Der HORST900 ist ein 6-Achsen Industrieroboter des Herstellers fruitcore robotics. Der Roboter hat einen Arbeitsbereich von 1265 x 905 x 1810 mm, benötigt eine Aufstellfläche von 380 x 380 mm und wiegt 55kg. Die maximale Reichweite beträgt 905 mm. Die maximale Traglast gibt der Hersteller mit 5 kg an, die Nennlast mit 3 kg. (fruitcore robotics GmbH 2022b, 1 ff.)



Abbildung 3.2: fruitcore robotics HORST900 (fruitcore robotics GmbH 2021)

Die Wiederholgenauigkeit von $\pm 0,05$ mm und die Geschwindigkeit von bis zu 1,6 m/s bieten sich für den geplanten Einsatzzweck besonders an, um zielsicher und schnell die geforderten Messpositionen anzufahren und bei wiederholten Messungen die Vergleichbarkeit zu gewährleisten.

HORST900 bietet folgende Bewegungsbereiche (fruitcore robotics GmbH 2022b, S. 2):

Achse	Bewegungsbereich
1	$\pm 176^\circ$
2	$+85,5^\circ / -16^\circ$
3	$+42^\circ / -67^\circ$
4	$\pm 171^\circ$
5	$\pm 119^\circ$
6	$\pm 300^\circ$

Tabelle 3.3: Bewegungsbereiche Achswinkel - HORST900

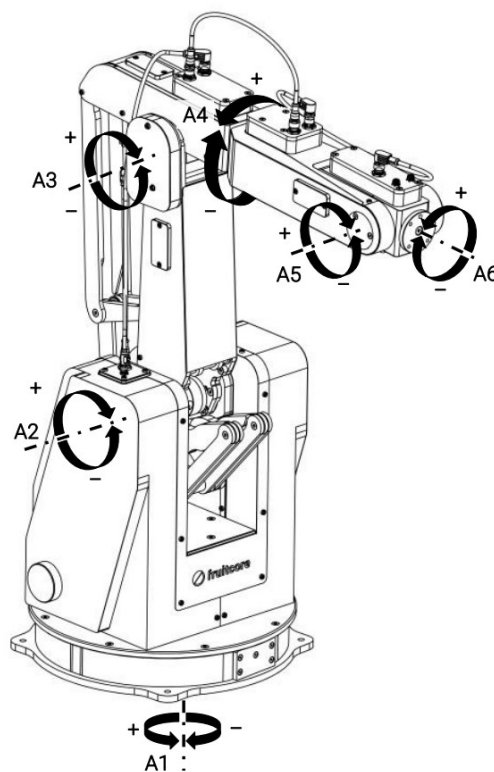


Abbildung 3.3: Roboterachsen - Horst900 (fruitcore robotics GmbH 2022a, S. 21)

Da für die Messungen das Spektrometer immer in die Richtung des Scheinwerfers ausgerichtet sein muss, kann diese maximale Reichweite nicht komplett ausgenutzt werden und die maximale horizontale Spannweite begrenzt sich auf ca. 1200 mm. Dies ist folglich auch der maximale Durchmesser des Lichtkegels, der bei einer Messung der Homogenität erreicht werden kann.

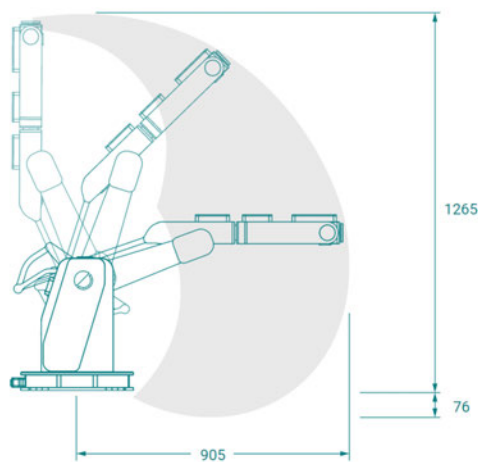


Abbildung 3.4: Bewegungsbereich Vertikal
(fruitcore robotics GmbH 2022b,
S. 6)

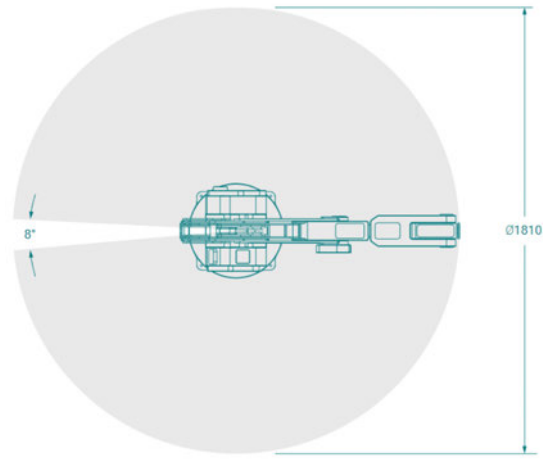


Abbildung 3.5: Bewegungsbereich Horizontal
(fruitcore robotics GmbH 2022b,
S. 6)

Die Ansteuerung des HORST900 ist auf verschiedene Arten möglich. Die einfachste Weise ist die Steuerung per herstellereigener Programmierumgebung „HorstFX“, die sowohl auf dem angeschlossenen Touch-Steuertableau läuft, als auch auf externen Computern genutzt werden kann. Diese Steuerung ist jedoch proprietär und ein Zugriff aus einer externen Programmiersprache auf die Schnittstelle ist so nicht verfügbar.

Für eine externe Steuerung des Roboters bietet fruitcore robotics neben *Modbus* und *Profinet* die Ansteuerung per „*Extensible Markup Language Remote Procedure Call*“, kurz *XML-RPC* an. Dieses programmiersprachenunabhängige Protokoll als Kommunikationsformat eignet sich aufgrund seiner Einfachheit und der stabilen Implementierung in viele Programmiersprachen sehr gut für die Kommunikation mit kritischer Hardware.

XML-RCP nutzt XML als Dokumentenformat zur Übermittlung der Steuerdaten und Antworten zwischen Software und Roboter. Der HORST900 fungiert dabei als Server, die Software als Client. Die Übertragung selbst funktioniert dabei per HTTP, genauer per POST-Requests als HTTP-Anfragemethode (Abts 2010, S. 205–206).

Struktur-Beispiel - Client:

```
1 <?xml version="1.0" encoding="UTF8"?>
2 <methodCall>
3   <methodName>echo.getEcho</methodName>
4   <params>
5     <param>
6       <value> Hello </value>
7     </param>
8   </params>
```

```
9 </methodCall>
```

Listing 3.1: XML-RPC - HTTP-POST-Request Client

Der Client fügt ein „getEcho“ hinzu und fordert so den Server zu einer Antwort auf.

Struktur-Beispiel - Antwort Server:

```
1 <?xml version="1.0" encoding="UTF8"?>
2 <methodCall>
3   <params>
4     <param>
5       <value> World </value>
6     </param>
7   </params>
8 </methodCall>
```

Listing 3.2: XML-RPC - HTTP-POST-Request Server

So können auch komplexere Befehle einfach und schnell per Ethernet-Verbindung übertragen werden und der Roboter kann Bestätigungen, Positionsdaten oder Fehlermeldung ebenso simpel zurück an den Client melden. Voraussetzung ist dabei lediglich, dass Client und Server sich im selben Netzwerk befinden. Die IP-Adressen des Clients und des Roboters müssen dementsprechend angepasst werden.

3.2.1 Halterung

Zur Befestigung des Spektrometers an dem Roboter ist eine speziell konstruierte Halterung notwendig.

Der Roboter bietet dafür eine Werkzeugaufnahme mit vier metrischen M6-Gewinden in einer 63 mm Grundplatte (fruitcore robotics GmbH 2022b, S. 5).

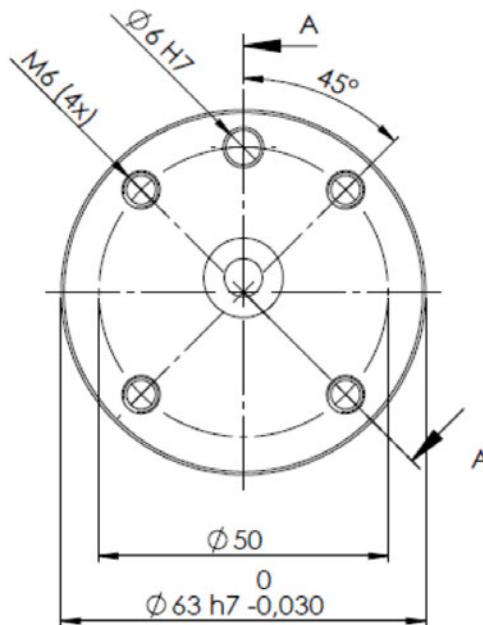


Abbildung 3.6: Werkzeugaufnahme-Flansch - HORST900 (fruitcore robotics GmbH 2022b, S. 5)

An diesen Flansch kann mit M6-Schrauben eine Halterung für das MAVOSPEC BASE geschraubt werden, die das Messgerät stabil und gerade direkt am Roboter befestigt. Da das MAVOSPEC BASE keine Schraubverbindung bietet, muss die Halterung das Messgerät festklemmen. Dabei soll das Gerät weiter bedienbar bleiben, um spezielle Einstellungen am Gerät selbst vornehmen zu können. Außerdem soll die Fertigungsart der Halterung möglichst genau sein, um eine sehr stabile Position des Messgeräts während der Bewegungen des Roboters zu gewährleisten.

Für die Fertigungsart bietet sich dementsprechend 3D-Druck an, da bei dieser Methode die Genauigkeit der Maße bei etwa 0.1 mm liegt und auch die Kosten der Fertigung sehr niedrig bleiben. Bei einem Preis von etwa 20€ für ein Kilogramm Plastikfilament und einem Gewicht des Drucks von etwa 110g liegt der Fertigungspreis bei 2,20€.

Die Halterung muss für den Druck virtuell in einer CAD-Software konstruiert werden und kann daraufhin mit einem beliebigen Plastikfilament gedruckt werden. Polylactide (PLA) bieten sich hier wegen der Einfachheit der Verarbeitung und den geringen Kosten an. Die Stabilität von PLA ist für den Einsatzzweck ausreichend.

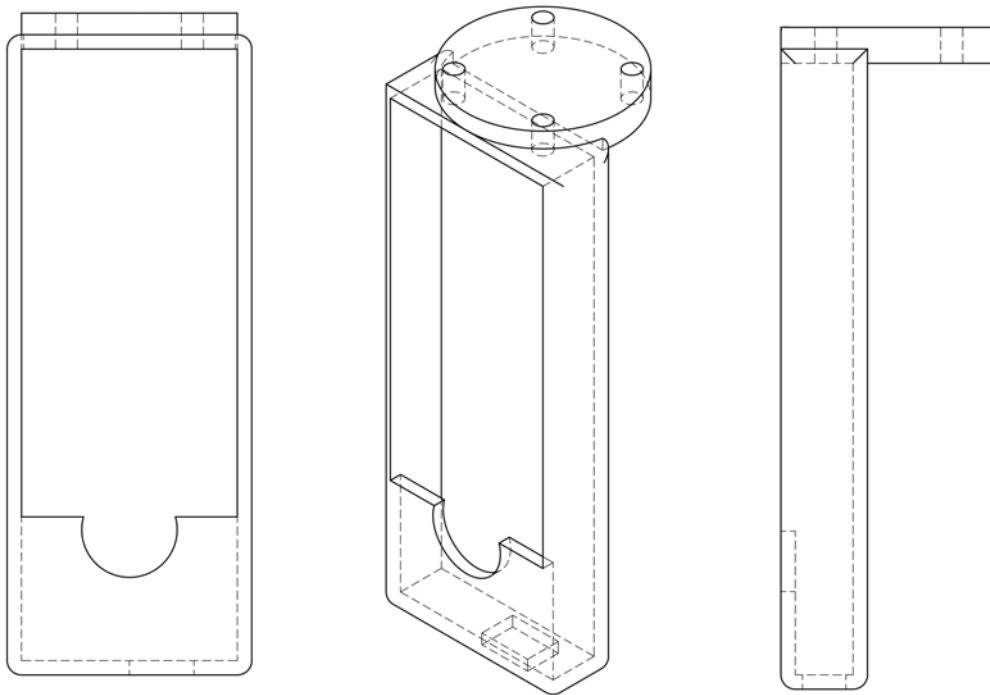


Abbildung 3.7: Front-, Perspektiv- und Seitenansicht - Halterung Spektrometer

Die Halterung ist so konstruiert, dass das Messgerät lediglich von oben eingeschoben werden muss und danach fest in der Halterung sitzt. Dafür entsprechen die Innenmaße der Halterung den Maßen des Messgerätes, um einen gewissen benötigten Kraftaufwand beim Einsetzen des Messgerätes zu erreichen. Durch die leichte Flexibilität von PLA kann so das Messgerät sehr stabil in die Halterung gesetzt werden und ein Verrutschen ausgeschlossen werden.

Um Einflüsse der Halterung auf Messergebnisse zu minimieren und eine korrekte Kosinuskorrektur zu gewährleisten, muss der zylindrische Diffusor inklusive Abschattung vor der Halterung selbst sitzen. Daher wurde die Halterung so konstruiert, dass das Messgerät direkt unter der vorderen Kante der Aufnahme und der vorstehende Messkopf frei vor der Halterung sitzt.

Umgesetzt wurde die CAD-Zeichnung in *Autodesk Fusion 360*.

Im Anhang finden sich eine bemaßte Zeichnung(6.1) und Fotos des 3D-Drucks (6.2).

3.3 DMX-Protokoll

DMX-512

Publiziert wurde DMX-512 erstmals 1986. In den USA bereits 1990 verbreitet, entwickelte sich *DMX-512/1990* Ende der Neunzigerjahre auch in Deutschland als Norm *DMX-512/DIN-56930* zum Standard für Scheinwerferansteuerung (Greule 2021, S. 175 ff.).

DMX-512 ist ein Steuerprotokoll zur Ansteuerung von 512 Kanälen mit jeweils einem 8-Bit Wert (0-255). Bei der Übertragung eines DMX-Pakets werden dabei jeweils folgende Sequenzen übertragen:

„*Break (logisch 0) – Mark After Break (logisch 1) – Startbyte (Wert 00) – Kanal 1 (1 Byte) - ... - Kanal 512 (1 Byte)*“ (Greule 2021, S. 175 ff.).

Übertragen wird DMX-512 nach Norm über 5-polige XLR-Stecker. In der Praxis finden sich jedoch oft auch die aus der Tontechnik bekannten 3-pol XLR-Stecker zur Analog-Übertragung, jedoch mit invertiertem Gender für In- und Outputs. Die Übertragungsrate von DMX-512 ist mit 250 Kbit/s und einer Übertragungsrate von 44,1 Hz im Vergleich zu modernen Protokollen sehr langsam. Dies ermöglicht jedoch eine sehr ressourcensparende und somit günstige Implementierung in Soft- und Hardware.

IP-DMX-Protokolle

Für die Übertragung von DMX-kompatiblen Daten wurden seit der Jahrtausendwende verschiedene Ethernet-basierte Protokolle entwickelt, die mehrere sogenannte „DMX-Universen“ übertragen können. Diese Protokolle können als Container-Format viele DMX-Universen je 512 Kanälen übertragen und sind somit bedeutend leistungsstärker als das ursprüngliche DMX-512 Protokoll.

Mit dem TCP/IP-Protokoll *ArtNet* sind so beispielsweise 32768 DMX-Universen gleichzeitig möglich, das UDP-Protokoll *sACN* erlaubt sogar 63999 simultane DMX-Universen (Greule 2021, S. 175 ff.).

USB-DMX512-Interface

Für die Implementierung des DMX-Protokolls bietet sich ein USB-DMX512-Interface an, vorliegend ist ein „*eurolite USB-DMX512-PRO Interface*“. Dieses meldet sich als serielle Schnittstelle

beim Betriebssystem und kann so mit einer beliebigen Programmiersprache angesteuert werden, um DMX-Daten direkt auf ein XLR-f Anschluss zu geben. Diese USB-DMX512-Interfaces nutzen in der Regel zwei verbaute Chips: Einen FTDI-Chip zur seriellen USB-Kommunikation mit dem Computer und außerdem einen, von dem FTDI-Chip angesteuerten, ST485-Chip zur Ausgabe des DMX512-Protokolls.

4 Realisierung

In dem folgenden Kapitel wird die Umsetzung der Anforderungen und die Implementierung der Hardware in eine funktionsfähige Software behandelt. Dabei wird nicht der gesamte Programmcode betrachtet, sondern sich auf speziellere Abschnitte beschränkt. Zu diesen wird teilweise die Herleitung erklärt und auf die theoretischen Grundlagen eingegangen. Außerdem werden die Gedankengänge zu der Benutzeroberfläche und der Darstellung der Messdaten erläutert. In dem folgenden Beginn des Kapitels wird zudem kurz auf den technischen Aufbau, die Programmiersprache und die verwendete Entwicklungsumgebung eingegangen.

4.1 Technischer Aufbau

Der Aufbau und die Verkabelung zur Umsetzung der Anforderungen sieht wie folgt aus:

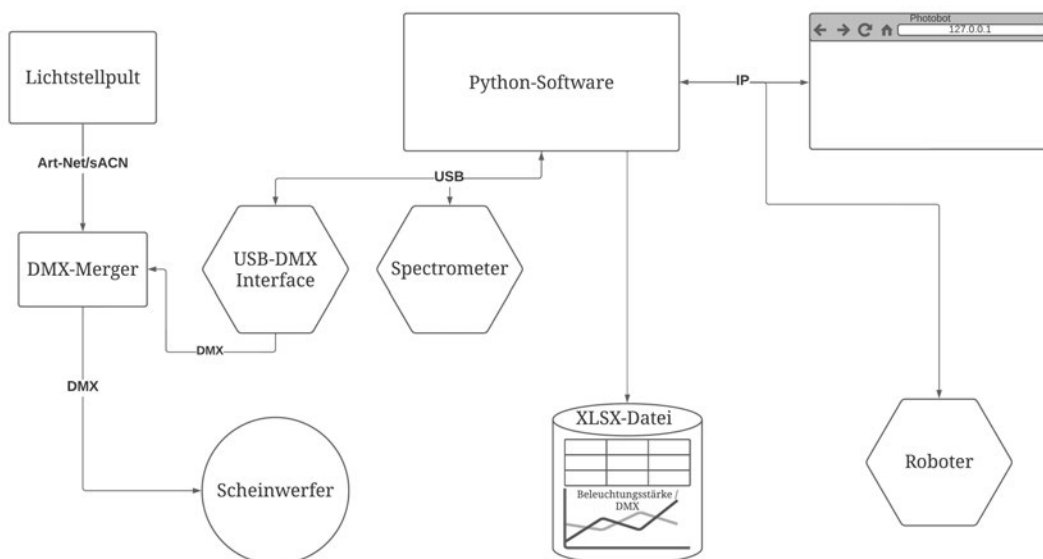


Abbildung 4.1: Grafik - Technischer Aufbau

Die Python-Software läuft dabei auf einem Computer mit Windows-Betriebssystem, der mit

USB-Schnittstellen und einem Ethernet-Port ausgestattet ist. Statt dem Lichtstellpultes ist auch eine Lichtstellsoftware auf dem Computer zur Steuerung des Scheinwerfers möglich. Wird in diesem Fall ArtNet als IP-DMX-Container Protokoll verwendet sollte sich das LAN-Netzwerk in der IP-Range von 2.x.x.x oder 10.x.x.x befinden. In diese IP-Range müssen dementsprechend auch Computer sowie Roboter konfiguriert werden, um eine Kommunikation zu ermöglichen. Insgesamt ist der technische Aufbau bewusst möglichst simpel gehalten und erlaubt eine schnelle Verkabelung mit handelsüblichen CAT- sowie DMX-Kabeln. Benötigt wird lediglich noch ein einfacher Netzwerkschicht, wenn der Computer sich gleichzeitig mit Lichtstellpult und Roboter in einem LAN befinden soll.

4.2 Programmiersprache

Python ist eine interpretierte und objekt-orientierte Programmiersprache (*General Python FAQ — Python 3.10.4 documentation* 20.05.2022), die 1991 von dem niederländischen Softwareentwickler Guido van Rossum entwickelt wurde. Es setzt dabei statt auf Klammern auf eine Syntax, die die Einrückungen interpretiert und diese somit Teil der Logik sind. So werden beispielsweise Schleifen durch eine Einrückung begonnen und durch Ausrücken wieder beendet, was eine gute Lesbarkeit der Programmiersprache ermöglicht. Als höhere Programmiersprache hat Python viele komplexere Funktionen bereits eingebaut und erlaubt so eine effiziente Programmierung. Python ist in der Forschung und speziell im MINT-Bereich sehr beliebt und verbreitet. Daher existieren viele herunterladbare Bibliotheken, die Python nochmal deutlich funktionsreicher machen und die bei der Umsetzung dieser Arbeit genutzt werden können.

4.3 Verwendete Entwicklungsumgebung

Die Entwicklungsumgebung der Wahl ist die IDE „PyCharm“ des Softwareherstellers „Jet-Brains“ in der Softwareversion „2021.2.2“. Als mir bereits vertraute Entwicklungsumgebung für Python ist „PyCharm“ die naheliegendste Lösung, die mir einen schnellen Projektstart ermöglicht und außerdem weitere Features bietet, die ein zügiges Entwickeln ermöglichen. So unterstützt die IDE das Webframework „Flask“ nativ und kann die Projektstruktur dafür automatisch vordefinieren. Besonders hilfreich ist außerdem die sehr einfache Integration von externen Bibliotheken. So kann mithilfe weniger Klicks eine Bibliothek in einer gewählten Softwareversion installiert und eingebunden werden. Die Bibliotheken werden dabei nicht

global, sondern lediglich in der Projektstruktur des jeweiligen Projektes abgelegt und nur lokal in diesem Projekt verwendet. Dies erlaubt eine aufgeräumte Entwicklungsumgebung zu Beginn der Entwicklung und verhindert Komplikationen durch vorherige Python-Projekte in derselben Umgebung. Zusätzlich bietet „PyCharm“ diverse Tools zur Unterstützung der programmierenden Personen wie beispielsweise automatische Codevervollständigungen, Syntaxkorrektur und einen umfassenden Debugger.

4.4 Verwendete Bibliotheken

Für die Realisierung der Software wurden verschiedene öffentlich verfügbare Python-Bibliotheken verwendet. Im folgenden Abschnitt sollen diese benannt und Ihre Funktionen kurz erklärt werden.

4.4.1 Flask

<https://github.com/pallets/flask>

„Flask“ ist ein WSGI-Web-Framework (Pallets 30.05.2022). WSGI steht dabei für „Web Server Gateway Interface“. Dieser Spezifikation standardisiert die Kommunikation zwischen Webserver und Webapplikation in Python (*What is WSGI? — WSGI.org* 29.01.2021). „Flask“ basiert auf der Bibliothek „Werkzeug“ und der Template-Engine „Jinja2“. Dabei fungiert die Bibliothek „Werkzeug“ als WSGI-Implementierung, während „Jinja2“ die HTML und CSS-Verarbeitung übernimmt.

Einfach ausgedrückt kümmert sich „Werkzeug“ um die Implementierungen der WSGI - Spezifikationen, um einer in Python entwickelten Webanwendung die Kommunikation mit einem Webserver wie „Apache“ oder „Nginx“ zu ermöglichen. Diese Webserver kümmern sich dabei um die komplexe Kommunikation mit den Browser-Clients, so dass diese unabhängig von der Anwendung gehandhabt werden kann und in die Entwicklung einer Webanwendung nicht mit einfließen muss. Zur freien Auswahl des Webserver gibt es den WSGI-Standard und die Integration von „Werkzeug“ in „Flask“. Die Template-Engine „Jinja2“ setzt wiederum die Integration von HTML und CSS in die Webanwendung um. So können in der darzustellenden HTML-Seiten Variablen dargestellt werden und User-Eingaben als Variablen wieder abgespeichert werden, um hierdurch eine Interaktion der Nutzer:innen mit der Anwendung über die Webseite zu ermöglichen.

„Flask“ kombiniert diese Funktionen und erlaubt damit die Entwicklung von Webanwendungen, die dann auf einem Webserver gehostet werden können. Außerdem beinhaltet „Flask“ selbst einen rudimentären Webserver, der für die Entwicklung genutzt werden kann.

Folgender Programmcode ist ein Minimalbeispiel:

```
1 from flask import Flask
2 app = Flask(__name__)
3
4 @app.route("/")
5 def hello():
6     return "Hello World"
7
8 if __name__ == "__main__":
9     app.run()
```

Listing 4.1: Flask Minimalbeispiel

4.4.2 pySerial

<https://github.com/pyserial/pyserial>

Zur Kommunikation mit seriellen Schnittstellen wie die des MAVOSPEC BASE bietet sich die Python-Bibliothek „pySerial“ an. Diese Bibliothek ermöglicht die Implementierung der seriellen Kommunikation in Windows, Linux, OSX und BSD an und unterstützt alle nötigen Einstellungen, um mit diversen seriellen Schnittstellen kommunizieren zu können. Einstellbar sind etwa die Bytegröße, die Definition von Stopbits, Parität und Flusskontrolle, die Baudrate und Timeout-Zeiten. Dies ermöglicht eine einfache Umsetzung der Vorgaben aus SDKs der Hersteller und eine zuverlässige sowie einfache Implementierung.

4.4.3 NumPy

<https://github.com/numpy/numpy>

„NumPy“ ist eine weitverbreitete Python-Bibliothek zur Verarbeitung von Datenstrukturen wie Matrizen und Arrays sowie numerischen Berechnungen. „NumPy“ ist Open-Source und wird gemeinschaftlich von der Community weiterentwickelt. Die Bibliothek bietet viele nützliche Funktionen für den Umgang mit Datensätzen, die in Form von Arrays abgespeichert werden. So

können Arrays nach Definitionen erstellt, verändert und kombiniert und miteinander beliebig verrechnet werden. Außerdem bietet „NumPy“ mathematische Funktionen wie Sinus und Cosinus und deren Umkehrfunktionen an.

4.4.4 Math

<https://docs.python.org/3/library/math.html>

Integriert in Python ist bereits das Modul „math“, welches ebenso einige mathematische Grundfunktionen für Python liefert und außerdem Konstanten wie π bereitstellt. Zusätzlich unterstützt das Modul einfachere Umrechnungen wie etwa von Winkeleinheiten und andere einfachere mathematische Operationen.

4.4.5 threading

<https://docs.python.org/3/library/threading.html>

Ein weiteres Standard-Modul in Python ist „threading“. Diese Bibliothek erlaubt es einen weiteren „Thread“ zu starten, also einen weiteren Ausführungsstrang von Programmcode neben dem Hauptprogrammcode auszuführen. Dies ermöglicht es Teile des Programmcodes unabhängig von Lauf- und Wartezeiten anderer Teile des Programmcodes laufen zu lassen und beispielsweise parallel zu längeren Berechnungen Kommunikation auszuführen, die eine dauerhaften Datenfluss voraussetzt und so auf zeitlicher Ebene nicht flexibel ausgeführt ist.

4.4.6 time; datetime

<https://docs.python.org/3/library/time.html> <https://docs.python.org/3/library/datetime.html>

Die Python-Module „time“ und „datetime“ ermöglichen eine Einbindung der Zeit in Python. Mit diesen Modulen kann sowohl die aktuelle Uhrzeit als auch das aktuelle Datum in Variablen gespeichert werden. Außerdem können Umwandlungen des Formates sowie Berechnungen wie Addition oder Subtraktion von Zeit vorgenommen werden.

4.4.7 python-pause

<https://github.com/jgillick/python-pause>

Die Bibliothek „python-pause“ ermöglicht es den Programmcode an einer exakten Stelle anzuhalten und nach einer definierten Zeit wieder weiterlaufen zu lassen. Unterstützt werden verschiedenen Zeiteinheiten und Formate. Der Entwickler gibt eine Soll-Genauigkeit von 1 ms an. Dies kann jedoch von System zu System minimal unterschiedlich sein. Diese Genauigkeit ist für den Anwendungszweck jedoch ausreichend.

4.4.8 XlsxWriter

<https://github.com/jmcnamara/XlsxWriter>

„XlsxWriter“ ist ein Python-Modul mit dem Dateien im XLSX-Format erstellt werden können. Das XLSX-Format ist bekannt geworden durch „Microsoft Excel“ und fungiert heutzutage als übliches Format für die meisten Tabellenkalkulationen. Das Dateiformat XLSX ist grundlegend eine ZIP-komprimierte Datei mit lediglich anderer Endung und einer festgelegten Dateistruktur innerhalb der ZIP-Datei (data2type GmbH 2022).

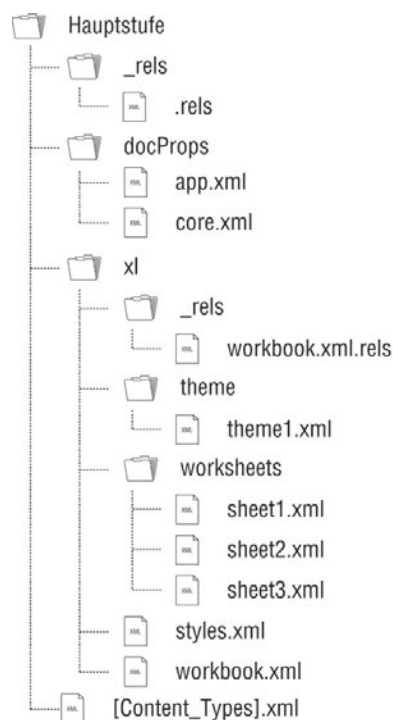


Abbildung 4.2: Datenstruktur XLSX-Format (data2type GmbH 2022)

Innerhalb dieser Ordnerstruktur werden die verschiedenen „Parts“-genannten Daten als XML-Format abgespeichert. Folgend ein Abschnitt aus einem Minimalbeispiel zur Speicherung von „1234“ in der Zelle A1:

```
1 [...]
2 <sheetData>
3   <row r="1" spans="1:1" x14ac:dyDescent="0.3">
4     <c r="A1">
5       <v>1234</v>
6     </c>
7   </row>
8 </sheetData>
9 [...]
```

Listing 4.2: XML XLSX Minimalbeispiel

Die Bibliothek „XlsxWriter“ ermöglicht es per Python automatisch Dateien für Tabellenkalkulation zu erstellen und mit Variablen zu füllen. Folgend ein weiteres Minimalbeispiel:

```
1 import xlsxwriter
2
3 workbook = xlsxwriter.Workbook('Example.xlsx')
4 worksheet = workbook.add_worksheet()
5 worksheet.write('A1', 'Hello World')
6 workbook.close()
```

Listing 4.3: XlsxWriter Minimalbeispiel

Es lassen sich mit der Bibliothek zudem auch viele weitere Einstellungen wie etwa Zellenbreiten, -formatierungen oder Grafiken erstellen. Besonders die Grafikerstellung ist sehr umfangreich und ermöglicht es, individualisierte Plots zu den abgespeicherten Daten zu generieren.

4.4.9 DmxPy

<https://github.com/davepaul0/DmxPy>

Die Ausgabe von einem DMX512-Signal (siehe Kapitel 3.3) über USB kann mit der Bibliothek „DmxPy“ realisiert werden. „DmxPy“ basiert dabei auf PySerial. An die Bibliothek muss lediglich der serielle Port des USB-Adapters übergeben werden und mit wenigen Befehlen liegt ein DMX-Signal an dem Ausgang des Adapters an.

Folgend ein weiteres Minimalbeispiel:

```
1 from DmxPy import DmxPy
2
3 mxmx = DmxPy('serial port')
4 dmx.setChannel(channel, value)
5 dmx.render()
```

Listing 4.4: DmxPy Minimalbeispiel

4.5 Struktur der Software

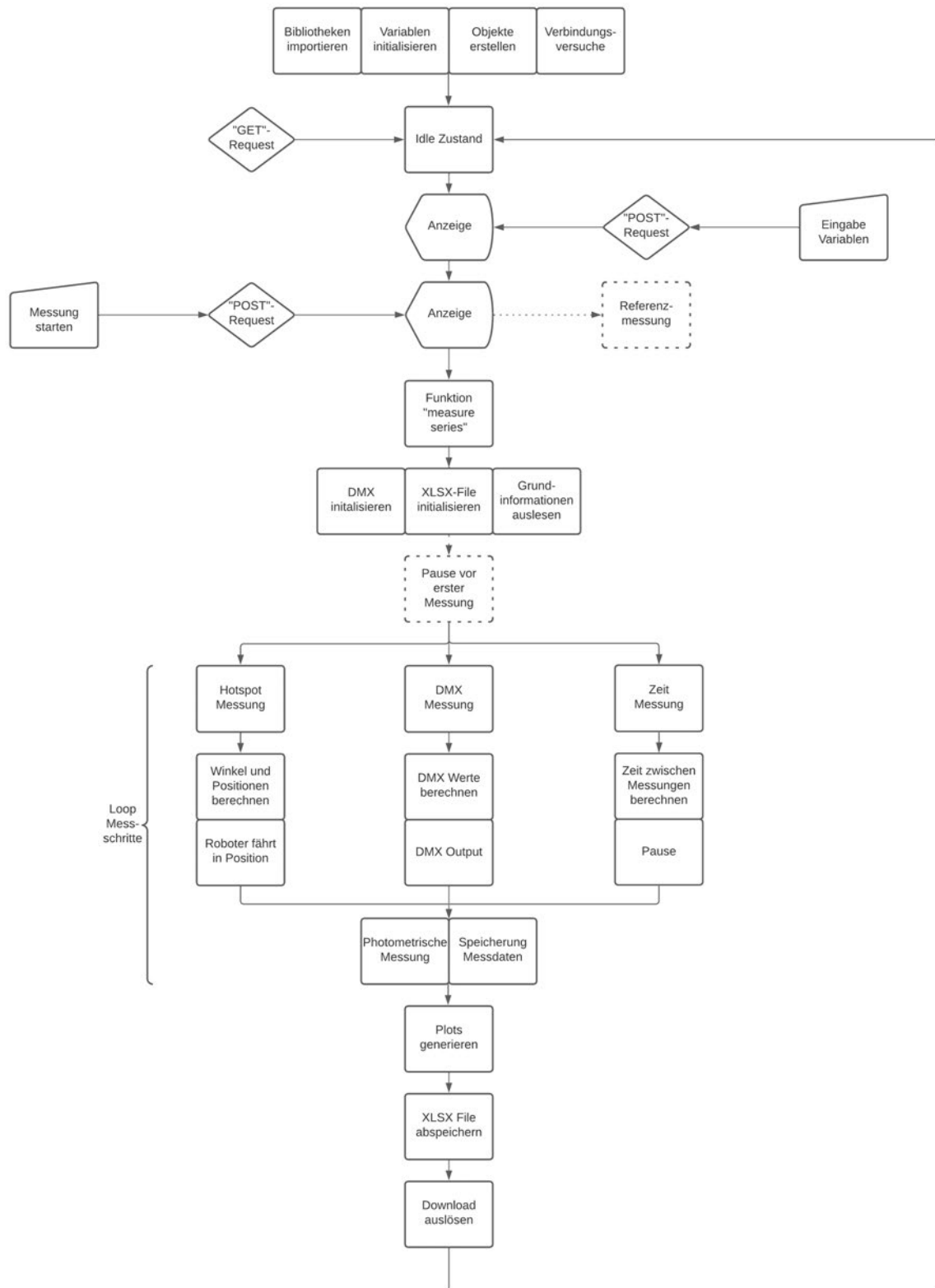


Abbildung 4.3: Flussdiagramm Softwarestruktur

Das in Abbildung 4.3 dargestellte Flussdiagramm stellt den Programmablauf vereinfacht dar. Gestrichelte Linien sind optionale Wege, die übersprungen werden können. Blöcke die direkt nebeneinander dargestellt sind, werden in der Reihenfolge von Links nach Rechts ausgeführt.

Der Programmablauf basiert auf einer typischen Struktur für Webanwendungen. Bei Start der Anwendung werden benötigte Bibliotheken importiert und alle benötigten Variablen und Objekte definiert. Nach erfolgreicher Verbindung mit der Hardware geht die Anwendung in einen Idle-Modus, in dem auf ein „GET“-Request durch das Aufrufen des Webservers aus einem Webbrowser heraus gewartet wird. Rufen die Nutzer:innen die Adresse des Webservers auf, antwortet die Anwendung mit einer Funktion, die die Index-Seite mit den vordefinierten Variablen übergibt. Geben Nutzer:innen nun auf der Webpage ihre Einstellungen ein und bestätigen diese, senden Sie ein „POST“-Request an die Anwendung und die Variablen werden umdefiniert. Auch das Auslösen der optionalen Referenzmessung und das Starten der Messreihe funktioniert mit einem „POST“-Request. Dieses startet die interne Funktion „measure_series“, die den Ablauf der Messreihen-Aufnahme anhand der Einstellungen der Nutzer:innen automatisch vornimmt.

Nach notwendigen Initialisierungen und dem Auslesen von grundlegenden Informationen, wie beispielsweise Uhrzeit, Sensortemperatur und Softwareversion des Spektrometers, beginnt eine Schleife, die sich anhand der eingestellten Messschritte beliebig oft wiederholt. Nach dem erfolgreichen Durchlauf der ausgewählten Messreihe generiert die Anwendung die grafischen Plots anhand der Messdaten und speichert diese in dem XLSX-File. Nach der Speicherung auf dem Server wird noch ein Download im Browser ausgelöst, mit dem die Datei an einem weiteren, Nutzer:innen-definierten Speicherort abgelegt werden kann.

Anschließend lädt die Anwendung erneut in den Ausgangszustand zurück, behält dabei jedoch die bereits getätigten Einstellungen der vorherigen Messung.

4.6 Softwareumsetzung

In den folgenden Unterkapiteln sollen verschiedene Funktionen und bestimmte Codeteile genauer betrachtet werden. Dabei werden sowohl theoretische Grundlagen als auch konkrete Umsetzungen betrachtet und erklärt.

4.6.1 Hardware-Detektion

Da die angeschlossene Hardware fest definiert ist und die Software die Verwendung bestimmter Geräte voraussetzt, sollen diese von der Software automatisch erkannt werden und die Nutzer:innen visuell darüber informieren, wenn eines der Geräte nicht korrekt von der Software erkannt wird.

Praktisch ist für die USB-Geräte hierbei die *Hardware-ID*. Diese Identifikationszeichenfolge wird vom Hersteller definiert und von den Geräten beim Anschluss an einen Computer an diesen kommuniziert. Die Betriebssysteme nutzen die Hardware-ID etwa für die Zuordnung von Treibern zu den jeweiligen Geräten. Diese automatische Erkennung erlaubt Plug-and-Play Lösungen, wie sie heute bei modernen Betriebssystemen üblich sind (Microsoft 2022).

Bei USB-Geräten, die sich als serielle Schnittstelle anmelden, ordnet Windows diesen einen sogenannten *COM-Port* zu. Ursprünglich bezeichneten diese die physikalischen RS-232-Schnittstellen eines Computers. Heute werden diese jedoch immer noch als interne Bezeichnung für serielle Geräte benutzt und ermöglichen einen kurzen und individuellen Namen für den Zugriff auf die angeschlossene serielle Hardware. Da die COM-Ports jedoch von Windows ohne ein bestimmtes Muster vergeben werden und dasselbe Gerät an einem anderen USB-Port möglicherweise einen anderen COM-Port zugeordnet bekommt, braucht es die Hardware-ID oder kurz *HWID*, zur genauen Zuordnung eines Gerätes zu einem COM-Port.

Diese HWID besteht aus zwei 16-Bit Zahlen, der *Vendor ID (VID)*, die dem Hersteller zugeordnet ist und der *Product ID (PID)*, die das Produkt definiert.

In Python kann eine automatische Zuordnung der COM-Ports zu gegebenen HWIDs mit folgender Funktion realisiert werden:

```
1 def findComPort(pid, vid):
2     com_port = "ERROR"
3     ports = list(serial.tools.list_ports.comports())
4
5     for p in ports:
6         if vid and pid in p.hwid:
```

```
7         com_port = p.device
8
9     return com_port
10
11 dmx_com = findComPort(pid="04D8",vid="FA63")
12 mavo_com = findComPort(pid="1CD7",vid="4001")
13
```

Listing 4.5: Funktion - Hardware-Detektion

Als Variablen nimmt die Funktion die VID und PID der Hardware entgegen. In Zeile 2 wird nun die return-Variable mit dem String `ERROR` initialisiert, so dass, falls das Gerät nicht gefunden werden kann, der Fehler eindeutig anhand der Variable erkennbar ist. In Zeile 3 wird nun eine Liste in der Variable `ports` gespeichert, die alle verfügbaren Informationen der angeschlossenen USB-Geräte als jeweils individuelles Objekt beinhaltet. Die Funktion nutzt dafür die PySerial-Bibliothek (4.4.2), die die Betriebssystem-Werkzeuge für den Zugriff auf USB-Geräte nutzt und in Python bereitstellt.

Diese Liste wird nun mit einer Schleife in Zeile 5 bis 9 nach der gegebenen HWID durchsucht. Da die Variable `ports` eine Liste von Objekten beinhaltet, können die Instanzvariablen dieser Objekte `p` durchsucht werden. Neben anderen Instanzvariablen wie etwa `device`, `name`, `serial_number` oder `manufacturer`, besitzen die Objekte die Instanzvariable `hwid`, die beispielsweise bei angeschlossenem USB-DMX-Interface folgenden String speichert:

```
USB VID:PID=04D8:FA63 SER= LOCATION=1-9
```

Somit ist es möglich mit Zeile 6 eine einfache Suche nach diesen zwei 16-Bit Zahlen zu veranlassen, die bei einem Treffer in Zeile 7 die Instanzvariable `device` in der Variable `com_port` speichert und den zuvor gespeicherten String `ERROR` aus Zeile 2 überschreibt. Die Instanzvariable `device` beinhaltet einen String der Form `COMX`, wobei das `X` für eine Dezimalzahl steht, die vom Betriebssystem vergeben wurde. Dieser String wird danach in Zeile 9 zurückgegeben und die Funktion abgeschlossen. Zeilen 11 und 12 zeigen die Verwendung der Funktion. Die Werte der Variablen `dmx_com` und `mavo_com` können danach als Strings zur Erzeugung der Objekte für das USB-DMX-Interface und des Gossen MAVOSPEC BASE genutzt werden.

4.6.2 DMX-Output

Die Berechnung der DMX-Werte basiert auf der `linspace()`-Funktion aus der Numpy-Bibliothek (4.4.3). Diese erzeugt ein Array basierend auf drei Variablen: `start`, `stop` und `num`. Anhand dieser

Werte berechnet Numpy ein Array mit so vielen Elementen wie in der Variable *num* definiert, wobei die Werte zwischen *start* und *stop* linear interpoliert werden.

So führt folgendes Minimalbeispiel:

```
1 import numpy as np
2 lin_array = np.linspace(start=0, stop=10, num=11, endpoint=True)
3 print(lin_array)
```

Listing 4.6: *numpy.linspace()*-Minimalbeispiel

zu diesem Output:

```
>>> [ 0.  1.  2.  3.  4.  5.  6.  7.  8.  9. 10.]
```

Diese Funktion wird nun in Zeile 1 des folgenden Codeausschnitts zur Berechnung aller DMX-Werte der Messreihe verwendet:

```
1 dmx_arr = np.linspace(dmx_min, dmx_max, steps_count, endpoint=True)
2
3 if invertdmx: dmx_arr = dmx_arr[::-1]
4
5 if not dmx_16_bool:
6     dmx_val = round(dmx_arr[x])
7     if dmx_val > 255: dmx_val = 255
8     if dmx_val < 0: dmx_val = 0
9 if dmx_16_bool:
10    msb, lsb = convert_16to8bit(round(dmx_arr[x]))
11    dmx_val = msb
12    dmx_val_lsb = lsb
```

Listing 4.7: DMX-Array

Die nachfolgenden Codezeilen kümmern sich um die Verarbeitung der Werte. Zeile 3 fragt dabei die Bool-Variable *invertdmx* ab, die, wenn sie 1 bzw. True gesetzt wurde, dafür sorgt, dass durch die Anweisung `[::-1]` die Reihenfolge des Arrays invertiert wird. Somit starten die DMX-Werte nicht bei dem niedrigsten Wert *dmx_min*, sondern bei dem höchsten: *dmx_max*.

Zeile 5 und 9 fragen durch die Variable *dmx_16_bool* ab, ob von den Nutzer:innen eine 16-Bit Auflösung der DMX-Werte ausgewählt wurde. Ist dies nicht der Fall, springt die Software in Zeile 6, in der das Float-Element *x* des Arrays in die Variable *dmx_val* gespeichert wird. Die Variable *x* entspricht dabei dem jeweiligen Messschritt-1. So ist dieser Wert in dem ersten Messschritt gleich 0. Dementsprechend wird mit *dmx_arr[0]* der erste Wert des Arrays in die Variable *dmx_val* gespeichert. Die zwei nachfolgenden Zeilen 7 und 8 sind präventiver

Fehlerschutz, die bei einem Rundungsfehler Werte außerhalb des 8-Bit-Wertebereichs von 0 bis 255 korrigieren.

Wurde ein 16-Bit Wertebereich von 0 bis 65535 ausgewählt, so springt die Software in Zeile 10. Hier werden nun mit Hilfe der Funktion `convert_16to8bit()` die zwei Variablen `msb` (most significant byte) und `lsb` (least significant byte) berechnet, die als Darstellung für einen 16-Bit Wert aus zwei 8-Bit Werte dienen.

```
1 def convert_16to8bit(x, n_bytes=2, order='big'):  
2     msb, lsb = x.to_bytes(n_bytes, byteorder=order)  
3     return (msb, lsb)
```

Listing 4.8: Funktion - 16:8-Bit-Konvertierung

Diese sehr kleine Funktion nutzt die in Python implementierte Funktion `x.to_bytes()`, die einen Wert `x` in `n_bytes` viele Bytes aufteilt. Dabei gibt die `byteorder` die Reihenfolge von `msb` und `lsb` an. Bei einer `byteorder = 'big'`, ist das „most significant byte“ an vorderer Stelle, bei `'little'` dementsprechend andersrum.

So erzeugt der Befehl `convert_16to8bit(32768, n_bytes=2, order='big')` den Output

```
>>> (128, 0).
```

4.6.3 MAVOSPEC BASE - Bibliothek

Die Ansteuerung des Spektrometers wurde bereits in Kapitel 3.1 angeschnitten. So basiert die Kommunikation auf dem seriellen CDC-Protokoll, das selbst auf UART basiert. Zur Kommunikation werden definierte ASCII-Befehle an das Spektrometer gesendet, welches auf diese ebenso mit ASCII-Strings antwortet. Die Antwortlängen sind dabei fest definiert und werden für die korrekte Decodierung der Antworten benötigt. Diese Befehle und Antwortlängen sind von Gossen in dem herunterladbaren *Software Development Kit* (kurz SDK) dokumentiert und ermöglichen die gesamte Steuerung des Messgerätes.

Zur Umsetzung dieser Möglichkeiten in der Software lag die Programmierung einer eigenen Python-Bibliothek für das Gossen MAVOSPEC BASE nah. Diese ermöglicht die Nutzung der Schnittstelle auch in anderen Projekten und außerdem eine deutlich vereinfachte Syntax im Hauptprogramm. Dafür wird die Bibliothek in eine weitere `.py` Datei ausgelagert und über den `import` Befehl in die Software eingebunden.

Folgend findet sich ein Beispiel zur Nutzung der Bibliothek:

```
1 import mavospec_base as mavo
2
3 try:
4     mavo.Connect(mavo_com)
5     mavo_success = True
6 except:
7     print("ERROR: Cannot connect to Mavospec Base")
8     mavo_success = False
9
10 mavo.measure()
11
12 mes_cct = mavo.CCT()
13 CCT = mes_cct[0]
14 DUV = mes_cct[1]
15 E     = mes_cct[2]
```

Listing 4.9: MAVOSPEC BASE - Bibliothek - Beispiel

In diesem Beispiel wird in Zeile 1 die Bibliothek als Alias eingebunden. Dabei entspricht der Dateiname *mavospec_base.py* der Bibliothek und das importierte Modul wird *mavo* benannt. Daraufhin wird ab Zeile 3 mit dem Befehl `try` versucht, sich mit dem Spektrometer zu verbinden, indem die Funktion `Connect()` der Bibliothek ausgeführt wird.

```
1 def Connect(comPort):
2     global serialPort
3     serialPort = serial.Serial(port=comPort, baudrate=9600, bytesize=8,
4     timeout=5, stopbits=serial.STOPBITS_ONE)
```

Listing 4.10: MAVOSPEC BASE - Connect-Funktion

Diese Funktion nutzt die *pySerial*-Bibliothek (4.4.2) für den Verbindungsaufbau und verwendet dabei die UART-Einstellungen aus der Tabelle 3.2 sowie den *comPort* aus Listing 4.5.

Ist der Verbindungsaufbau erfolgreich, so wird in Listing 4.9 Zeile 5 die Bool-Variable *mavo_success* auf *True* gesetzt. Schlägt der Aufbau fehl, so wird in Zeile 8 diese Variable dementsprechend auf *False* gesetzt. Diese Variable fungiert als Flag zur Kontrolle des Verbindungsstatus und ermöglicht es der Software Nutzer:innen über den Verbindungsstatus zu informieren. Die Funktion `measure()` in Zeile 10 löst nun die Messung aus. Die Funktion `CCT()` ruft nach durchgeführter Messung die aus dem Spektrum berechneten Messwerte ab und speichert sie in der Variable *mes_CCT*.

```
1 def CCT():
2     command = "calculateddata? 02"
3     replylength = 55
4     return CDCCCommand(command, replylength)
```

Listing 4.11: MAVOSPEC BASE - CCT - Funktion

Dabei sind die Funktionen nach einem festen Schema aufgebaut, bei denen der ASCII-Befehl in der Variable *command* und die Antwortlänge in der Variable *replylength* definiert werden. Diese werden nun in dem *return*-Befehl der Funktion direkt in die Funktion *CDCCCommand()* übergeben.

```
1 def CDCCCommand(command, replylength,):
2     c = command
3     sendC = c + "\r\n"
4     serialPort.write(bytes(sendC, encoding='utf8'))
5     time.sleep(0.1)
6     x = serialPort.read(replylength).decode('utf-8')
7     return x.split()
```

Listing 4.12: MAVOSPEC BASE - CDCCCommand - Funktion

Diese Funktion übernimmt das Senden der CDC-Befehle und decodiert anschließend die Antworten des MAVOSPEC BASE. Dafür wird an den übergebenen Befehl mit „*\r\n*“ ein *Carriage Return* sowie ein *Line Feed* angehängt, welche in Windows als Zeilenumbruch und damit als Befehlsende interpretiert werden. In der darauffolgenden Zeile wird nun der Befehl codiert und gesendet. Die Antwort wird anschließend wieder decodiert, in die Variable *x* gespeichert und an die Funktion *split()* übergeben. Diese ermöglicht es in Python einen String in ein Array aufzuteilen. In Listing 4.9 Zeile 13 bis 15 werden die Messwerte nun aus diesem Array in einzelne Variablen zur weiteren Nutzung abgespeichert.

4.6.4 Homogenitätsmessung

Zur Messung der Homogenität des Lichtkegels kann eine „Hotspot“-Messung ausgelöst werden, bei der der Roboter mit dem Messgerät auf der horizontalen Achse benutzerdefiniert viele Messpunkte anfährt. Zur korrekten Beurteilung darf das Messgerät dabei jedoch nicht die Distanz zu dem Scheinwerfer verändern. Somit entspricht die Bewegung des Messgeräts keiner linearen auf der horizontalen Achse, sondern einem gedachten Kreis mit dem Lichtaustrittspunkt als Mittelpunkt. Dabei wird außerdem das Messgerät von dem Roboter so eingedreht, dass der Sensor immer exakt auf den Scheinwerfer ausgerichtet wird.

Die mathematische Grundlage zur Berechnung des Winkels und der Koordinaten im Raum bietet dabei eine Erweiterung der allgemeinen Kreisgleichung (Şanal 2015, S. 45):

$$(x - m_1)^2 + (y - m_2)^2 = r^2 \quad (4.1)$$

Angewandt auf die folgende Skizze und umgewandelt in die Parameterform der Kreisgleichung ergibt sich der Ausgangspunkt zur Aufstellung der Formeln, die in die Software die Berechnung der x und y -Koordinaten des Roboters ermöglichen.

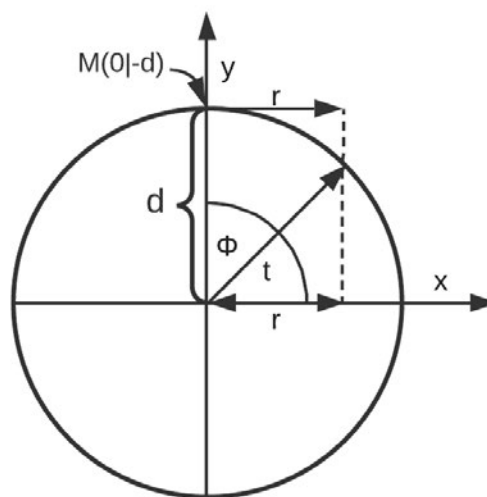


Abbildung 4.4: Grafik - Kreisgleichung

Der Mittelpunkt des Kreises $(0|0)$ ist die Position des Lichtaustritts des Scheinwerfers. Die Distanz d ist der Abstand zu dem Messsensor und der Punkt M ist die Position des Messensors, von dem die x und y -Koordinaten für den Roboter relativ bemessen werden. Dies ist dement-

sprechend der relative Nullpunkt des Roboters. r definiert die maximale Distanz der Messung des Lichtkegels auf der horizontalen Achse. t bezeichnet den Winkel, den die Parameterform der allgemeinen Kreisgleichung als Parameter benutzt, während Φ dem Winkel entspricht, um den der Roboter das Messgerät eindrehen muss, um das Messgerät auf den Scheinwerfer auszurichten.

Die Parameterform der erweiterten allgemeinen Kreisgleichung, mit eingesetzten Variablen aus Abbildung 4.4:

$$x = d \cdot \cos(t) + m_1 \quad (4.2)$$

$$y = d \cdot \sin(t) + m_2 \quad (4.3)$$

Nun kann Φ durch die Differenz von $\frac{\pi}{2}$ und t ausgedrückt werden:

$$\Phi = \frac{\pi}{2} - t \Leftrightarrow t = \frac{\pi}{2} - \Phi \quad (4.4)$$

Einsetzen von M und t führt zu:

$$x = d \cdot \cos\left(\frac{\pi}{2} - \Phi\right) \quad (4.5)$$

$$y = d \cdot \sin\left(\frac{\pi}{2} - \Phi\right) - d \quad (4.6)$$

Nun kann $x = r$ gesetzt werden und wie folgend die Formel nach Φ umgestellt werden:

$$r = d \cdot \cos\left(\frac{\pi}{2} - \Phi\right) \quad | : d \quad (4.7)$$

$$\frac{r}{d} = \cos\left(\frac{\pi}{2} - \Phi\right) \quad | : \arccos() \quad (4.8)$$

$$\arccos\left(\frac{r}{d}\right) = \frac{\pi}{2} - \Phi \quad | - \frac{\pi}{2} \quad (4.9)$$

$$\arccos\left(\frac{r}{d}\right) - \frac{\pi}{2} = -\Phi \quad | : (-1) \quad (4.10)$$

$$-\arccos\left(\frac{r}{d}\right) + \frac{\pi}{2} = \Phi \quad (4.11)$$

$$\Phi = \arccos\left(-\frac{r}{d}\right) - \frac{\pi}{2} \quad (4.12)$$

Mit der Formel 4.12 für das maximale Φ kann nun ein Array erstellt werden, dass Φ an der Achse spiegelt und lineare Abstände, abhängig von der gewählten Anzahl an Messpunkten, berechnet.

```
1 phi_array = np.linspace(-phi, phi, steps_count, endpoint=True)
```

Listing 4.13: Softwareumsetzung - Φ -Array

Durch die Berechnung des Φ -Arrays können nun jeweils pro Array-Eintrag auch die Werte für x und y berechnet werden, die von dem Roboter in dem jeweiligen Messschritt angefahren werden sollen.

Hierbei ist jedoch noch eine Übersetzung in das Koordinatensystem des HORST900 nötig.

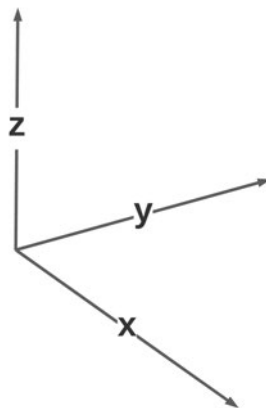


Abbildung 4.5: Koordinatensystem Roboter Horst900

Da die x und y -Achsen in der Draufsicht zu dem Koordinatensystem aus Abbildung 4.4 vertauscht sind, müssen die Formeln für x und y ebenso vertauscht werden.

Außerdem erzeugt die Formel 4.6 rein negative Werte außerhalb des gedachten Nullpunkts M . Der Roboter bewegt sich damit nicht in die Richtung des Scheinwerfers sondern spiegelverkehrt von dem Scheinwerfer weg. Dementsprechend ist für diese Formel noch eine Spiegelung an der nun x -Achse nötig.

Daraus resultieren die folgenden zu implementierenden Formeln:

$$x = -(d \cdot \sin\left(\frac{\pi}{2} - \Phi\right) - d) \quad (4.13)$$

$$y = d \cdot \cos\left(\frac{\pi}{2} - \Phi\right) \quad (4.14)$$

```
1 for i in (phi_array):
2     x_rel = -(d * np.sin(math.radians(90 - i)) - d)
3     x_array.append(np.round(x_rel, 3))
4
5     y_rel = d * np.cos(math.radians(90 - i))
6     y_array.append(np.round(y_rel, 3))
```

Listing 4.14: Softwareumsetzung - XY-Koordinaten

4.7 Benutzeroberfläche

Die Bedienung der Software funktioniert per Browser und einer klassischen HTML-Website. Mithilfe der „Flask“-Bibliothek und einem Webserver wird diese Webpage für Nutzer:innen im Webbrowser dargestellt und die Kommunikation zwischen Benutzereingaben und der Softwarelogik gehandhabt. So können Variablen von den Nutzer:innen händisch eingegeben und berechnete Werte den Nutzer:innen dargestellt werden.

In folgender Abbildung (4.6) ist die Oberfläche dargestellt und in Sektionen unterteilt:

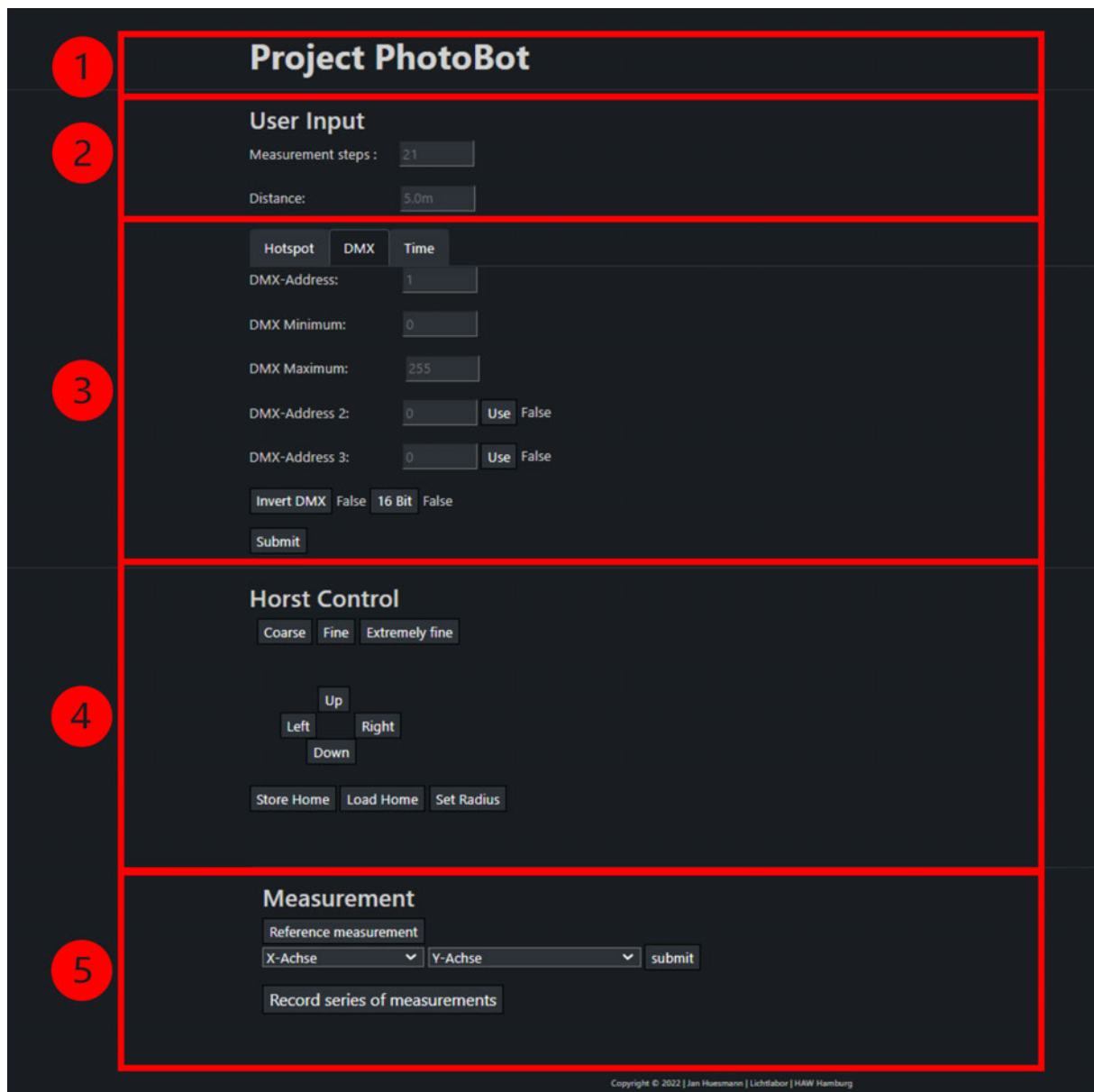


Abbildung 4.6: Screenshot - Benutzeroberfläche

Die grundlegende Farbgebung ist an moderne „Dark Modes“ angelehnt. Diese dunkle Farbgestaltung ist bei der Nutzung augenfreundlich und bietet sich bei der Nutzung in einer dunklen Umgebung zur Messung von Photometrie an. So werden Nutzer:innen nicht geblendet und Messdaten nicht durch streuendes Licht verfälscht. Der Aufbau ist bewusst simpel gehalten und ist in fünf Abschnitte zu unterteilen. Abschnitt ① ist dabei lediglich der Titel und dient mit seiner Größe als erster Orientierungspunkt für Nutzer:innen.

Direkt unter diesem Titel befindet sich in Sektion ② der Abschnitt mit den essenziellen Nutzer:innen-Eingaben. In dem Feld „Measurement steps“ wird die Anzahl der Messschritte eingestellt und in das Feld „Distance“ wird der Abstand des Lichtaustrittspunktes am Scheinwerfer zu dem Messkopf in der Einheit Metern eingetragen. Wie in allen anderen Eingabefeldern wird in diesen grau hinterlegt der aktuelle Wert der jeweiligen Variable angezeigt, bis Nutzer:innen selber einen neuen Wert in das Feld eingeben.

Abschnitt ③ ist selber noch einmal durch Tabs dreigeteilt. In diesen Untermenüs befinden sich spezifische Einstellungen zu den drei Messmethoden „Hotspot“, DMX“ und „Time“. Als Beispiel ist in Abbildung 4.6 der DMX Tab ausgewählt. Hier können etwa Einstellungen zu DMX-Adressen und dem minimalen und maximalen Wert gemacht werden. Außerdem bietet dieses Menü die Möglichkeit weitere DMX-Adressen hinzuzunehmen, um etwa RGB-Kanäle anzusteuern. „Invert DMX“ steuert die Zählrichtung der DMX-Werte. Wird diese Variable auf True gesetzt, so invertiert die Software die Reihenfolge der DMX-Werte und beginnt beim Maximum. Wird die DMX-Ausgabe in 16-Bit aktiviert, so wird automatisch die darauffolgende DMX-Adresse als zweiter 8-Bit Kanal genutzt und der Wertebereich ändert sich. Solche Informationen, ebenso wie beispielsweise ungültige Eingaben, werden den Nutzer:innen dabei auf zwei verschiedenen Arten mitgeteilt: „*Mouseover*“ & „*Alert*“.

Die Benutzeroberfläche basiert optisch auf dem freien CSS-Framework „*Bootstrap*“ und dessen Javascript-Erweiterungen. Diese Javascript-Erweiterungen ermöglichen beispielsweise den in folgender Abbildung (4.7) sichtbaren „*Mouseover*“-Effekt:

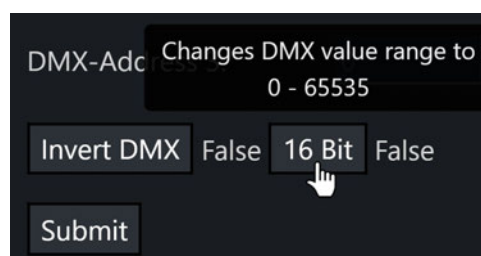


Abbildung 4.7: Screenshot - Mouseover

Diese „*Mouseover*“-Informationen dienen den Nutzer:innen als kleine Erläuterungen zu Funk-

tionen, ohne die Benutzeroberfläche mit Informationen zu überladen und unübersichtlich zu gestalten. Wichtige Informationen wie Fehlermeldungen und Statusmeldungen zu erfolgreichen Messungen werden mit „Alerts“ angezeigt:



Abbildung 4.8: Screenshot - Alert

Diese „Alerts“ verschieben Abschnitt ② nach unten und sind farblich hervorgehoben. Werden die Meldungen ausgeblendet, verschiebt sich die Benutzeroberfläche wieder zurück.

Abschnitt ④ dient der Steuerung des Roboters. Hier kann über die Buttons „Coarse“ (10 cm), „Fine“ (1 cm) und „Extremley Fine“ (0.1 cm) die Empfindlichkeit der darunterliegenden Richtungsbuttons eingestellt werden. Diese Richtungen bewegen das Messgerät am Roboter auf zwei Achsen in die Messposition. Über den „Store Home“ Button wird die aktuelle Position gespeichert und als neuer Nullpunkt definiert. Alle Messungen finden nun an dieser Position statt, beziehungsweise wird bei einer „Hotspot“-Messung diese Position zur mittlere Messposition. Wird der Messkopf nun noch weiter bewegt, so kann über „Load Home“ die Position wieder geladen werden und der Roboter bewegt sich an seinen internen Nullpunkt. „Set Radius“ wird für die „Hotspot“-Messung benötigt. Für diesen Button wird der Roboter auf der horizontalen Achse bis an den Punkt bewegt, an dem der gewünschte maximale Wert für die Homogenitätsmessung erreicht ist. Nach Drücken des „Set Radius“-Button wird der aktuelle y-Wert als maximale Distanz gespeichert.

Im letzten Abschnitt „Measurement“ (⑤) wird die Messung durchgeführt. Hier kann über den obersten Button eine Referenzmessung ausgelöst werden, die eine zusätzliche Seite in der XLSX-Datei erzeugt und dort die Messergebnisse einer Referenzmessung im Dunkeln abspeichert. Über die beiden Dropdown-Menüs können die Messungen auf den Achsen ausgewählt werden. So ist die Auswahl der X-Achse identisch zu den Tabs in Abschnitt ③. Die Auswahl der Y-Achse umfasst die Messungen: „Beleuchtungsstärke, CCT, DUV“, „Farbkoordinaten“, „CRI“, „TM30“ und „TLCI“. So kann von den Nutzer:innen auf einfache Weise genau die Messung ausgelöst werden, die gewollt ist. Mit dem letzten Button „Record series of measurements“ wird die Messreihe gestartet und Nutzer:innen mit einem Alert über die geschätzte Messdauer informiert. Nach dem erfolgreichen Ende der Messreihe werden Nutzer:innen noch mit einem weiteren Alert über die Fertigstellung benachrichtigt.

4.8 Darstellung der Messdaten

Nach einer erfolgreichen Messung wird ein Download Fenster im Browser für die XLSX-Datei geöffnet und die Nutzer:innen können die Datei herunterladen.

Die ursprüngliche Planung der Arbeit sah eine MySQL-Datenbank auf einem externen Server vor, die die Daten aller Messungen abspeichert und mit der Python-Bibliothek „Matplotlib“ plottet. Diese Funktionalität war sogar bereits zum Großteil fertig entwickelt, bevor in den ersten Tests auffiel, dass diese Variante deutlich zu unflexibel für Dokumentationen ist, die von einem engen Standard abweichen. Da viele Nutzer:innen deutlich versierter in dem Umgang mit Tabellenkalkulation sind, ist diese Art der Messdaten-Speicherung deutlich praktikabler. Die aufgenommenen Messwerte können von anspruchsvolleren Nutzer:innen trotzdem noch in Python verarbeitet und mit Matplotlib visualisiert werden (siehe 6.2.2).

Diese Datei ist für die Ansicht und Bearbeitung mit einer Tabellenkalkulation wie beispielsweise „Microsoft Excel“ oder „LibreOffice Calc“ gedacht. Wird die Datei mit einer Tabellenkalkulation geöffnet, findet sich im ersten Tab das *Infosheet* mit grundlegenden Informationen zu der Messung. Der nachfolgende zweite Tab ist optional und speichert gegebenenfalls die Messwerte der Referenzmessung. Der dritte Tab beinhaltet die berechneten Messwerte des Spektrometers, während der vierte Tab die rohen Messwerte des Spektrums in 5 nm Schritten von 380 bis 780 nm abspeichert. Alle danach folgenden Tabs sind die automatisch generierten Plots zu den Messwerten. Dabei ist jeder Tab ein sogenanntes Diagrammblatt und beinhaltet keine Tabellen, sondern nur einen Plot.

Folgend in Abbildung 4.9 findet sich ein Beispiel, bei dem die Beleuchtungsstärke zu dem DMX-Wert des Dimmer-Kanals eines Robe Viva CMY in 30 Messschritten gemessen wurde:

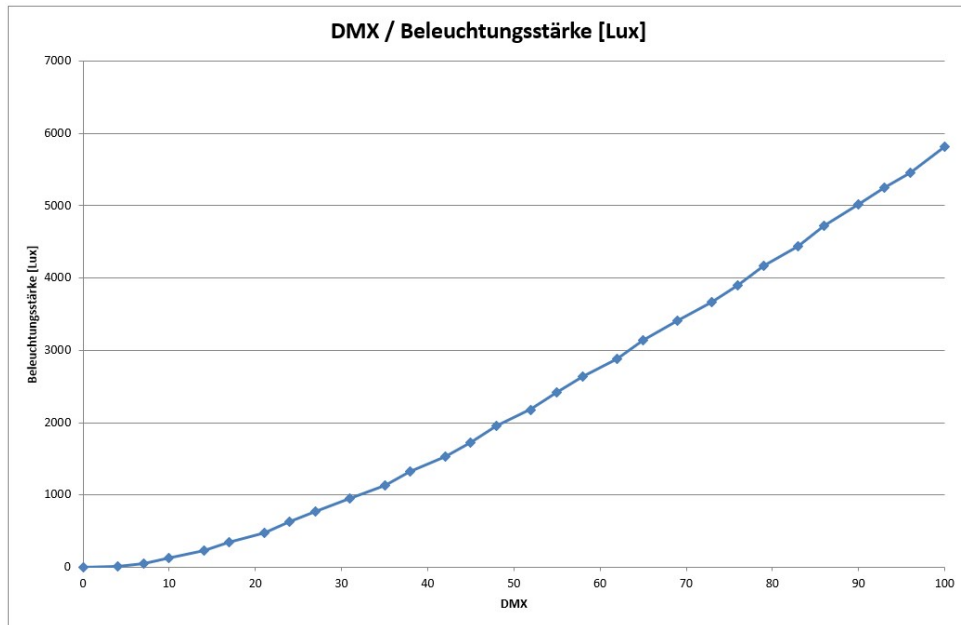


Abbildung 4.9: Plot - DMX / Beleuchtungsstärke

Die DMX-Werte sind dabei auf der X-Achse automatisch in Prozent-Werte umgewandelt worden. Dies dient zur einfacheren Verständlichkeit sowie um eine Unabhängigkeit von den Wertebereichen von 8 / 16-Bit zu erhalten. Auf der Y-Achse befindet sich die Beleuchtungsstärke in Lux, die Achsengrenzen wurden dabei automatisch ermittelt.

Obligatorisch wird bei jeder Messreihe noch das Spektrum der ersten Messung geplottet, dieser Plot findet sich immer im letzten Tab der Datei.

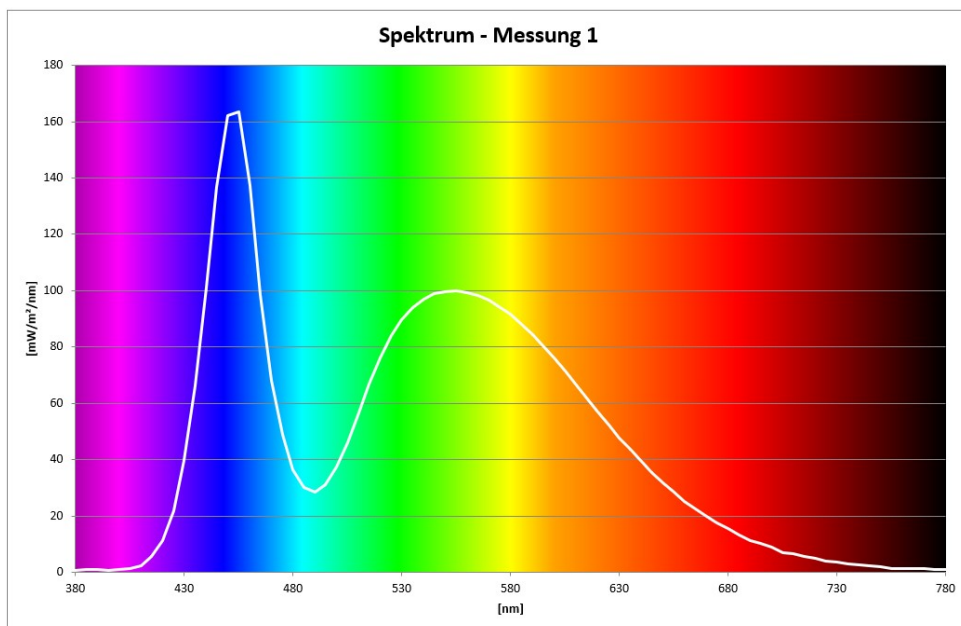


Abbildung 4.10: Plot - Spektrum

Zur Darstellung von komplexeren Messwert-Visualisierungen kann von Nutzer:innen die Python-Bibliothek „Colour“ in Kombination mit der Bibliothek „Pandas“ verwendet werden. „Pandas“ bietet die Möglichkeit XLSX-Dateien wieder einzulesen und die gewünschten Messwerte in Arrays zwischenspeichern. Mit diesen Arrays können nun Messwerte mit der „Colour“-Bibliothek weiterverarbeitet werden. Dabei bietet die Bibliothek neben vielen farbmetrischen Berechnungen, bei denen das Spektrum als Grundlage dient, auch die Möglichkeit Werte zu plotten.

Im Folgenden wurde beispielhaft ein Plot für den „Tint“-Kanal eines Robe T1 Profiles erstellt:

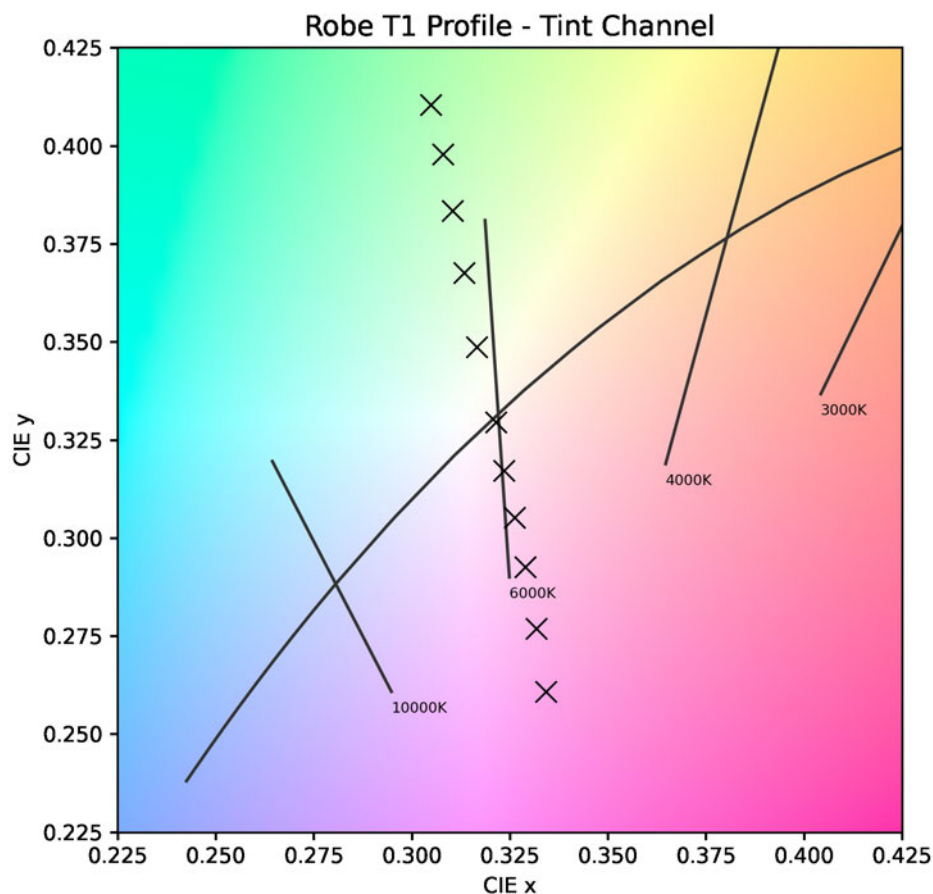


Abbildung 4.11: Plot - Robe T1 Profile - Tint / DMX

Die Visualisierung zeigt dabei einen Ausschnitt des CIE-1931-Farbraums mit dem eingezeichneten plank'schen-Kurvenzug. In diese Abbildung wurden die gemessenen x und y-Farbortkoordinaten eingezeichnet, nachdem sie aus der XLSX-Datei ausgelesen wurden.

Der Programmieraufwand ist durch die „Colour“-Bibliothek dabei überschaubar, bietet aber

durch die Nutzung der sehr umfangreichen „*Matplotlib*“-Bibliothek eine große Freiheit in der Gestaltung und Individualisierung der Abbildungen.

Der Python-Code zu der Abbildung 4.11 befindet sich im Anhang (6.2.2).

5 Testmessungen und Fehlerbetrachtung

In folgendem Kapitel werden die Messergebnisse der automatisierten Messung betrachtet. Dafür werden im ersten Abschnitt des Kapitels die Ergebnisse einiger Messungen dargestellt und kurz analysiert. In den danach folgenden Abschnitten werden potenzielle Fehler und Messungenauigkeiten betrachtet, die die Messungen beeinflussen können. Diese Fehler werden durch Testaufbauten und Simulationen messtechnisch erfasst und anschließend eingeschätzt.

5.1 Ergebnis-Analyse als Anwendungsbeispiel

Die beispielhafte Messung eines Scheinwerfers wurde an einem *Robe T1 Profile* durchgeführt. Dieser Scheinwerfer ist ein hochpreisiger Theater- und TV-Scheinwerfer, der mit einem Farbwiedergabeindex (CRI) von größer 95 beworben wird. Laut Herstellerangaben erreicht der Scheinwerfer außerdem einen Farbtemperaturbereich von 2700 – 8000 Kelvin, der mit einer additiven Farbmischung aus fünf LED-Farben (RGBAL) realisiert wird (ROBE Lighting 07.07.2022).

Bei dem *Robe T1 Profile* ist die Farbwiedergabequalität über einen DMX-Kanal steuerbar. Zur Überprüfung der Herstellerangaben und des Verhaltens des CRI-Kanals wurde für Abbildung 5.1 eine Messung des CRI-Wertes zum DMX-Wertebereich des Kanals vorgenommen. Die Messung fand (wie alle in dieser Arbeit besprochenen Messungen, wenn nicht anders angegeben) mit den Default-Einstellungen des Scheinwerfers bei 100% offenem Dimmer statt.

Die Abbildung 5.1 zeigt, dass der minimale Farbwiedergabeindex bei einem CRI-Wert von 78

und der maximale bei einem Wert von 93 liegt. Somit kann die Herstellerangabe des maximalen CRI-Wertes von 95 bei der Default-Farbtemperatur von 6000 K nicht bestätigt werden. Dafür zeigt der Kanal einen annähernd linearen Verlauf des CRI-Wertes, der eine einfache und schnelle Einschätzung des eingestellten Wertes durch den Lichtstellpult-Operator erlaubt.

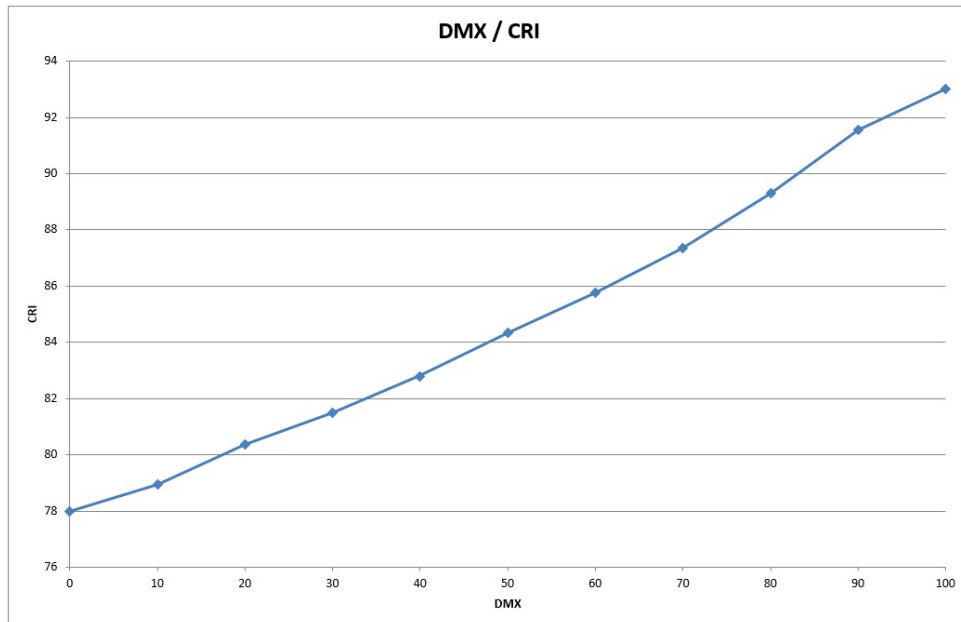


Abbildung 5.1: Plot - Robe T1 Profile - DMX / CRI

Während bei einem minimalen Wert des CRI-Kanals die fünf verschiedenen LED-Farben so angesteuert werden, dass eine maximale Helligkeit erreicht wird, werden für das Erreichen einer besseren Farbwiedergabe die fünf Farben zueinander anders abgestimmt und im Verhältnis zueinander gedimmt. Dies sorgt dementsprechend für einen geringeren Lichtstrom und eine geringere messbare Beleuchtungsstärke. Dieses Verhalten kann nun mit einer zweiten Abbildung (5.2) visualisiert werden:

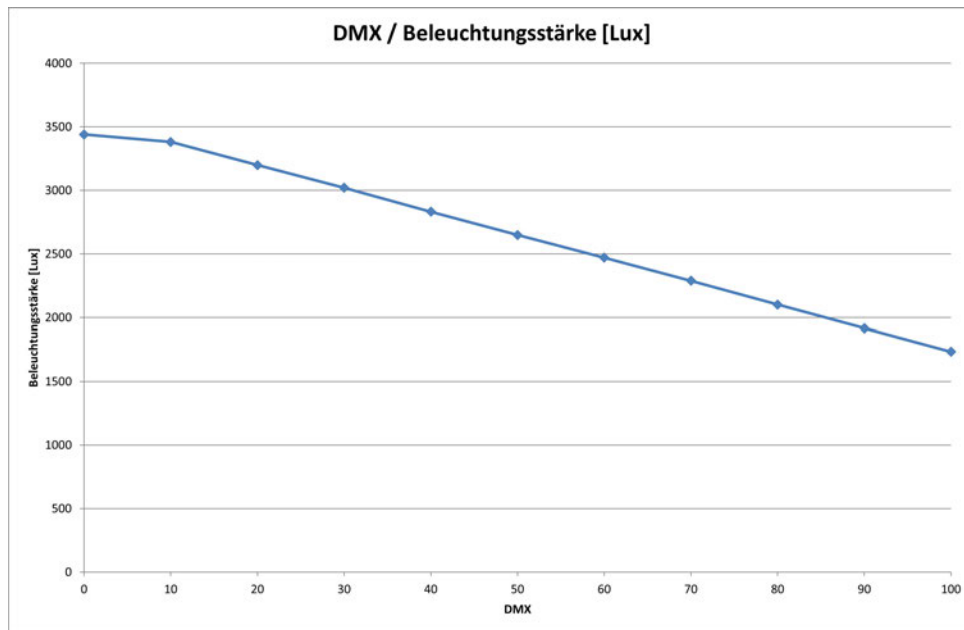


Abbildung 5.2: Plot - Robe T1 Profile - CRI / Beleuchtungsstärke

In diesem Plot wird deutlich, dass auch dieses Verhalten annähernd linear ist und dementsprechend der Kompromiss zwischen Farbwiedergabe und Beleuchtungsstärke einfach abgeschätzt werden kann. Dabei verliert der *Robe T1 Profile* ca. 50% seiner Helligkeit.

Dabei stellt sich aufgrund der Anpassung der Farben zueinander die Frage, wie sich die Farbtemperatur über den CRI-Kanal verhält. In folgender Abbildung 5.3 ist die ähnlichste Farbtemperatur (CCT) gegenüber dem CRI-Kanal dargestellt.

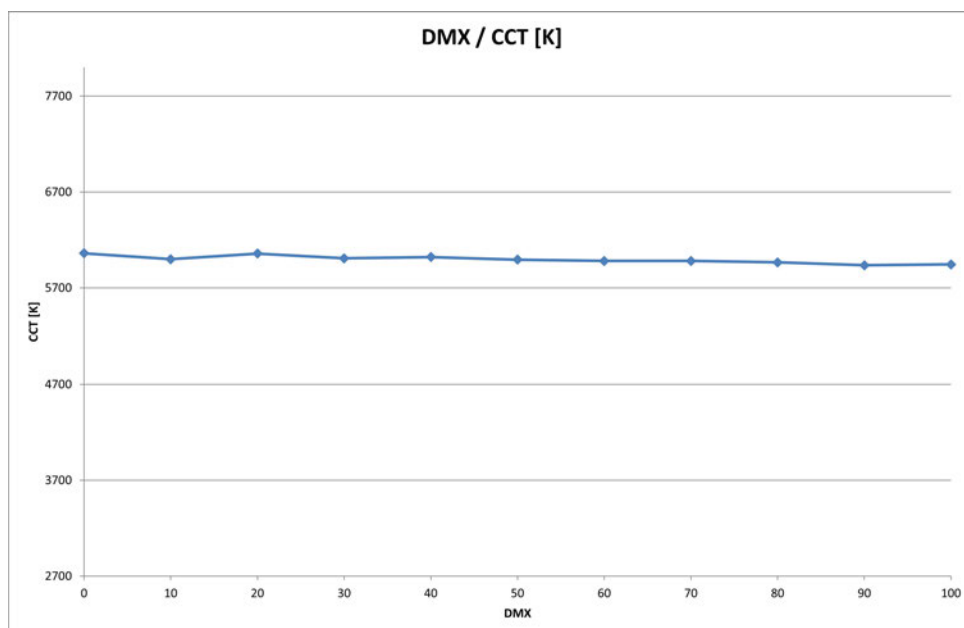


Abbildung 5.3: Plot - Robe T1 Profile - CRI / CCT

Analog zu der Abbildung 5.2 ist hier eine leichte Abweichung bei dem 10% Messpunkt erkennbar, danach bleibt die ähnlichste Farbtemperatur jedoch relativ konstant bei ca. 6000 K. Dies erlaubt beispielsweise in einer Theater-Anwendung ein langsames unsichtbares Überblenden von einem hohen CRI-Wert in eine Szene, die eine maximale Helligkeit erfordert, jedoch auf eine gute Farbwiedergabe verzichten kann.

Da der konstante CCT-Wert jedoch nicht als einziger Faktor eine unsichtbare Überblendung gewährleistet, wird in folgender Abbildung 5.4 noch der Duv-Wert betrachtet. So könnte etwa selbst bei einem konstanten CCT-Wert ein sich verändernder Grün- oder Magenta-Stich dafür sorgen, dass die Überblendung nicht live erfolgen kann oder der *Tint*-Kanal noch zusätzlich mit angepasst werden muss.

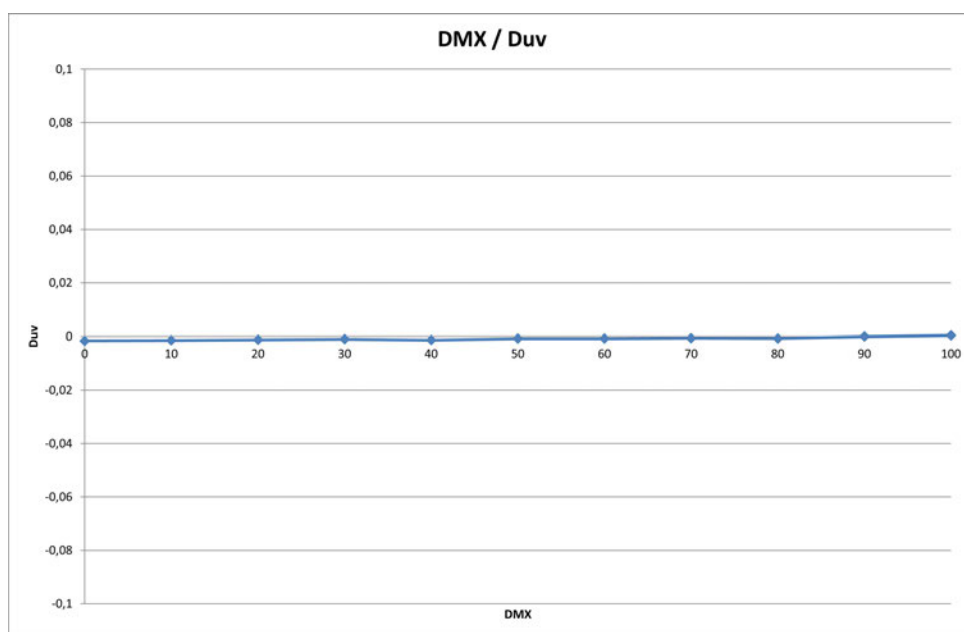


Abbildung 5.4: Plot - Robe T1 Profile - CRI / Duv

Die Abbildung zeigt, dass der CRI-Kanal den Abstand des Farborts zum plank'schen-Kurvenzug konstant verkleinert. Dabei ist der Duv-Wert zu Beginn leicht im negativen Bereich (Magenta-Anteil) und nähert sich mit steigendem DMX-Wert des CRI-Kanals Null an. Interessant ist dabei, dass der Duv Wert den Null-Wert erreicht und der erreichte Weißpunkt damit von Zuschauern möglicherweise weniger bevorzugt wird als der ursprüngliche Wert. Versuche zeigten, dass ein Weißton mit einem negativem Duv-Wert von Versuchsteilnehmern eher bevorzugt wurden als Farborte die genau auf dem Temperaturfarbzug lagen. Die Duv-Werte dafür werden von -0.002 bis -0.004 angegeben (Baer, Barfuß und Seifert 2020, S. 77). Zwar würde dieser Effekt wahrscheinlich durch die deutlich verbesserte Farbwiedergabe in einem bunten Bühnenbild aufgehoben, jedoch erlauben die genommenen Messwerte aus Abbildung 5.4 die Vermutung, dass eine leichte Anpassung des *Tint*-Kanals den Weißpunkt für Zuschauer angenehmer wirken

lässt.

Ein weiteres Beispiel ist die Messung der Homogenität des Lichtkegels des *Robe T1 Profile*. Diese „Hotspot“-Messung muss jedoch bei einer von dem Default-Wert abweichenden Zoomgröße stattfinden, da die maximale Spannweite des Roboters bei etwa 2,4 Metern liegt und somit der Durchmesser des Lichtkegels auch maximal 2,4 m groß sein darf, wenn der gesamte Lichtkegel gemessen werden soll. In der folgend abgebildeten Messung (5.5) wurde die „Beam“-Größe auf ca. 2 m Durchmesser bei 5 m Distanz begrenzt und die Roboterspannweite von 2,4 m ausgenutzt. So sind Messungen außerhalb des Lichtkegels möglich, die eine Aussage über die Helligkeit außerhalb des scharfgestellten Beams erlauben.

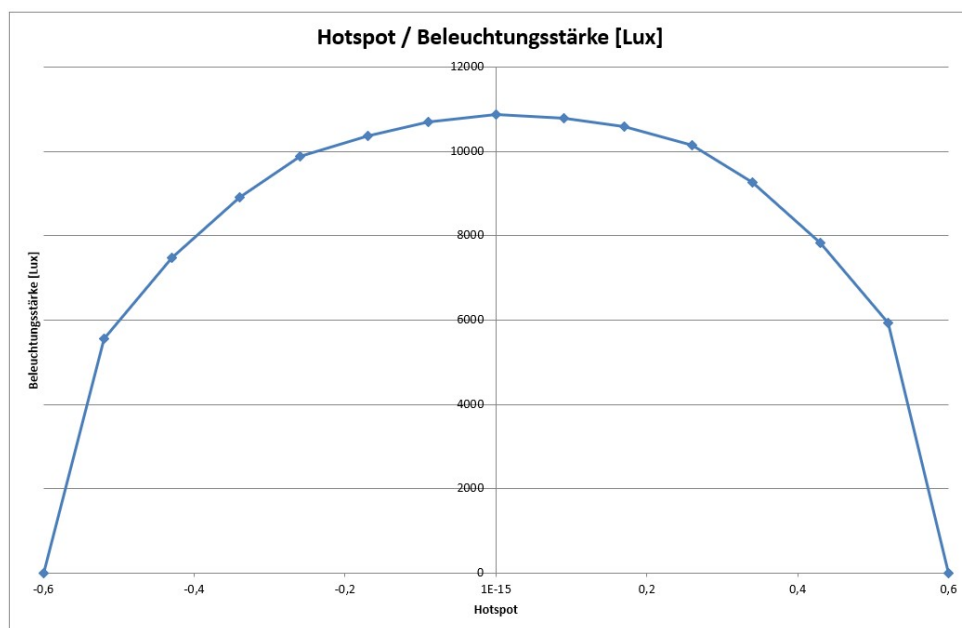


Abbildung 5.5: Plot - Robe T1 Profile - Hotspot / Beleuchtungsstärke

In dieser Abbildung wird sichtbar, dass der *Robe T1 Profile* einen deutlichen Hotspot hat. Dieser ist, auf der gemessenen horizontalen Achse, symmetrisch. Während in der Mitte des Lichtkegels 10870,79 lx gemessen werden erreicht die Beleuchtungsstärke in 0,5 m Entfernung nur noch einen Wert von 5931,18 lx und ist somit um ca. 46% geringer. Die Abschottung außerhalb des Lichtkegels funktioniert gut und es wurden bei 0,6 m jeweils lediglich ca. 7 lx gemessen.

5.2 Fehlerbetrachtung der Positionierung

Bei der Betrachtung der möglichen Fehler ist die Ausrichtung des Scheinwerfers zum Messgerät die größte Fehlerquelle. Die Position des Spektrometers wird durch Roboter und Halterung bestimmt. Die Halterung ist so konstruiert, dass sie das Messgerät fest umschließt und vor möglichem Verrutschen schützt. Dementsprechend ist die Position des Messgerätes von der Position des Roboters bestimmt. Da der Roboter auf Höhe der Messbank positioniert ist, ist die Ausrichtung des Roboters auf seiner Position besonders relevant. Die möglichen Fehler bei der Ausrichtung des Roboters auf seinen drei Hauptachsen soll im Folgenden mit Hilfe des Roboters selbst simuliert werden. Der Versuch kann keine vollständige Fehlerbetrachtung durch Positionsfehler leisten, soll jedoch das Problem verdeutlichen und als Einschätzung dienen.

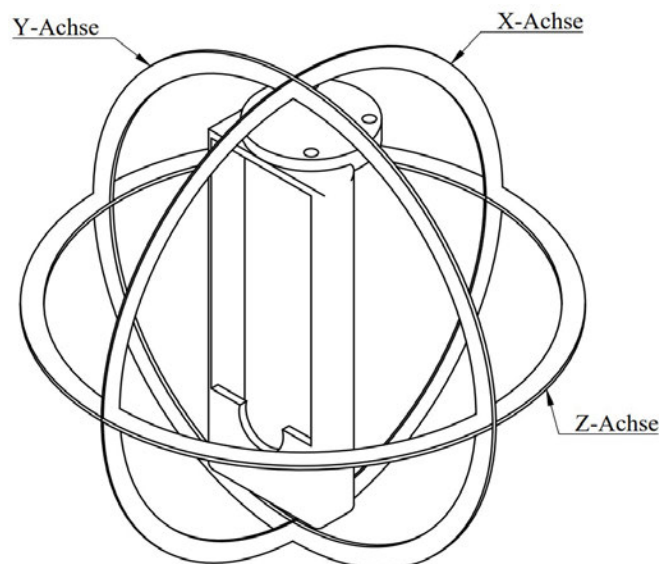


Abbildung 5.6: XYZ-Achsen des Spektrometers am Roboter

Es wurde dafür folgender Testaufbau gemacht:

Eine 1000W Stufenlinse wurde in drei Metern Entfernung vor dem Messkopf positioniert. Das Spektrometer war in der Halterung an dem Roboter angebracht und sowohl Roboter als auch Messbank wurden händisch möglichst genau ausgerichtet. Mit einer digitalen Wasserwaage wurden die Winkel bestmöglich kontrolliert, so dass sowohl der Scheinwerfer als auch der Roboter inklusive Messgerät und Halterung zueinander gerade waren. Mit einigen Testmessungen wurde nun das Spektrometer an dem Roboter an die Stelle mit der größten Helligkeit in der Mitte des Lichtkegels positioniert. Der programmierte Testzyklus umfasste nun acht Messschritte: Die erste Messung war eine Messung in der Ausgangslage, ohne eine simulierte

Schräglage. Die danach folgenden sieben Messungen simulierten durch Kippen des Messkopfes um jeweils 5° pro Achse das Kippen des gesamten Roboters durch falsche Positionierung. Der Testzyklus fuhr dabei auch alle Kombinationen der Schräglagen an.

Folgend sind die Mittelwerte der gemessenen Beleuchtungsstärken der fünf aufgenommenen Messreihen im Bezug zu den Winkeln aufgeführt:

X-Achse [°]	Y-Achse [°]	Z-Achse [°]	\bar{E} [lux]
0	0	0	7321,2
0	0	-5	7251,0
0	-5	0	7189,8
0	-5	-5	7093,4
-5	0	0	7233,0
-5	0	-5	7170,2
-5	-5	0	7138,0
-5	-5	-5	7059,6

Tabelle 5.1: Messergebnisse der Fehlerbetrachtung: Positionierung Roboter

Zur Visualisierung dieser Ergebnisse folgt Abbildung (5.7). In dieser sind die prozentualen Verluste der Beleuchtungsstärke farblich dargestellt:

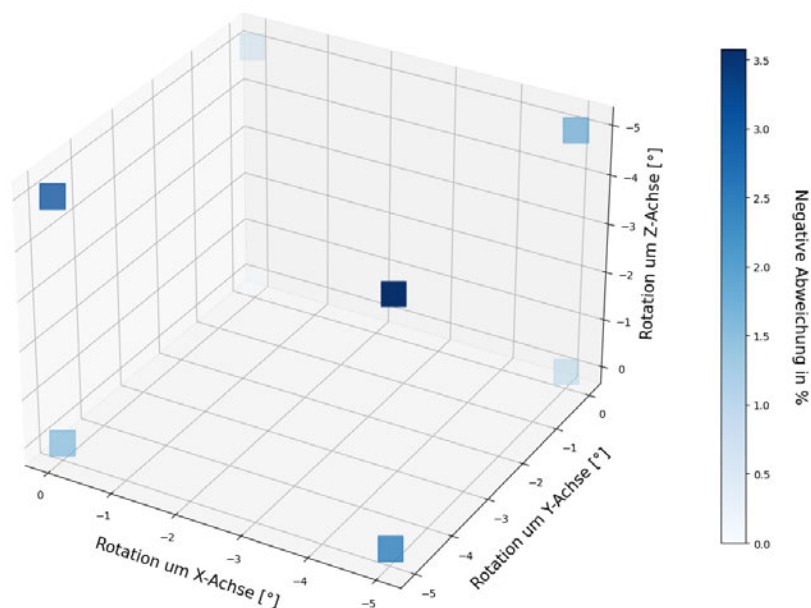


Abbildung 5.7: Prozentualer Fehler der Beleuchtungsstärke bei schiefer Positionierung

In dieser Abbildung ist der Ausgangsmesswert bei $(0\ 0\ 0)$ und einem Wert von Null transparent, die anderen Positionen sind farblich ihrer Abweichung entsprechend gekennzeichnet. Wie zu erwarten, liegt die größte Abweichung bei der Position, an der der Messkopf auf allen Achsen um fünf Grad angekippt wurde. Die Abweichung an dieser Position beträgt $-3,573\%$. Ähnlich stark fällt mit $-3,112\%$ das Kippen auf der Y- sowie Z-Achse ins Gewicht. Diese Achsen sind bei der Einrichtung der Messung dementsprechend besonders sorgfältig einzumessen.

5.3 Fehlerbetrachtung des Spektrometers

Zur Überprüfung der Fehlerangaben des Herstellers wurde ein weiterer Versuch aufgebaut. Dieses mal mit drei verschiedenen Beleuchtungsstärkeniveaus, um eine Einschätzung des Fehlers bei unterschiedlichen Beleuchtungsstärken und damit verbundenen Integrationszeiten zu erreichen.

Dabei wird folgend lediglich die Präzision, also das Streumaß der Messwerte, überprüft. Die Richtigkeit der Messwerte kann mit diesem Versuch nicht beurteilt werden und generelle Einschränkungen zu den Fehlergrößen werden im Anschluss noch behandelt.

1. 40 W / 420 lm Halogen-Glühlampe, – 1 m Entfernung zum Messgerät
2. 40 W / 420 lm Halogen-Glühlampe – 25 cm Entfernung zum Messgerät
3. 1000 W Halogen-Stufenlinse – 3 m Entfernung zum Messgerät, engster Abstrahlwinkel

Das Messgerät ist an dem Roboter angebracht und die Höhe des Messkopfes sowie die des hellsten Lichtaustritts aus dem Leuchtmittel sind mithilfe einiger Testmessungen eingemessen worden. Das Ziel der Messung ist die Bestimmung der Präzision oder auch Wiederholgenauigkeit des Gossen MAVOSPEC Base durch eine so schnell wie möglich aufgenommene Messreihe ohne Veränderliche. Dafür wurde ein Python-Skript programmiert, das automatisch 100 identische Messungen hintereinander auslöst und die Messdaten protokolliert. Aufgenommen wurden Daten zur Beleuchtungsstärke [E], zum CCT [K] sowie xy-Farbkoordinaten. Die ausgewählten Leuchtmittel sind konventionelle Leuchtmittel ohne Steuerelektronik oder Kühlungen. Im Gegensatz zu LEDs ist ihr Lichtstrom daher, ebenso wie das emittierte Spektrum, über den Zeitraum der Messung konstant. Zwar nehmen auch konventionelle Leuchtmittel über den Zeitraum durch etwa Materialschwund und Verrußung an Helligkeit ab, diese ist innerhalb der verhältnismäßig kurzen Zeitspanne der Messung aber zu vernachlässigen.

Die Mittelwerte der jeweiligen Messreihe sind folgend in Tabelle 5.2 abzulesen:

	1	2	3
E [lux]	38,52	485,64	10290,8
CCT [K]	2742,02	2694,44	3085,29
x	0,4555	0,4598	0,4303
y	0,4081	0,4099	0,4031

Tabelle 5.2: Messergebnisse Spektrometerfehler - Mittelwerte

Zur Abschätzung des gemachten Fehlers innerhalb der Messreihe sind in folgender Tabelle 5.3 die Standardabweichungen zum Mittelwert der jeweiligen Messreihe zu finden:

	1	2	3
E [lux]	0,652	3,116	56,547
CCT [K]	30,682	2,137	3,018
x	0,0033	0,00019	0,00019
y	$2,3428 \cdot 10^{-3}$	$1,3150 \cdot 10^{-4}$	$9,3226 \cdot 10^{-5}$

Tabelle 5.3: Messergebnisse Spektrometerfehler - Standardabweichungen

Anhand dieser Werte wurde für die folgende Tabelle 5.4 die prozentuale Abweichung vom Mittelwert bei einer der Standardabweichung berechnet:

	1	2	3
E [lux]	1,692%	0,642%	0,549%
CCT [K]	1,119%	0,079%	0,098%
x	0,722%	0,041%	0,044%
y	0,547%	0,032%	0,023%

Tabelle 5.4: Messergebnisse Spektrometerfehler - Prozentuale Abweichung bei einer Standardabweichung

Bei einer Normalverteilung der aufgenommenen Werte gelten diese Abweichungen für 68,27% aller Messwerte. In der nachfolgenden Tabelle 5.5 sind die prozentualen Abweichungen von zwei mal der Standardabweichung zum Mittelwert aufgeführt, diese gelten für statistisch 95,45% aller Messwerte (Zwerenz 2009, S. 327):

	1	2	3
E [lux]	3,384%	1,283%	1,099%
CCT [K]	2,238%	0,159%	0,196%
x	1,445%	0,081%	0,088%
y	1,148%	0,064%	0,046%

Tabelle 5.5: Messergebnisse Spektrometerfehler - Prozentuale Abweichung bei zwei Standardabweichungen

Für die Beurteilung, ob überhaupt eine Normalverteilung vorliegt, wurde der Shapiro-Wilk-Test auf die aufgenommenen Datensätze angewandt und ein Grenzwert des Signifikanzniveaus von 5% festgelegt. Somit muss der errechnete p-Wert der Datensätze ≥ 0.05 sein, um als Normalverteilung bestätigt zu werden (Duller 2008, S. 121–122).

Zur genaueren Betrachtung der Verteilung und für die Einschätzung einer Aussagekräftigkeit der errechneten Signifikanz, wurden folgend außerdem noch Quantil-Quantil-Diagramme der Beleuchtungsstärke-Datensätze generiert:

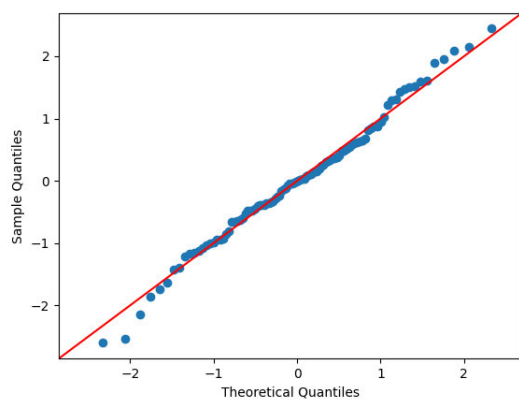


Abbildung 5.8: Q-Q-Diagramm - Messreihe 1 - p-Wert= 0,7497

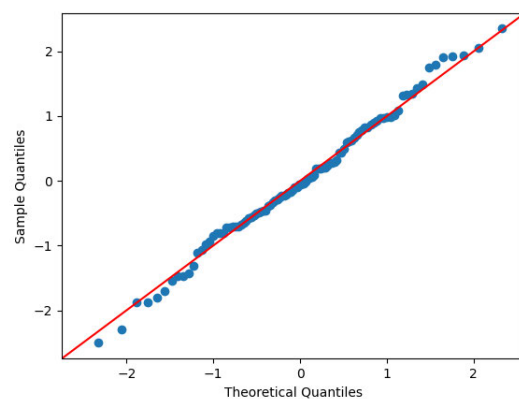


Abbildung 5.9: Q-Q-Diagramm - Messreihe 2 - p-Wert= 0,8099

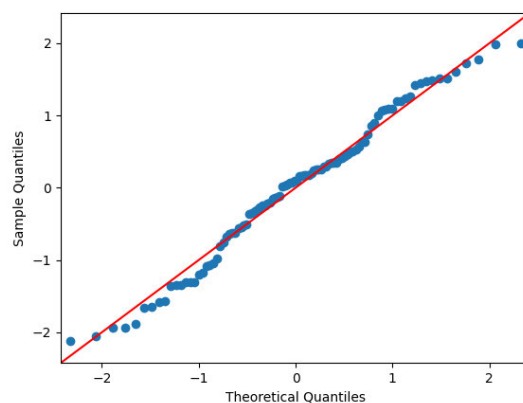


Abbildung 5.10: Q-Q-Diagramm - Messreihe 3 - p-Wert= 0,1298

Bei dieser Diagrammart werden die Messwerte anhand ihres Z-Wertes gegenüber der theoretischen Verteilung der Z-Werte einer Normalverteilung aufgetragen. Der Z-Wert gibt an, um wie viele Standardabweichungen ein Wert von dem Mittelwert abweicht.

Bei einer idealen Normalverteilung lägen die Messwerte somit alle, vom Nullpunkt ausgehend, auf einer 45°-Achse (Kohn und Öztürk 2013, S. 99–100);(Zwerenz 2009, S. 156 ff.).

Die vorliegenden Diagramme zeigen alle grundlegend eine Orientierung an der 45°-Achse. Somit kann, gemeinsam mit den errechneten p-Werten, auch auf eine grundlegende Orientierung der Datensätze an der Normalverteilung geschlossen werden. Die statistische Annahmen der prozentualen Abweichungen aus Tabelle 5.3 anhand der Standardabweichungen können somit begründet werden.

Die Aussagekräftigkeit der erhobenen Werte und des generellen Fehlers muss jedoch im folgenden noch eingeschränkt werden:

Das Gossen MAVOSPEC BASE besitzt laut Herstellerangaben ein Kosinus-korrigierten Messkopf der Klasse B nach DIN 5032-7 (Gossen 2021a, S. 35). Die Herstellerangaben für den Beleuchtungsstärkefehler unterbieten die Klassengrenzwerte der Gesamtkenngröße der DIN 5032-7 jedoch deutlich (Baer, Barfuß und Seifert 2020, S. 174). So gibt Gossen den Fehler ihrer Kosinus-Korrektur als auch des Gesamtfehlers der Beleuchtungsstärke mit 3% an. Der Klassengrenzwert für die Gesamtunsicherheit in Klasse B liegt laut DIN 5032-7 jedoch bei 10%. Die DIN 5032-7 spezifiziert neben der cos-getreuen Bewertung Fehlerquellen wie etwa $V(\lambda)$ -Anpassung, Linearität oder Temperaturabhängigkeit. Gossen gibt keine aufgeschlüsselten Messunsicherheiten für die Beleuchtungsstärke an und setzt den Kosinus-Korrektur-Fehler mit dem Gesamtfehler gleich. Diese Tatsache ergibt, dass generell eine Gesamtunsicherheit der Beleuchtungsstärke von 10% und nicht 3% angenommen werden sollte. Innerhalb dieser Messunsicherheit liegen auch die erhobenen Messwerte für die Präzision aus Tabelle 5.5 für

95,45% aller Messwerte.

Weitergehend nutzt das Gossen MAVOSPEC BASE eine virtuelle, variable Belichtungszeit des verbauten CMOS-Sensors. Diese Integrationszeit liegt zwischen 10 und 3000 ms und wird bei den Messungen im Protokoll mit angegeben. Es ergibt sich jedoch besonders im Helligkeitsniveau von weniger als ca. 250 lux, dass das Messgerät bereits die maximale Integrationszeit von 3000 ms ausschöpft. Ab diesem Grenzwert ist der potenzielle Fehler bei niedrigeren Beleuchtungsstärken größer, da die Integrationszeit nicht weiter steigen und nicht mehr die gleiche Sättigung des CMOS-Sensors erreicht werden kann. Daher sollte, wenn möglich, die Messung mit mehr als 250 lux Beleuchtungsstärke und einer Integrationszeit von kleiner 3000 ms stattfinden, um den potenziellen Fehler zu minimieren.

Die verwendete Messmethode mit 230V-Halogenglühlampen liefert außerdem selber einen potenziellen Fehler. Dadurch, dass die Netzfrequenz von 50 Hz zu einem 100 Hz Flicker des Leuchtmittel führt, wird es bei den drei Messreihen Messpunkte geben, bei denen die variable Integrationszeit zufällig so gewählt wurde, dass sie bei Maxima oder Minima der Sinuskurve beginnt und auch bei selbigen endet. Dies führt ebenfalls zu einer Streuung der Werte, die im Rahmen dieser Arbeit nicht quantifizierbar ist. Typischerweise liegen die Pulsweitenmodulations (PWM)-Frequenzen von modernen LED-Scheinwerfer in der Praxis jedoch deutlich höher und werden mit steigender Frequenz unproblematischer. Der bereits angesprochene *Robe T1 Profile* bietet beispielsweise die Möglichkeiten die PWM-Frequenz auf Werte zwischen 300 und 2400 Hz festzulegen.

Eine Überprüfung der Richtigkeit und eine bessere Präzision könnten durch eine jährliche Kalibrierung durch den Hersteller erreicht werden.

6 Fazit

6.1 Zusammenfassung

Im Rahmen dieser Arbeit wurde eine Software entwickelt, die eine automatische Scheinwerfervermessung ermöglicht. Dabei wurde die Hardware des Lichtlabors der HAW Hamburg verwendet und die Software explizit auf diese zugeschnitten und entwickelt. Die wichtigsten Komponenten sind dabei der Industrieroboter HORST900 der Firma fruitcore und das Spektrometer MAVOSPEC BASE der Firma Gossen als Messgerät. Die Software wurde in der Programmiersprache Python entwickelt und ist als Webanwendung konzipiert und realisiert worden. Sie bietet dementsprechend eine Oberfläche im Browser an, mit der die nötigen Einstellungen für die Messungen vorgenommen werden können. Möglich sind dabei 3 Messszenarien: DMX, Zeit und Homogenität.

Bei der DMX-Messung werden die Werte von bis zu drei DMX-Kanäle durchlaufen und eine von den Nutzer:innen eingestellte Anzahl an Messwerten aufgenommen. So lassen sich beispielsweise Dimmerkurven beliebig genau aufzeichnen und nachvollziehen.

Bei der Zeit-Messung werden Messzeitpunkte genau definiert und die Software löst in definierten Abständen automatisch Messungen aus. So lassen sich etwa die Helligkeits- und Farbveränderungen durch Wärmeentwicklung von LED-Leuchtmitteln messen.

Bei der Homogenitätsmessung kann ein Lichtkegel in der horizontalen Achse vermessen und Helligkeits- und Farbveränderungen innerhalb des Kegels dokumentiert werden.

Die Dokumentation und Messwertdarstellung wurde als XLSX-Datei ausgeführt, die die Nutzer:innen im Browser herunterladen können. Das Tabellenkalkulationsformat ist mit Software wie Microsoft Excel oder LibreOffice kompatibel und ermöglicht so Student:innen und auch Laien einen einfachen Umgang mit Messergebnissen.

6.2 Herausforderungen

Bei der Realisierung der Software kam es, wie bei einer zeitlich eingeschränkten Entwicklung üblich, zu einigen Herausforderungen, die noch ungelöst blieben und in der Zukunft im Rahmen von weiteren Arbeiten oder Projekten gelöst werden können.

Als Erstes ist hier die Positionierung des Roboters und des Scheinwerfers zu nennen. Da sich diese Arbeit auf die Entwicklung und Umsetzung der Software fokussiert, wurde dieses Thema nur angeschnitten. Zwar wurde im Rahmen der Fehlerbetrachtung der mögliche Fehler abgeschätzt, durch eine Methodik zur genaueren Positionierung könnte dieser Fehler jedoch deutlich verringert werden. So ist der Roboter zum Zeitpunkt der Arbeit noch nicht an der Messbank im Boden verankert, so dass ein Verschieben des Roboters durch Fremdeinwirkung möglich ist. Außerdem ist die Positionierung des Scheinwerfers auf der Messbank wichtig. Ist der Scheinwerfer in allen Achsen zum Roboter nivelliert? Und ist das Einstellen eines 90-Grad Winkels in Richtung Messkopf wirklich ein 90-Grad Winkel? Außerdem ist die Positionierung des Messkopfes in der exakten Mitte des Scheinwerferkegels eine Herausforderung. Bei den im Rahmen dieser Arbeit entstandenen Messungen wurden dafür der Zoom und die Iris auf minimal eingestellt und über den Fokus auf dem Messgerät scharf gestellt. Daraufhin wurde der Messkopf über die Benutzeroberfläche in die Mitte des Lichtkegels ausgerichtet und diese Position als Home-Position abgespeichert. Diese Möglichkeiten sind aufgrund von eventuell schlechter Nivellierung von Roboter zu Scheinwerfer nicht optimal und könnten beispielsweise durch einen Laser für das Messgerät verbessert werden. Dafür könnte entweder das Spektrometer der Firma *Jeti* ersetzt werden, die diese Funktion bereits eingebaut haben oder die Entwicklung einer automatischen Nivellierung im Rahmen einer weiteren Arbeit umgesetzt werden.

Als Idee bieten sich dabei beispielsweise zwei *ESP32*-Mikrocontroller mit angeschlossenen Beschleunigungssensoren an. Diese bieten sich aufgrund der Erdanziehungskräfte als Lagesensoren an und können als elektronische „Wasserwaage“ genutzt werden. So könnte mit Hilfe der Bluetooth- oder WLAN-Funktionen des *ESP32* eine Kommunikation zwischen den zwei Mikrocontrollern aufgebaut werden, die eine Differenz der Nivellierung erkennen und die Werte per IP-Protokoll an die Software weiterleiten. Diese könnte mit diesen Werten nun den Roboter-Nullpunkt um ein Offset verschieben und so das Messgerät zum Scheinwerfer nivellieren. Dabei könnte außerdem die Funktion eines Lasers implementiert werden, wenn zusätzlich zum Beschleunigungssensor ein Laser an der Halterung des Messgerätes angebracht wird. Einfache 5mW Laserdioden sind bereits mit einer Platine mit den nötigen Widerständen und Anschlusspins verfügbar und können aufgrund ihrer geringen Leistungsaufnahme direkt

von einem Mikrocontroller versorgt und angesteuert werden. Das Schalten der Diode könnte über die Benutzeroberfläche gelöst werden.

Eine weitere Herausforderung ist die benötigte Zeit für eine Messung. Aufgrund der Limitierung der seriellen Schnittstelle des Gossen MAVOSPEC BASE ist eine Abfrage der Werte zeitaufwendig und liegt beispielsweise bei der Abfrage des Spektrums bei mehreren Sekunden. Da außerdem immer mehrere Befehle für die unterschiedlichen Messwerte gestellt werden müssen, summiert sich die benötigte Zeit inklusive Messdauer und Pufferzeiten für beispielsweise Roboterbewegung, in der Praxis auf eine Minimalzeit von 45 Sekunden pro Messung. Bei Messungen die zeitlich gesteuert sind, fällt diese Limitierung nur ins Gewicht, wenn eine sehr genaue Messung wie etwa alle 15 oder 30 Sekunden erreicht werden soll. Bei DMX- oder Homogenitätsmessungen wäre eine schnellere Übertragung der Daten jedoch wünschenswert, da so mehr Messungen in weniger Zeit erreicht werden könnten und außerdem Einflüsse wie etwa die Umgebungstemperatur, die sich über die Zeit ändern können, weniger potenziellen Einfluss auf das Messergebnis hätten.

Abbildungsverzeichnis

3.1	Gossen MAVOSPEC BASE (Gossen 2022)	7
3.2	fruitcore robotics HORST900 (fruitcore robotics GmbH 2021)	10
3.3	Roboterachsen - Horst900 (fruitcore robotics GmbH 2022a, S. 21)	11
3.4	Bewegungsbereich Vertikal (fruitcore robotics GmbH 2022b, S. 6)	12
3.5	Bewegungsbereich Horizontal (fruitcore robotics GmbH 2022b, S. 6)	12
3.6	Werkzeugaufnahme-Flansch - HORST900 (fruitcore robotics GmbH 2022b, S. 5)	14
3.7	Front-, Perspektiv- und Seitenansicht - Halterung Spektrometer	15
4.1	Grafik - Technischer Aufbau	18
4.2	Datenstruktur XLSX-Format (data2type GmbH 2022)	23
4.3	Flussdiagramm Softwarestruktur	26
4.4	Grafik - Kreisgleichung	34
4.5	Koordinatensystem Roboter Horst900	36
4.6	Screenshot - Benutzeroberfläche	37
4.7	Screenshot - Mouseover	38
4.8	Screenshot - Altert	39
4.9	Plot - DMX / Beleuchtungsstärke	41
4.10	Plot - Spektrum	41
4.11	Plot - Robe T1 Profile - Tint / DMX	42
5.1	Plot - Robe T1 Profile - DMX / CRI	45
5.2	Plot - Robe T1 Profile - CRI / Beleuchtungsstärke	46
5.3	Plot - Robe T1 Profile - CRI / CCT	46
5.4	Plot - Robe T1 Profile - CRI / Duv	47
5.5	Plot - Robe T1 Profile - Hotspot / Beleuchtungsstärke	48
5.6	XYZ-Achsen des Spektrometers am Roboter	49
5.7	Prozentualer Fehler der Beleuchtungsstärke bei schiefer Positionierung	50
5.8	Q-Q-Diagramm - Messreihe 1 - p-Wert= 0,7497	53
5.9	Q-Q-Diagramm - Messreihe 2 - p-Wert= 0,8099	53
5.10	Q-Q-Diagramm - Messreihe 3 - p-Wert= 0,1298	54

6.1	MAVOSPEC BASE Halterung - Zeichnung mit Bemaßungen	65
6.2	MAVOSPEC BASE Halterung - Fotos 3D-Druck PLA	66

Tabellenverzeichnis

3.1	Herstellerangaben Fehlertoleranzen - Gossen MAVOSPEC BASE (Gossen 2021a, S. 35)	8
3.2	UART Einstellungen - Gossen MAVOSPEC BASE (Gossen 2021b, S. 11)	9
3.3	Bewegungsbereiche Achswinkel - HORST900	11
5.1	Messergebnisse der Fehlerbetrachtung: Positionierung Roboter	50
5.2	Messergebnisse Spektrometerfehler - Mittelwerte	52
5.3	Messergebnisse Spektrometerfehler - Standardabweichungen	52
5.4	Messergebnisse Spektrometerfehler - Prozentuale Abweichung bei einer Standardabweichung	52
5.5	Messergebnisse Spektrometerfehler - Prozentuale Abweichung bei zwei Standardabweichungen	53

Listingsverzeichnis

3.1	XML-RPC - HTTP-POST-Request Client	12
3.2	XML-RPC - HTTP-POST-Request Server	13
4.1	Flask Minimalbeispiel	21
4.2	XML XLSX Minimalbeispiel	24
4.3	XlsxWriter Minimalbeispiel	24
4.4	DmxPy Minimalbeispiel	25
4.5	Funktion - Hardware-Detektion	28
4.6	<i>numpy.linspace()</i> -Minimalbeispiel	30
4.7	DMX-Array	30
4.8	Funktion - 16:8-Bit-Konvertierung	31
4.9	MAVOSPEC BASE - Bibliothek - Beispiel	32
4.10	MAVOSPEC BASE - Connect-Funktion	32
4.11	MAVOSPEC BASE - CCT - Funktion	33
4.12	MAVOSPEC BASE - CDCCommand - Funktion	33
4.13	Softwareumsetzung - Φ -Array	35
4.14	Softwareumsetzung - XY-Koordinaten	36
6.1	Beispiel - Visualisierung mit Python	68
6.2	Python-Code	69
6.3	Gossen MAVOSPEC BASE Python-Bibliothek	91
6.4	fruitcore HORST900 Python-Bibliothek	97

Literaturverzeichnis

- Abts, Dietmar (2010). *Masterkurs Client/Server-Programmierung mit Java: Anwendungen entwickeln mit Standard-Technologien: JDBC, UDP, TCP, HTTP, XML-RPC, RMI, JMS und JAX-WS*. 3., erweiterte Auflage. Springer eBook Collection Computer Science & Engineering. Wiesbaden: Vieweg+Teubner. ISBN: 9783834897244. DOI: 10.1007/978-3-8348-9724-4.
- Baer, Roland, Meike Barfuß und Dirk Seifert (2020). *Beleuchtungstechnik: Grundlagen*. 5. Auflage. Berlin: Huss-Medien GmbH. ISBN: 3341016481.
- Bloch, L. (2019). *Lichttechnik*. Reprint 2019. Berlin und Boston: Oldenbourg Wissenschaftsverlag. ISBN: 9783486746747. DOI: 10.1515/9783486746747.
- data2type GmbH (2022). *SpreadsheetML | Das XLSX-Format: ein ZIP-Container hats in sich*. URL: <https://www.data2type.de/xml-xslt-xslfo/spreadsheetml/xlsx-format>.
- Duller, Christine (2008). *Einführung in die nichtparametrische Statistik mit SAS und R: Ein anwendungsorientiertes Lehr- und Arbeitsbuch*. Heidelberg: Physica-Verlag HD. ISBN: 9783790820607. URL: <http://nbn-resolving.org/urn:nbn:de:bsz:31-epflucht-1618451>.
- fruitcore robotics GmbH (2021). *Fruitcore_2021_Produktaufnahmen_08-827x1024.jpg (827×1024)*. URL: https://fruitcore-robotics.com/wp-content/uploads/2022/02/Fruitcore_2021_Produktaufnahmen_08-827x1024.jpg.
- (2022a). *Montageanleitung HORST900: Version 3.1*. Hrsg. von fruitcore robotics GmbH. Montageanleitung.
 - (2022b). “Weiterführende technische Daten zum Robotersystem HORST900 - Version V220127”. In: URL: <https://fruitcore-robotics.com/wp-content/uploads/2022/02/Weiterfuehrende-technische-Daten-zum-Robotersystem-HORST900-Version-V220127.pdf>.
- General Python FAQ — Python 3.10.4 documentation* (20.05.2022). URL: <https://docs.python.org/3/faq/general.html#why-was-python-created-in-the-first-place>.
- Gossen (2021a). “Bedienungsanleitung Gossen MAVOSPEC BASE”. In: URL: https://gossen-photo.de/wp-content/uploads/DL/SLMT/Mavospec_Base/Anleitung/GA_Mavospec_Base_DE.pdf.
- (2021b). *MAVOSPEC BASE SDK: USB Interface Description*. URL: https://gossen-photo.de/wp-content/uploads/DL/SLMT/Mavospec_Base/Software/MAVOSPEC_BASE_SDK.zip.

- Gossen (2022). *Shop_Produkt_MavospecBase_800x800_Display1.jpg (800×800)*. URL: https://gossen-photo.de/wp-content/uploads/2017/08/Shop_Produkt_MavospecBase_800x800_Display1.jpg.
- Greule, Roland (2021). *Licht und Beleuchtung im Medienbereich*. 2., aktualisierte und erweiterte Auflage. Medien. München: Hanser. ISBN: 9783446468658.
- Kohn, Wolfgang und Riza Öztürk (2013). *Statistik für Ökonomen: Datenanalyse mit R und SPSS*. 2. Aufl. 2013. Springer-Lehrbuch. Berlin, Heidelberg: Springer Berlin Heidelberg. ISBN: 9783642373527. URL: <http://nbn-resolving.org/urn:nbn:de:bsz:31-epflicht-1568657>.
- Microsoft (2022). *Hardware ID - Windows drivers*. URL: <https://docs.microsoft.com/en-us/windows-hardware/drivers/install/hardware-ids>.
- Pallets (30.05.2022). *Flask*. URL: <https://palletsprojects.com/p/flask/>.
- ROBE Lighting (7.07.2022). *T1 Profile™ | Products | ROBE Lighting*. URL: <https://www.robelighting.de/t1-profile>.
- Şanal, Ziya (2015). *Mathematik für Ingenieure: Grundlagen - Anwendungen in Maple*. 3., vollst. überarb. und erw. Aufl. Lehrbuch. Wiesbaden: Springer Vieweg. ISBN: 3658106417. DOI: 10.1007/978-3-658-10642-3. URL: <https://link.springer.com/content/pdf/10.1007/978-3-658-10642-3.pdf>.
- What is WSGI?* — *WSGI.org* (29.01.2021). URL: <https://wsgi.readthedocs.io/en/latest/what.html>.
- Zwerenz, Karlheinz (2009). *Statistik: Einführung in die computergestützte Datenanalyse*. 4., überarb. Aufl. Managementwissen für Studium und Praxis. München: Oldenbourg. ISBN: 978-3-486-59112-5. DOI: 10.1524/9783486711035.

Anhang

6.2.1 MAVOSPEC BASE Halterung

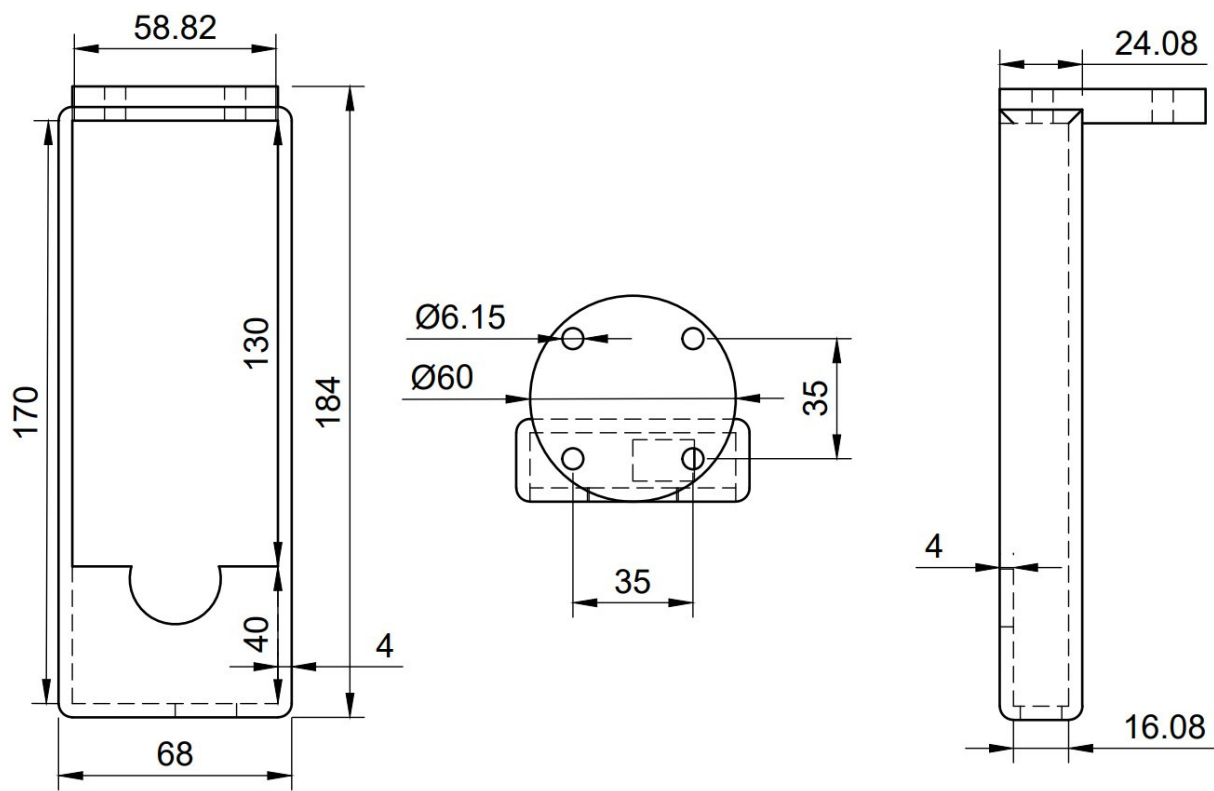


Abbildung 6.1: MAVOSPEC BASE Halterung - Zeichnung mit Bemaßungen

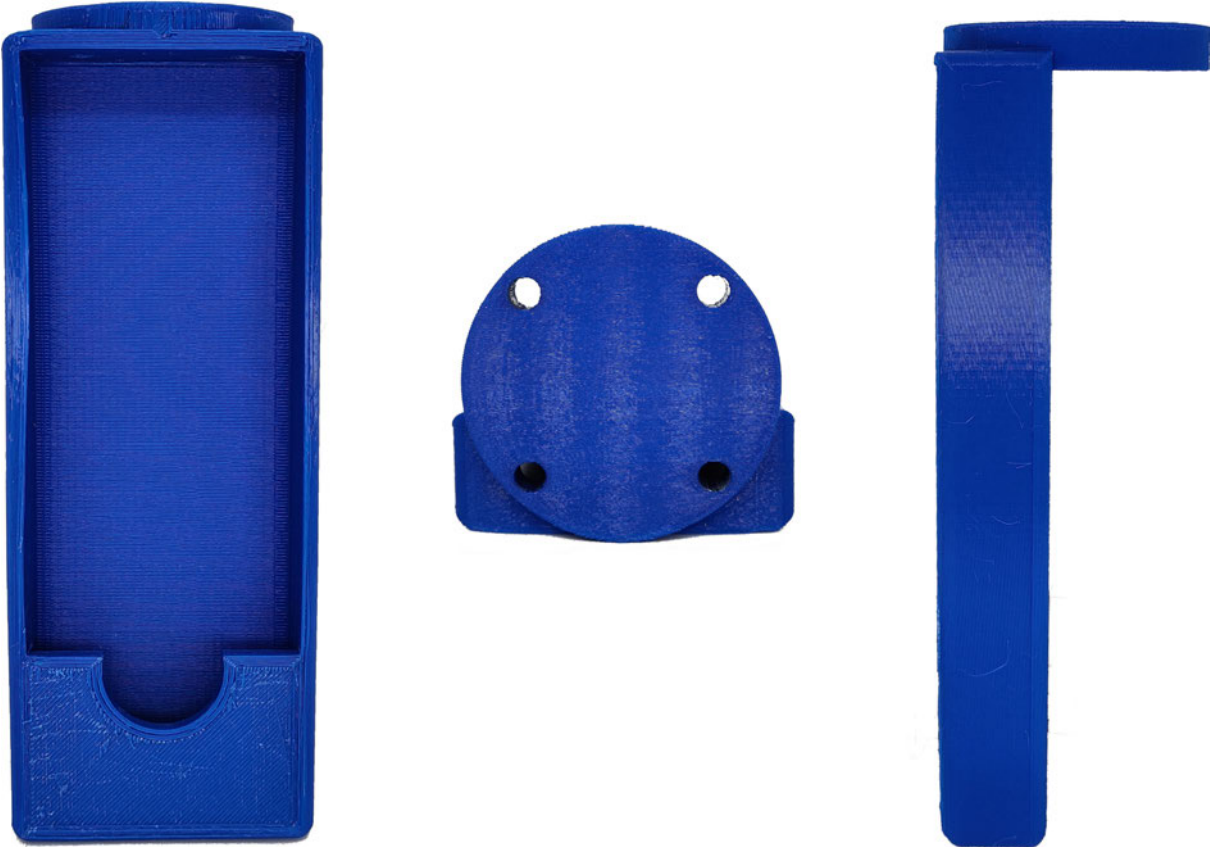


Abbildung 6.2: MAVOSPEC BASE Halterung - Fotos 3D-Druck PLA

(Interaktive 3D-Datei mit Adobe Acrobat Reader)

6.2.2 Python-Visualisierung - Beispiel - Abbildung 4.11

```
1 import colour
2 from colour.plotting import plot_chromaticity_diagram_CIE1931, render
3 import matplotlib.pyplot as plt
4 import pandas as pd
5
6 title = "Robe T1 Profile - Tint Channel"
7 xlsx_filename = 'Robe T1 Profile 06_05_2022_12_27_16 Tint - DMX XY,UV.xlsx'
8 sheet_name= "DMX - XY,UV"
9 fields = ["X","Y"]
10 bounding_box = [0.225, 0.425, 0.225, 0.425]
11 filename = "Robe_T1_Profile_Tint_Plot.jpg"
12 x_label = "CIE x"
13 y_label = "CIE y"
14 dpi = 300
15 font = "Arial"
16 font_weight = "normal"
17 font_size = 11
18 marker = "-x"
19 marker_color = "black"
20 markersize = "10"
21
22 xy_array = pd.read_excel(xlsx_filename, sheet_name=sheet_name,usecols=fields)
23 x_array = pd.Series.to_numpy(xy_array.X)
24 y_array = pd.Series.to_numpy(xy_array.Y)
25
26 plt.rcParams["figure.dpi"] = dpi
27
28 figure, axes = (
29 plot_chromaticity_diagram_CIE1931(standalone=False))
30 colour.plotting.temperature.plot_planckian_locus(axes=axes,standalone=False,method='
31 CIE 1931')
32
33 for i in range(len(x_array)):
34     x = x_array[i]
35     y = y_array[i]
36     plt.plot(x, y, marker, color=marker_color,markersize=markersize)
37
38 font = {'family': font,'weight': font_weight,'size': font_size}
39 plt.rc('font', **font)
40
41 render(
42     standalone=True,
43     filename=filename,
44     dpi=dpi,
45     bounding_box=bounding_box,
46     x_tighten=True,
```

```
46     y_tighten=True,  
47     tight_layout=True,  
48     x_label=x_label,  
49     y_label=y_label,  
50     title=title  
51 )
```

Listing 6.1: Beispiel - Visualisierung mit Python

6.2.3 Python-Code

```
1 import math  
2 import numpy as np  
3 import threading  
4 import time as time  
5 from datetime import datetime, timedelta  
6 import pause  
7 import xlswriter  
8 from dmxpy import DmxPy  
9 import serial.tools.list_ports  
10 from flask import Flask, render_template, request, flash, send_file  
11  
12 import horstfx  
13 import mavospec_base as mavo  
14  
15  
16 ##-----Initial Variables-----  
17  
18 steps_count = 3  
19 dmx_add = 1  
20 zeit = 60  
21 wait = 0  
22 dmx_min = 0  
23 dmx_max = 255  
24 dmx_add_2 = 0  
25 dmx_add_3 = 0  
26  
27 pause_until = datetime.now()  
28  
29 invertdmx = False  
30 dmx_2_bool = False  
31 dmx_3_bool = False  
32 dmx_16_bool = False  
33 ref_measure = False  
34 dmx_render = False  
35  
36
```

```
37 H_x = 0.425 #initial robot position
38 H_y = 0.0
39 H_z = 0.4
40 H_rot = 0
41 H_speed = 0.7
42 H_step = 0.1
43 H_x_Home = H_x #set positions as home
44 H_y_Home = H_y
45 H_z_Home = H_z
46
47 d = 5 # Preset distance robot - spectrometer
48 r = 0.2 # Preset Radius Beam ----- HORST MAXIUMUM: ca. 0.6m
49
50 ##-----Startup-----
51 app = Flask(__name__)
52 app.secret_key = 'lichtschwein'
53
54 import logging
55 log = logging.getLogger('werkzeug')
56 log.setLevel(logging.ERROR) #set Flasks logging level to just errors
57
58
59 def findComPort(pid,vid): #Function to find the ComPorts to the MAVOSPEC BASE and the
    USB-DMX-Interface
60     com_port = "ERROR"
61
62     ports = list(serial.tools.list_ports.comports())
63
64     for p in ports:
65         if pid and vid in p.hwid:
66             com_port = p.device
67             print("DEBUG: found serial device with VID: "+vid+" and PID: "+pid+" at "
+com_port)
68     return com_port
69
70 dmx_com = findComPort(pid="04D8",vid="FA63") #USB-DMX Interface PID and HID
71 mavo_com = findComPort(pid="1CD7",vid="4001") #MAVOSPEC-BASE PID and HID
72
73
74 try: #try to connect to MAVOSPEC BASE
75     mavo.Connect(mavo_com)
76     mavo_success = True
77 except: #Error message if try fails
78     print("ERROR: Cannot connect to Mavospec Base")
79     mavo_success = False
80 try: #try to connect to USB-DMX Interface
81     dmx = DmxPy.DmxPy(dmx_com, default_level=0)
```

```

82     dmx_success = True
83 except:
84     print("ERROR: Cannot connect to USB-DMX-Interface")
85     dmx_success = False
86
87 try: #try to connect to HORST900
88     """
89     Horst = horstfx.Horst("horstFX", "WZA3P9", "2.0.0.25:8080/xml-rpc")
90     Horst.moveHorst(H_x, H_y, H_z, H_rot, H_speed)
91     H_q0, H_q1, H_q2, H_q3, H_rx, H_ry, H_rz, H_x, H_y, H_z = Horst.
92     getCurrentRobotPosition()
93     Horst.printPosition("xyz+rz")
94     """
95     horst_success = True
96 except:
97     print("ERROR: Cannot connect to Horst")
98     horst_success = False
99
100
101 def threadFunc(): #Function to start DMX protocol in different thread than the main
102     loop for continuous DMX output
103     while (dmx_render):
104         dmx.render()
105         if not dmx_render:
106             break
107
108 print("")
109 print("Open link for interface: http://127.0.0.1:5000/")
110
111 ##-----Webpage_Functions-----
112
113
114 @app.route('/user_input', methods=['POST']) #user_input route returns the variables
115     that the user has set
116 def user_input():
117     if request.method == "POST":
118         global steps_count, zeit, wait, dmx_add, dmx_min, dmx_max, d, invertdmx,
119         dmx_add_2, dmx_add_3, dmx_2_bool, dmx_3_bool, dmx_16_bool
120
121         print("USER INPUT VARIABLES")
122
123         if request.form.get("schritte") != "": #try to save inputs and check for
124             correct input type
125             try:
126                 steps_count = int(request.form.get("schritte"))

```

```
124         except ValueError: #if ValueError occurs, the program should not stop,
but inform about the incorrect input
125             print("VALUE ERROR - Steps_Count")
126             flash("Oops! Looks like you didn't enter an integer.") #flash an
error on the webinterface
127         if request.form.get("abstand") != "":
128             try:
129                 d = float(request.form.get("abstand"))
130             except ValueError:
131                 print("VALUE ERROR - Abstand")
132                 flash("Oops! Looks like you didn't enter an integer or float.")
133         if request.form.get("zeit") != "":
134             try:
135                 if int(request.form.get("zeit")) >= 45:
136                     zeit = int(request.form.get("zeit"))
137                 else:
138                     flash("Value must be greater than 45s.")
139             except ValueError:
140                 print("VALUE ERROR - Zeit")
141                 flash("Oops! Looks like you didn't enter an integer.")
142         if request.form.get("wait") != "":
143             try:
144                 if int(request.form.get("wait")) >= 0:
145                     wait = int(request.form.get("wait"))
146                 else:
147                     flash("Value must be greater than 0min.")
148             except ValueError:
149                 print("VALUE ERROR - Zeit")
150                 flash("Oops! Looks like you didn't enter an integer.")
151
152         if request.form.get("dmx") != "":
153             try:
154                 dmx_add = int(request.form.get("dmx"))
155             except ValueError:
156                 print("VALUE ERROR - DMX")
157                 flash("Oops! Looks like you didn't enter an integer.")
158
159         if request.form.get("dmx_min") != "":
160             try:
161                 dmx_min = int(request.form.get("dmx_min"))
162             except ValueError:
163                 print("VALUE ERROR - DMX")
164                 flash("Oops! Looks like you didn't enter an integer.")
165         if request.form.get("dmx_max") != "":
166             try:
167                 dmx_max = int(request.form.get("dmx_max"))
168             except ValueError:
```

```

169         print("VALUE ERROR - DMX")
170         flash("Oops! Looks like you didn't enter an integer.")
171     if request.form.get("dmx_add_2") != "":
172         try:
173             dmx_add_2 = int(request.form.get("dmx_add_2"))
174         except ValueError:
175             print("VALUE ERROR - DMX")
176             flash("Oops! Looks like you didn't enter an integer.")
177     if request.form.get("dmx_add_3") != "":
178         try:
179             dmx_add_3 = int(request.form.get("dmx_add_3"))
180         except ValueError:
181             print("VALUE ERROR - DMX")
182             flash("Oops! Looks like you didn't enter an integer.")
183
184
185     if request.form.get('Invert DMX') == 'Invert DMX':
186         invertdmx = not invertdmx #invert the flag with button press
187         print("DEBUG: Invert DMX: "+str(invertdmx))
188
189     if request.form.get('Use Second DMX-Address') == 'Use':
190         dmx_2_bool = not dmx_2_bool
191         print("DEBUG: Use Second DMX-Address: "+str(dmx_2_bool))
192
193     if request.form.get('Use Third DMX-Address') == 'Use':
194         dmx_3_bool = not dmx_3_bool
195         print("DEBUG: Use Third DMX-Address: "+str(dmx_3_bool))
196
197     if request.form.get('dmx_16') == '16 Bit':
198         dmx_16_bool = not dmx_16_bool
199         print("DEBUG: DMX 16 Bit: "+str(dmx_16_bool))
200
201
202     print("") #print user inputs in console
203     print("Steps: " + str(steps_count))
204     print("Wait: "+str(wait))
205     print("Zeit: " + str(zeit))
206     print("DMX Adresse: " + str(dmx_add))
207     print("DMX Min: " +str(dmx_min))
208     print("DMX Max: " +str(dmx_max))
209     print("DMX Adresse 2: " + str(dmx_add_2))
210     print("DMX Adresse 3: " + str(dmx_add_3))
211     #return the variables to the webinterface
212     return render_template("index.html", steps_count=steps_count, d=d, zeit=zeit,
wait=wait, dmx_add=dmx_add,
213                             invertdmx=invertdmx, dmx_min=dmx_min, dmx_max=dmx_max,
dmx_add_2=dmx_add_2,dmx_add_3=dmx_add_3,

```

```

214         dmx_2_bool=dmx_2_bool, dmx_3_bool=dmx_3_bool,
        dmx_16_bool=dmx_16_bool)
215
216
217 @app.route("/submitted", methods=['POST']) #/submitted route to save user inputs for
        x_measure and y_measure
218 def x_y_form():
219     if request.method == "POST":
220         global x_form
221         global y_form
222
223         x_form = str(request.form.get("x_selection"))
224         y_form = str(request.form.get("y_selection"))
225         print(x_form)
226         print(y_form)
227
228         print("Estimated duration of the measurement"+str(timedelta(seconds=
        estimated_time())) #print and flash estimated measure time
229         flash("Estimated duration of the measurement: "+str(timedelta(seconds=
        estimated_time()))
230
231         return render_template("index.html", steps_count=steps_count, d=d, zeit=zeit,
        wait=wait, dmx_add=dmx_add,
232                 invertdmx=invertdmx, dmx_min=dmx_min, dmx_max=dmx_max,
        dmx_add_2=dmx_add_2, dmx_add_3=dmx_add_3,
233                 dmx_2_bool=dmx_2_bool, dmx_3_bool=dmx_3_bool,
        dmx_16_bool=dmx_16_bool)
234
235
236 @app.route('/', methods=['GET', 'POST']) #default "/" route for live user inputs
237 def index():
238     if request.method == 'GET': # "GET" request, when webinterface is called
239         global mavo_success, dmx_success, horst_success
240         global invertdmx
241
242         #flash errors in the webinterface, if connection to devices failed
243         if not mavo_success:
244             flash("ERROR: Cannot connect to Mavospec Base, please connect and restart
        ")
245         if not dmx_success:
246             flash("ERROR: Cannot connect to USB-DMX-Interface, please connect and
        restart")
247         if not horst_success:
248             flash("ERROR: Cannot connect to Horst, please connect and restart")
249
250     if request.method == 'POST':
251         global H_q0, H_q1, H_q2, H_q3, H_rx, H_ry, H_rz, H_x, H_y, H_z, H_speed,

```

```

H_rot, H_step
252     global H_x_Home, H_y_Home, H_z_Home
253     global r
254
255     #HORST CONTROL
256     # set different step sizes for robot controll
257     if request.form.get('Coarse') == 'Coarse':
258         H_step = 0.1 #0.1m
259         print("DEBUG: H_step: " + str(H_step))
260     elif request.form.get('Fine') == 'Fine':
261         H_step = 0.01 #1cm
262         print("DEBUG: H_step: " + str(H_step))
263     elif request.form.get('Extremely fine') == 'Extremely fine':
264         H_step = 0.001 #1mm
265         print("DEBUG: H_step: " + str(H_step))
266
267     elif request.form.get('Left') == 'Left':
268         print("DEBUG: User Input Horst Links")
269         try: #too fast user inputs while the robot is still processing the
previous command leads to problems, therefore try
270             Horst.moveHorst(H_x, H_y - H_step, H_z, H_rot, H_speed) #call the
moveHorst function
271             H_q0, H_q1, H_q2, H_q3, H_rx, H_ry, H_rz, H_x, H_y, H_z = Horst.
getCurrentRobotPosition() #save new current position
272             Horst.printPosition("xyz+rz")
273         except:
274             print("DEBUG: ERROR Moving Horst")
275     elif request.form.get('Right') == 'Right':
276         print("DEBUG: User Input Horst Rechts")
277         try:
278             Horst.moveHorst(H_x, H_y + H_step, H_z, H_rot, H_speed)
279             H_q0, H_q1, H_q2, H_q3, H_rx, H_ry, H_rz, H_x, H_y, H_z = Horst.
getCurrentRobotPosition()
280             Horst.printPosition("xyz+rz")
281         except:
282             print("DEBUG: ERROR Moving Horst")
283     elif request.form.get('Up') == 'Up':
284         print("DEBUG: User Input Horst Hoch")
285         try:
286             Horst.moveHorst(H_x, H_y, H_z + H_step, H_rot, H_speed)
287             H_q0, H_q1, H_q2, H_q3, H_rx, H_ry, H_rz, H_x, H_y, H_z = Horst.
getCurrentRobotPosition()
288             Horst.printPosition("xyz+rz")
289         except:
290             print("DEBUG: ERROR Moving Horst")
291     elif request.form.get('Down') == 'Down':
292         print("DEBUG: User Input Horst Runter")

```

```

293     try:
294         Horst.moveHorst(H_x, H_y, H_z - H_step, H_rot, H_speed)
295         H_q0, H_q1, H_q2, H_q3, H_rx, H_ry, H_rz, H_x, H_y, H_z = Horst.
getCurrentRobotPosition()
296         Horst.printPosition("xyz+rz")
297     except:
298         print("DEBUG: ERROR Moving Horst")
299
300     elif request.form.get('Store Home') == 'Store Home': #save current position
as new home position
301         H_q0, H_q1, H_q2, H_q3, H_rx, H_ry, H_rz, H_x, H_y, H_z = Horst.
getCurrentRobotPosition()
302         H_x_Home = H_x
303         H_y_Home = H_y
304         H_z_Home = H_z
305         print("Store Home: " + str(H_x_Home) + " " + str(H_y_Home) + " " + str(
H_z_Home))
306
307     elif request.form.get('Load Home') == 'Load Home': #load and move to the
stored home position
308         Horst.moveHorst(H_x_Home, H_y_Home, H_z_Home, H_rot, H_speed)
309         H_q0, H_q1, H_q2, H_q3, H_rx, H_ry, H_rz, H_x, H_y, H_z = Horst.
getCurrentRobotPosition()
310         print("Load and move Home: " + str(H_x_Home) + " " + str(H_y_Home) + " "
+ str(H_z_Home))
311
312     elif request.form.get('Set Radius') == 'Set Radius': #set current y-position
as the measure radius for the beam
313         if H_y != 0: #just store radius unequal to zero
314             r = H_y
315             if r < 0: #invert the negative value to positiv, if robot was moved
to the left
316                 r = r * (-1)
317             print("Radius: " + str(r))
318
319     elif request.form.get("Reference measurement") == "Reference measurement": #
reference measurement in the dark
320
321     global CCT_ref, sensorTemp, ref_measure, int_time_ref
322
323     mavo.measure() #trigger measurement
324     CCT_ref = mavo.CCT() #call color temperature values
325     sensorTemp = mavo.sensorTemp() #call CMOS-sensor temperature
326     int_time_ref = mavo.integrationTime() #call measurement integration time
327
328     ref_measure = True #set reference measurement flag to 1
329

```

```
330         mavo.beep("1") #give feedback of successfull measurement
331         flash("Reference measurement successfull!") #flash successfull
measurement on the webinterface
332
333         elif request.form.get("Messreihe") == "Messreihe": #user starts measurement
series
334             measure_series() #call the function to handle measurement series
335
336             file_path = str("static/xlsx/"+filename) #file path for the xlsx file on
the server side
337             print(file_path)
338             return send_file(file_path, as_attachment=True, attachment_filename=
filename) #gives the user a prompt in
339                                                     # the
webinterface to download the xlsx file
340
341             return render_template("index.html", steps_count=steps_count, d=d, zeit=zeit,
wait=wait, dmx_add=dmx_add,
342                                     invertdmx=invertdmx, dmx_min=dmx_min, dmx_max=dmx_max,
dmx_add_2=dmx_add_2,
343                                     dmx_add_3=dmx_add_3,
344                                     dmx_2_bool=dmx_2_bool, dmx_3_bool=dmx_3_bool, dmx_16_bool=
dmx_16_bool)
345
346
347 def measure_series(): #function to handle the measurement series
348
349     if steps_count >= 1:
350
351         global workbook, worksheet, spectrumsheet, bold, dmx_render, ref_measure,
pause_until, filename
352         global H_q0, H_q1, H_q2, H_q3, H_rx, H_ry, H_rz, H_x, H_y, H_z, H_speed,
H_rot, H_step
353
354         if not dmx_16_bool: #if 8-bit channels:
355             if not invertdmx: dmx_val = dmx_min #if DMX values are to increase from
low to high, initial value is the minimum
356             if invertdmx : dmx_val = dmx_max #accordingly the other way round
357         if dmx_16_bool: #if 16-bit channels:
358             if not invertdmx: msb, lsb = convert_16to8bit(dmx_min) #as with 8-bit,
but with calculating the two 8-bit values
359             if invertdmx: msb, lsb = convert_16to8bit(dmx_max)
360             dmx_val = msb #set the DMX value variable to the MSB (most significant
byte)
361             dmx_val_lsb = lsb #set a second DMX value variable to the LSB (least
signifacant byte)
362
```

```

363     dmx.set_channel(dmx_add, dmx_val) #set DMX channel to initial DMX value
364     if dmx_2_bool: dmx.set_channel(dmx_add_2, dmx_val) #if user set flag to 1,
set more DMX channels to initial DMX values
365     if dmx_3_bool: dmx.set_channel(dmx_add_3, dmx_val)
366
367     if dmx_16_bool: #if 16-bit flag is 1:
368         dmx.set_channel(dmx_add+1, dmx_val_lsb) #set the very next channel to the
least significant byte
369         if dmx_2_bool: dmx.set_channel(dmx_add_2+1, dmx_val_lsb)
370         if dmx_3_bool: dmx.set_channel(dmx_add_3+1, dmx_val_lsb)
371
372     dmx_render = True #enable DMX output
373
374     th = threading.Thread(target=threadFunc) #start DMX output in second thread
375     th.start()
376
377
378     print("DEBUG: INITIAL EXCEL SHEET")
379     mavo.beep("1") #user feedback that initiating measurement series started
380     now = datetime.now() #store current time
381     filename = now.strftime("%d_%m_%Y_%H_%M_%S")+ " "+x_form+" "+y_form+".xlsx" #
set filename to current date and time
382                                                                                                     #
+ the selected x and y axis
383
384     workbook = xlswriter.Workbook("static/xlsx/"+filename) #initate the XLSX
file
385     bold = workbook.add_format({'bold': True}) #enable bold font in the XLSX file
386     infosheet = workbook.add_worksheet("Info") #add an info sheet to the XLSX
file
387
388     deviceInfo = mavo.deviceInfo() #get deviceInfo from the MAVOSPEC BASE
389     fw = mavo.fw() #get MAVOSPEC BASE firmware
390     hw = mavo.hw() #get MAVOSPEC BASE hardware revision
391
392     #write Infosheet
393     infosheet.write(0, 0, "Messger t", bold)
394     infosheet.write(0, 1, deviceInfo[1] + " " + deviceInfo[3] + " " + deviceInfo
[4])
395     infosheet.write(1, 0, "Seriennummer", bold)
396     infosheet.write(1, 1, deviceInfo[5])
397     infosheet.write(2, 0, "Hardware", bold)
398     infosheet.write(2, 1, hw[0])
399     infosheet.write(3, 0, "Firmware", bold)
400     infosheet.write(3, 1, fw[0])
401     infosheet.write(4, 0, "Datum", bold)
402     infosheet.write(4, 1, now.strftime("%d.%m.%Y"))

```

```

403     infosheet.write(5, 0, "Uhrzeit Start", bold)
404     infosheet.write(5, 1, now.strftime("%H:%M:%S"))
405     infosheet.write(7, 0, "Abstand in m", bold)
406     infosheet.write(7, 1, d)
407
408     infosheet.set_column("A:A", 12.67) #set the A column to the size of 12.67
409
410     if ref_measure: #add extra sheet to the XLSX file, if a reference measurement
was executed
411         refsheet = workbook.add_worksheet("Referenzmessung")
412         # fill sheet with values
413         refsheet.write("A1", "Beleuchtungsstärke in Lux", bold)
414         refsheet.write("A2", "CCT in K", bold)
415         refsheet.write("A3", "duv", bold)
416         refsheet.write("B1", float(CCT_ref[2]))
417         refsheet.write("B2", int(CCT_ref[0]))
418         refsheet.write("B3", float(CCT_ref[1]))
419
420         refsheet.write("A4", "Integrationszeit in ms", bold)
421         refsheet.write("B4", int(int_time_ref[0]))
422
423         refsheet.write("A5", "Sensor Temperatur in C ", bold)
424         refsheet.write("B5", float(sensorTemp[0].replace(",",".")))
425
426         refsheet.set_column('A:A', 16.22)
427
428     #add sheets to
429     worksheet = workbook.add_worksheet(x_form + " - " + y_form)
430     spectrumsheet = workbook.add_worksheet("Spektrum")
431
432     mavo.beep("2") #user feedback that initiating XLSX file is done and
measurement series will start
433
434     if x_form == "Hotspot": #if the "Hotspot" measurement is selected, move the
robot to its home position
435         print("DEBUG: Move Horst Home")
436         Horst.moveHorst(H_x_Home, H_y_Home, H_z_Home, H_rot, H_speed)
437         H_q0, H_q1, H_q2, H_q3, H_rx, H_ry, H_rz, H_x, H_y, H_z = Horst.
getCurrentRobotPosition()
438         Horst.printPosition("xyz+rz")
439         time.sleep(0.5)
440
441
442     current_time = datetime.now() #save current time in variable
443     print(current_time)
444     pause_until = current_time + timedelta(0, wait * 60) #calculate the pause
before the first measurement starts,

```

```

445                                                                 # if the user set a wait
time
446
447     global x,y
448
449     for x in range(steps_count): #loop through the amount of measurements steps
450
451         x_measure(x_form)
452         y_measure(y_form)
453
454     x += 1
455
456
457
458     #
-----PLOTS-----POTS-----PLOTS-----PLOTS-----PLOTS-----PLO
459
460     zoom = 85 #set zoom size of plot sheets
461
462     #initiate the plot sheets in the XLSX file, depending on the selected axis
463     if y_form == "E,CCT,DUV":
464         E_plotsheet = workbook.add_chartsheet("Plot " + x_form + " - " + "Bel.
stroke")
465         E_plot = workbook.add_chart({'type': 'scatter', 'subtype': '
straight_with_markers'})
466         E_plot.add_series({
467             'name': [x_form + " - " + y_form, 0, 1],
468             'categories': [x_form + " - " + y_form, 1, 0, x, 0],
469             'values': [x_form + " - " + y_form, 1, 1, x, 1], })
470         E_plot.set_legend({'none': True})
471         E_plot.set_x_axis({'name': x_form, 'min': x_min, 'max': x_max})
472         E_plot.set_y_axis({'name': "Beleuchtungsstärke [Lux]"})
473         E_plot.set_title({'name': x_form + " / " + "Beleuchtungsstärke [Lux]"})
474         E_plotsheet.set_chart(E_plot)
475         E_plotsheet.set_zoom(zoom)
476
477         CCT_plotsheet = workbook.add_chartsheet("Plot " + x_form + " - " + "CCT")
478         CCT_plot = workbook.add_chart({'type': 'scatter', 'subtype': '
straight_with_markers'})
479         CCT_plot.add_series({
480             'name': [x_form + " - " + y_form, 0, 2],
481             'categories': [x_form + " - " + y_form, 1, 0, x, 0],
482             'values': [x_form + " - " + y_form, 1, 2, x, 2], })
483         CCT_plot.set_legend({'none': True})
484         CCT_plot.set_x_axis({'name': x_form, 'min': x_min, 'max': x_max})
485         CCT_plot.set_y_axis({'name': "CCT [K]", 'min': 2700, 'max': 8000})
         CCT_plot.set_title({'name': x_form + " / " + "CCT [K]"})

```

```

486 CCT_plotsheet.set_chart(CCT_plot)
487 CCT_plotsheet.set_zoom(zoom)
488
489 DUV_plotsheet = workbook.add_chartsheet("Plot " + x_form + " - " + "Duv")
490 DUV_plot = workbook.add_chart({'type': 'scatter', 'subtype': '
straight_with_markers'})
491 DUV_plot.add_series({
492     'name': [x_form + " - " + y_form, 0, 3],
493     'categories': [x_form + " - " + y_form, 1, 0, x, 0],
494     'values': [x_form + " - " + y_form, 1, 3, x, 3], })
495 DUV_plot.set_y_axis({})
496 DUV_plot.set_legend({'none': True})
497 DUV_plot.set_x_axis({'name': x_form, 'min': x_min, 'max': x_max})
498 DUV_plot.set_y_axis({'name': "Duv", 'min': -0.1, 'max': 0.1})
499 DUV_plot.set_title({'name': x_form + " / " + "Duv"})
500 DUV_plotsheet.set_chart(DUV_plot)
501 DUV_plotsheet.set_zoom(zoom)
502 # elif y_form == "XY,UV":
503 elif y_form == "CRI":
504     plotsheet = workbook.add_chartsheet("Plot " + x_form + " - " + y_form)
505     plot = workbook.add_chart({'type': 'scatter', 'subtype': '
straight_with_markers'})
506     plot.add_series({
507         'name': [x_form + " - " + y_form, 0, 1],
508         'categories': [x_form + " - " + y_form, 1, 0, x, 0],
509         'values': [x_form + " - " + y_form, 1, 1, x, 1], })
510     plot.set_legend({'none': True})
511     plot.set_x_axis({'name': x_form, 'min': x_min, 'max': x_max})
512     plot.set_y_axis({'name': y_form})
513     plot.set_title({'name': x_form + " / " + y_form})
514     plotsheet.set_chart(plot)
515     plotsheet.set_zoom(zoom)
516 elif y_form == "TM30":
517     plotsheet = workbook.add_chartsheet("Plot " + x_form + " - " + y_form)
518     plot = workbook.add_chart({'type': 'scatter', 'subtype': '
straight_with_markers'})
519     plot.add_series({
520         'name': [x_form + " - " + y_form, 0, 1],
521         'categories': [x_form + " - " + y_form, 1, 0, x, 0],
522         'values': [x_form + " - " + y_form, 1, 1, x, 1], })
523     plot.add_series({
524         'name': [x_form + " - " + y_form, 0, 2],
525         'categories': [x_form + " - " + y_form, 1, 0, x, 0],
526         'values': [x_form + " - " + y_form, 1, 2, x, 2], })
527     plot.set_x_axis({'name': x_form, 'min': x_min, 'max': x_max})
528     plot.set_y_axis({'name': y_form})
529     plot.set_title({'name': x_form + " / " + y_form})

```

```

530     plotsheet.set_chart(plot)
531     plotsheet.set_zoom(zoom)
532     elif y_form == "TLCI":
533         plotsheet = workbook.add_chartsheet("Plot " + x_form + " - " + y_form)
534         plot = workbook.add_chart({'type': 'scatter', 'subtype': '
straight_with_markers'})
535         plot.add_series({
536             'name': [x_form + " - " + y_form, 0, 1],
537             'categories': [x_form + " - " + y_form, 1, 0, x, 0],
538             'values': [x_form + " - " + y_form, 1, 1, x, 1], })
539         plot.set_legend({'none': True})
540         plot.set_x_axis({'name': x_form, 'min': x_min, 'max': x_max})
541         plot.set_y_axis({'name': y_form})
542         plot.set_title({'name': x_form + " / " + y_form})
543         plotsheet.set_chart(plot)
544         plotsheet.set_zoom(zoom)
545
546     spectrumplotsheet = workbook.add_chartsheet("Plot Spektrum")
547     spectrumplot = workbook.add_chart({'type': 'scatter', 'subtype': 'straight'})
548     spectrumplot.add_series({
549         'categories': '=Spektrum!$B$1:$CD$1',
550         'values': '=Spektrum!$B$2:$CD$2',
551         'line': {'color': 'white'},
552     })
553     spectrumplot.set_plotarea({
554         'gradient': {
555             'colors': ['#B000AE', '#FF00FC', '#0000FF', '#00FFFF', '#00FF00', '#
FFFF00', '#FFA200', '#FF0000',
556                 '#000000'],
557             'positions': [0, 5, 17, 26, 37, 50, 55, 76, 100],
558             'angle': 0.01}
559     })
560     spectrumplot.set_legend({'none': True})
561     spectrumplot.set_x_axis({'name': "[nm]", 'min': 380, 'max': 780})
562     spectrumplot.set_y_axis({'name': "[mW/m /nm]"})
563     spectrumplot.set_title({'name': "Spektrum - Messung 1"})
564     spectrumplotsheet.set_chart(spectrumplot)
565     spectrumplotsheet.set_zoom(zoom)
566
567     now = datetime.now() #store current time in variable to log the time the
measurement series finished
568     infosheet.write(6, 0, "Uhrzeit Stop", bold)
569     infosheet.write(6, 1, now.strftime("%H:%M:%S"))
570
571     Horst.moveHorst(H_x_Home, H_y_Home, H_z_Home, H_rot, H_speed) #move Horst home
572     H_q0, H_q1, H_q2, H_q3, H_rx, H_ry, H_rz, H_x, H_y, H_z = Horst.
getCurrentRobotPosition()

```

```

573 Horst.printPosition("xyz+rz")
574
575 workbook.close() #close and save the XLSX file
576
577 ref_measure = False #reset the reference measurement flag
578 dmx_render = False #disable the DMX output
579
580 mavo.beep("3") #user feedback that the measurement series is finished
581 print("DEBUG: workbook closed")
582
583 return
584
585
586 # -----Subfunctions-----
587
588 def x_measure(x_form):
589     global dmx_add, x_min, x_max, d, current_time, pause_until
590
591     if x_form == "DMX": #if selected x axis is DMX initiate log sheets in XLSX file
592         worksheet.write(0, 0, "DMX in % ", bold)
593         spectrumsheet.write(0, 0, "DMX in %", bold)
594
595         dmx_arr = np.linspace(dmx_min, dmx_max, steps_count, endpoint=True) #
596         calculate an array with DMX values between                                     #the min.
597         and max. DMX value with equal spacing
598         if invertdmx: dmx_arr = dmx_arr[::-1] #invert the DMX value array if flag is
599         1
600
601         if not dmx_16_bool: #if 8-bit values:
602             dmx_val = round(dmx_arr[x]) #round the float values in the array to
603             integers
604             if dmx_val > 255: dmx_val = 255 #if an error occurs that the values are
605             out of range, set values in range
606             if dmx_val < 0: dmx_val = 0
607             if dmx_16_bool:
608                 msb,lsb = convert_16to8bit(round(dmx_arr[x])) #calculate the value from
609                 the array into two 8 bit values
610                 # for a 16-bit output on
611                 two DMX channels
612                 dmx_val = msb
613                 dmx_val_lsb = lsb
614
615     print("DEBUG: dmx_arr: " + str(dmx_arr))
616     print("DEBUG: dmx_val: " + str(dmx_val))

```

```
613     x_val = round(((dmx_val-dmx_min)/(dmx_max-dmx_min))*100) # calculate
percentage value from minimal and maximal DMX value
614     worksheet.write(x + 1, 0, x_val) # write percentage values into XLSX file
615     spectrumsheet.write(x + 1, 0, x_val)
616
617     dmx.set_channel(dmx_add, dmx_val) # set DMX channel to calculated DMX value
618     if dmx_2_bool: dmx.set_channel(dmx_add_2, dmx_val) # if flag for more DMX
values is 1 set these channels also
619     if dmx_3_bool: dmx.set_channel(dmx_add_3, dmx_val)
620
621     if dmx_16_bool: # if 16-bit output is enabled:
622         dmx.set_channel(dmx_add+1, dmx_val_lsb) # set DMX value of the very next
channel to the LSB
623         if dmx_2_bool: dmx.set_channel(dmx_add_2+1, dmx_val_lsb)
624         if dmx_3_bool: dmx.set_channel(dmx_add_3+1, dmx_val_lsb)
625     time.sleep(1) # wait 1 second for mechanical parts in the moving head to get
in position
626
627     x_min = 0 # set value range for the plot
628     x_max = 100
629
630     return
631
632 elif x_form == "Zeitmessung": #if selected x axis is a timed measurement initiate
log sheets in XLSX file
633
634     if x + 1 <= steps_count: # if the last measurement has not yet happened, then
:
635         if x == 0: # if it is the first measurement, then:
636             mavo.beep("3") # user feedback, if user wants to measure brightness
progression over time
637             current_time = pause_until # set the variable current_time to the
time, which was stored in the variable
638                                     # pause_until, until which is waited
before the next measurement
639
640             if x > 0: # if it is NOT the first measurement
641                 pause_until = current_time + timedelta(0,zeit) # store the time to
wait before the measurement in
642                                                         # the variable
pause_until, which is the sum of the
643                                                         # current time and the
time variable set by the user
644
645                 current_time = pause_until # overwrite the current_time variable with
the new calculated time for the next loop
646
```

```

647     worksheet.write(0, 0, "Zeit in Minuten", bold)
648     spectrumsheet.write(0, 0, "Zeit in Minuten", bold)
649     worksheet.write(x + 1, 0, (zeit*x)/60) # log time in minutes not seconds in
the XLSX file
650     spectrumsheet.write(x + 1, 0, (zeit*x)/60)
651
652     x_min = 0 # set value range for plot in minutes
653     x_max = zeit*(steps_count-1)/60
654
655     return
656
657     elif x_form == "Hotspot": # if selected x axis is a hotspot measurement initiate
log sheets in XLSX file
658
659         phi = round(math.degrees(np.arccos(-r / d) - math.radians(90)), 3) #
calculate the angle the robot needs to rotate
660
661
662
663
664
665
666
667
668
669         phi_array = np.linspace(-phi, phi, steps_count, endpoint=True) # create an
array that mirrors the max. phi and
670
671
672
673
674
675
676
677
678
679
680
681
682
683
684
685
# and
round to and round to 3 decimal places
print("DEBUG: phi: " + str(phi))
x_min = -r # set value range for the plot
x_max = r
#DELETE? phi_array = []
x_array = []
y_array = []
# calculates lineare
spacings between the measurement points
for i in (phi_array): # calculate x and y values for every phi value in
phi_array
x_rel = -(d * np.sin(math.radians(90 - i)) - d)
x_array.append(np.round(x_rel, 3)) # append the value to the array
y_rel = d * np.cos(math.radians(90 - i))
y_array.append(np.round(y_rel, 3))
print(phi_array)
print(x_array)
print(y_array)
print(
    "Move X : " + str(round(float(H_x + x_array[x]),2)) + " Move Y : " + str(
round(float(H_y + y_array[x]),2))
    + " Move Z : " + str(round(float(H_z),2)) + " Move RZ: " + str(round(float(

```

```

phi_array[x]),2)))
686     # move robot to the calculated position
687     Horst.moveHorst(float(H_x + x_array[x]), float(H_y + y_array[x]), float(H_z),
float(phi_array[x]), H_speed)
688     time.sleep(0.5) # wait for robot to arrive
689
690     worksheet.write(0, 0, "Abstand zu Mittelpunkt [m]", bold) # write y value in
XLSX file
691     spectrumsheet.write(0, 0, "Abstand zu Mittelpunkt [m]", bold)
692     worksheet.write(x + 1, 0, round(y_array[x],2))
693     spectrumsheet.write(x + 1, 0, round(y_array[x],2))
694     return
695 else:
696     print("DEBUG: no known X-Form selected")
697     return
698
699
700 def y_measure(y_form):
701     print("Pause until " + str(pause_until))
702     pause.until(pause_until) # pause until the time in variable pause_until for
timed measuring
703     print("")
704     print("Messung " + str(x + 1))
705     print("DEBUG: Now: "+str(datetime.now()))
706     print("mavo.measure()")
707     mavo.measure() # trigger measurement
708
709     if y_form == "E,CCT,DUV": # if user set y-axis to "E,CCT,DUV":
710
711         # print("DEBUG: cct y-form")
712
713         worksheet.write(0, 1, "Beleuchtungsstärke in Lux", bold) # name rows in
XLSX file
714         worksheet.write(0, 2, "CCT in K", bold)
715         worksheet.write(0, 3, "duv", bold)
716         worksheet.write(0, 4, "Integrationszeit in ms", bold)
717
718         mes_cct = mavo.CCT() # call measurement values from MAVOSPEC
719         int_time = mavo.integrationTime()
720         CCT = mes_cct[0] # store measurement values in own variables
721         DUV = mes_cct[1]
722         E = mes_cct[2]
723
724         worksheet.write(x + 1, 1, float(E)) # log measurement values in XLSX file
725         worksheet.write(x + 1, 2, int(CCT))
726         worksheet.write(x + 1, 3, float(DUV))
727         worksheet.write(x + 1, 4, int(int_time[0]))

```

```
728
729 elif y_form == "XY,UV":
730     # print("DEBUG: XY y-form")
731
732     worksheet.write(0, 1, "X", bold)
733     worksheet.write(0, 2, "Y", bold)
734     worksheet.write(0, 3, "U", bold)
735     worksheet.write(0, 4, "V", bold)
736     worksheet.write(0, 5, " U ", bold)
737     worksheet.write(0, 6, " V ", bold)
738     worksheet.write(0, 7, "Integrationszeit in ms", bold)
739
740     mes_CC = mavo.colorCoordiantes()
741     int_time = mavo.integrationTime()
742     X = mes_CC[0]
743     Y = mes_CC[1]
744     U1 = mes_CC[2]
745     V1 = mes_CC[3]
746     U2 = mes_CC[4]
747     V2 = mes_CC[5]
748
749     worksheet.write(x + 1, 1, float(X))
750     worksheet.write(x + 1, 2, float(Y))
751     worksheet.write(x + 1, 3, float(U1))
752     worksheet.write(x + 1, 4, float(V1))
753     worksheet.write(x + 1, 5, float(U2))
754     worksheet.write(x + 1, 6, float(V2))
755     worksheet.write(x + 1, 7, int(int_time[0]))
756
757 elif y_form == "CRI":
758
759     # print("DEBUG: CRI y-form")
760
761     worksheet.write(0, 1, "Ra", bold)
762     worksheet.write(0, 2, "R1", bold)
763     worksheet.write(0, 3, "R2", bold)
764     worksheet.write(0, 4, "R3", bold)
765     worksheet.write(0, 5, "R4", bold)
766     worksheet.write(0, 6, "R5", bold)
767     worksheet.write(0, 7, "R6", bold)
768     worksheet.write(0, 8, "R7", bold)
769     worksheet.write(0, 9, "R8", bold)
770     worksheet.write(0, 10, "R9", bold)
771     worksheet.write(0, 11, "R10", bold)
772     worksheet.write(0, 12, "R11", bold)
773     worksheet.write(0, 13, "R12", bold)
774     worksheet.write(0, 14, "R13", bold)
```

```
775     worksheet.write(0, 15, "R14", bold)
776     worksheet.write(0, 16, "R15", bold)
777     worksheet.write(0, 17, "Integrationszeit in ms", bold)
778
779     mes_CRI = mavo.CRI()
780     int_time = mavo.integrationTime()
781     Ra = mes_CRI[0]
782     R1 = mes_CRI[3]
783     R2 = mes_CRI[4]
784     R3 = mes_CRI[5]
785     R4 = mes_CRI[6]
786     R5 = mes_CRI[7]
787     R6 = mes_CRI[8]
788     R7 = mes_CRI[9]
789     R8 = mes_CRI[10]
790     R9 = mes_CRI[11]
791     R10 = mes_CRI[12]
792     R11 = mes_CRI[13]
793     R12 = mes_CRI[14]
794     R13 = mes_CRI[15]
795     R14 = mes_CRI[16]
796     R15 = mes_CRI[17]
797
798     worksheet.write(x + 1, 1, float(Ra))
799     worksheet.write(x + 1, 2, float(R1))
800     worksheet.write(x + 1, 3, float(R2))
801     worksheet.write(x + 1, 4, float(R3))
802     worksheet.write(x + 1, 5, float(R4))
803     worksheet.write(x + 1, 6, float(R5))
804     worksheet.write(x + 1, 7, float(R6))
805     worksheet.write(x + 1, 8, float(R7))
806     worksheet.write(x + 1, 9, float(R8))
807     worksheet.write(x + 1, 10, float(R9))
808     worksheet.write(x + 1, 11, float(R10))
809     worksheet.write(x + 1, 12, float(R11))
810     worksheet.write(x + 1, 13, float(R12))
811     worksheet.write(x + 1, 14, float(R13))
812     worksheet.write(x + 1, 15, float(R14))
813     worksheet.write(x + 1, 16, float(R15))
814     worksheet.write(x + 1, 17, int(int_time[0]))
815
816     elif y_form == "TM30":
817
818         # print("DEBUG: tm30 y-form")
819
820     worksheet.write(0, 1, "Rf", bold)
821     worksheet.write(0, 2, "Rg", bold)
```

```
822     worksheet.write(0, 3, "Integrationszeit in ms", bold)
823
824     mes_tm30 = mavo.TM30()
825     int_time = mavo.integrationTime()
826     Rf = mes_tm30[0]
827     Rg = mes_tm30[1]
828
829     worksheet.write(x + 1, 1, float(Rf))
830     worksheet.write(x + 1, 2, float(Rg))
831     worksheet.write(x + 1, 3, int(int_time[0]))
832
833     elif y_form == "TLCI":
834         # print("DEBUG: TLCI y-form")
835
836         worksheet.write(0, 1, "TLCI", bold)
837         worksheet.write(0, 2, "Integrationszeit in ms", bold)
838
839         mes_tlci = mavo.TLCI()
840         int_time = mavo.integrationTime()
841         TLCI = mes_tlci[0]
842
843         worksheet.write(x + 1, 1, int(TLCI))
844         worksheet.write(x + 1, 2, int(int_time[0]))
845
846     else:
847         print("DEBUG: no known Y-Form selected")
848
849     # write wavelength from 380-780nm in 5nm steps in first row of spectrumsheet
850     s = 380
851     j = 1
852     while s <= 780: # loop until 780bn
853         spectrumsheet.write(0, j, s, bold) # write wavelength in first row and
always in 5nm steps in the next column
854         s += 5
855         j += 1
856
857     spectrumsheet.write(0, j, "[nm]", bold)
858     spectrumsheet.write(1, j, "[mW/m /nm]", bold)
859
860     mes_spec = mavo.spectrum() # call measured spectrum from MAVOSPEC BASE
861
862     i = 0
863     while i <= 80: # write the 80 measurement points in XLSX file
864         spectrumsheet.write(x + 1, i + 1, float(mes_spec[i]))
865         i += 1
866     return
867
```

```
868
869 def convert_16to8bit(x, n_bytes=2, order='big'): # function to convert a 16-byte
      value to two 8-bit values
870     msb, lsb = x.to_bytes(n_bytes, byteorder=order) # using the built in to_bytes
      function from python
871     return (msb, lsb)
872
873
874 def estimated_time(): # estimate the time it will take the measurement series to
      finish
875     est_time = 0
876     est_time += 20
877     est_time += wait*60
878
879     if x_form == "Zeitmessung":
880         est_time += (steps_count-1) * zeit
881         est_time += 30
882         return est_time
883
884     if y_form == "E,CCT,DUV":
885         est_time += steps_count * 27
886         return est_time
887     elif y_form == "XY,UV":
888         est_time += steps_count * 20
889         return est_time
890     elif y_form == "CRI":
891         est_time += steps_count * 20
892         return est_time
893     elif y_form == "TM30":
894         est_time += steps_count * 20
895         return est_time
896     elif y_form == "TLCI":
897         est_time += steps_count * 20
898         return est_time
```

Listing 6.2: Python-Code

6.2.4 Gossen MAVOSPEC BASE Python-Bibliothek

```
1 #!/usr/bin/python
2 import serial
3 import time
4
5 def Connect(comPort):
6     global serialPort
7     serialPort = serial.Serial(port=comPort, baudrate=9600, bytesize=8, timeout=5,
8     stopbits=serial.STOPBITS_ONE)
9
10 def Disconnect():
11     serialPort.close()
12
13
14 def CDCCommand(command, replylength,):
15     c = command
16     sendC = c + "\r\n"
17     serialPort.write(bytes(sendC, encoding='utf8')) # write a string
18     time.sleep(0.1)
19     x = serialPort.read(replylength).decode('utf-8')
20     return x.split()
21
22
23 # Get Sensor Information
24 def sensorInfo():
25     command = "sensorinfo?"
26     replylength = 70
27     return CDCCommand(command, replylength)
28
29
30 # Get Device Information
31 def deviceInfo():
32     command = "deviceinfo?"
33     replylength = 135
34     return CDCCommand(command, replylength)
35
36
37 # Get Firmware Revision
38 def fw():
39     command = "fw?"
40     replylength = 6
41     return CDCCommand(command, replylength)
42
43
44 # Get Hardware Revision
45 def hw():
```

```
46     command = "hw?"
47     replylength = 3
48     return CDCCommand(command, replylength)
49
50
51 # Get Calibration Data
52 def calibrationData():
53     command = "calibrationdata?"
54     replylength = 55 * 64
55     return CDCCommand(command, replylength)
56
57
58 # Get Wavelength (Pixel)
59 def wavelength():
60     command = "wavelength?"
61     replylength = 52 * 64
62     return CDCCommand(command, replylength)
63
64
65 # Get IntegrationTime
66 def integrationTime():
67     command = "integrationtime?"
68     replylength = 10
69     return CDCCommand(command, replylength)
70
71
72 # Get the Status Flags
73 def statusFlags():
74     command = "flags?"
75     replylength = 70
76     return CDCCommand(command, replylength)
77
78
79 # Get Raw spectral data
80 def rawSpectralData():
81     command = "rawspectraldata?"
82     replylength = 26 * 64
83     return CDCCommand(command, replylength)
84
85
86 # Get battery voltage
87 def batteryVoltage():
88     command = "batvoltage"
89     replylength = 6
90     return CDCCommand(command, replylength)
91
92
```

```
93 # Get sensor temperature
94 def sensorTemp():
95     command = "temp?"
96     replylength = 8
97     return CDCCCommand(command, replylength)
98
99
100 # Get single Ambient Sensor Conversion
101 def ambientSensorConversion():
102     command = "ambiconversion?"
103     replylength = 10
104     return CDCCCommand(command, replylength)
105
106
107 # Start a Flicker Measurement
108 def doFlickerMeasure():
109     command = "doflickermeasure"
110     replylength = 64
111     return CDCCCommand(command, replylength)
112
113
114 # Get all Ambient Sensor Data
115 def ambientSensorData():
116     command = "ambisensordata?"
117     replylength = 52 * 64
118     return CDCCCommand(command, replylength)
119
120
121 # Get calculated flicker values
122 def flickerDataRow():
123     command = "flickerdata?"
124     replylength = 52 * 64
125     return CDCCCommand(command, replylength)
126
127
128 # Spectrum in 5nm Steps
129 def spectrum():
130     command = "calculateddata? 01"
131     replylength = 18 * 64
132     return CDCCCommand(command, replylength)
133
134
135 # CCT, duv, Evis, Ee, LamdaPeak, LambdaPeak_Val, Lambda_Dominant, Purity
136 def CCT():
137     command = "calculateddata? 02"
138     replylength = 55
139     return CDCCCommand(command, replylength)
```

```
140
141
142 # Color Coordinates (x/y, u/v, u / v )
143 def colorCoordiantes():
144     command = "calculateddata? 03"
145     replylength = 50
146     return CDCCCommand(command, replylength)
147
148
149 # CRI Values
150 def CRI():
151     command = "calculateddata? 04"
152     replylength = 3 * 64
153     return CDCCCommand(command, replylength)
154
155
156 # TM30 Values
157 def TM30():
158     command = "calculateddata? 05"
159     replylength = 23 * 64
160     return CDCCCommand(command, replylength)
161
162
163 # FLicker Data
164 def flickerData():
165     command = "calculateddata? 06"
166     replylength = 64
167     return CDCCCommand(command, replylength)
168
169
170 # PAR Data
171 def PAR():
172     command = "calculateddata? 07"
173     replylength = 12 * 64
174     return CDCCCommand(command, replylength)
175
176
177 # TLCI Data
178 def TLCI():
179     command = "calculateddata? 08"
180     replylength = 16 * 64
181     return CDCCCommand(command, replylength)
182
183
184 # Get currently activated Report Items
185 def reportItems():
186     command = "reportitems?"
```

```
187     replylength = 32
188     return CDCCommand(command, replylength)
189
190
191 # Get Device Time and Date
192 def deviceTimeDate():
193     command = "datetime?"
194     replylength = 32
195     return CDCCommand(command, replylength)
196
197
198 # Get currently Displayed Function
199 def displayFunction():
200     command = "displayfunction?"
201     replylength = 2
202     return CDCCommand(command, replylength)
203
204
205 # Get current Backlight Setting
206 def backlight():
207     command = "backlight?"
208     replylength = 4
209     return CDCCommand(command, replylength)
210
211
212 ###Missing Functions
213
214 # Start Measurement
215 def measure():
216     command = "keycode M"
217     replylength = 64
218     sendC = command + "\r\n"
219     serialPort.write(bytes(sendC, encoding='utf8')) # write a string
220     time.sleep(3)
221     x = serialPort.read(replylength).decode('utf-8')
222     return x.split()
223
224
225 ###Missing Functions
226
227 def beep(beep="1"):
228     # 1: short beep
229     # 2: long beep
230     # 3: error beep
231     # Anything else = short beep
232     command = "beep" + beep
233     replylength = 64
```

```
234     return CDCCCommand(command, replylength)
235
236
237 version = '0.1'
```

Listing 6.3: Gossen MAVOSPEC BASE Python-Bibliothek

6.2.5 fruitcore HORST900 Python-Bibliothek

```
1 import xmlrpc.client
2 import numpy as np
3 import math
4
5 class Horst:
6     def __init__(self, user="horstFX", password="WZA3P9", url="127.0.0.1:8080/xml-rpc
7         "):
8         self.URL = "@" + url
9         self.USERNAME = user
10        self.PASSWORD = password
11        self.client = xmlrpc.client.ServerProxy("http://" + self.USERNAME + ":" +
12        self.PASSWORD + self.URL)
13        print("Initialized xmlrpc client for user '" + self.USERNAME + "'")
14
15    def getCurrentRobotPosition(self):
16        pos = self.client.HorstFX.v1.Robotcontrol.getCurrentRobotPosition()
17        H_q0 = pos.get("q0")
18        H_q1 = pos.get("q1")
19        H_q2 = pos.get("q2")
20        H_q3 = pos.get("q3")
21        H_rx = pos.get("rx")
22        H_ry = pos.get("ry")
23        H_rz = pos.get("rz")
24        H_x = pos.get("x")
25        H_y = pos.get("y")
26        H_z = pos.get("z")
27
28        return H_q0, H_q1, H_q2, H_q3, H_rx, H_ry, H_rz, H_x, H_y, H_z
29
30    def getCurrentRobotJoints(self):
31        joints = self.client.HorstFX.v1.Robotcontrol.getCurrentRobotJoints()
32        H_j1 = joints.get("j1")
33        H_j2 = joints.get("j2")
34        H_j3 = joints.get("j3")
35        H_j4 = joints.get("j4")
36        H_j5 = joints.get("j5")
37        H_j6 = joints.get("j6")
38
39        return H_j1, H_j2, H_j3, H_j4, H_j5, H_j6
40
41
42    def moveLinear(self, H_x, H_y, H_z, H_q0, H_q1, H_q2, H_q3, H_speed):
43        result = self.client.HorstFX.v1.Robotcontrol.moveLinear(H_x, H_y, H_z, H_q0,
44        H_q1, H_q2, H_q3, H_speed)
```

```
44     return result
45
46
47     def moveJoint(self, H_x, H_y, H_z, H_q0, H_q1, H_q2, H_q3, H_speed):
48         result = self.client.HorstFX.v1.Robotcontrol.moveJoint(H_x, H_y, H_z, H_q0,
49             H_q1, H_q2, H_q3, H_speed) # speed
50         return result
51
52     def moveHorst(self, H_x, H_y, H_z, H_rot, H_speed):
53         H_rot -= 90 # -90 Grad Verschiebung, damit 0 Grad Messger t Richtung
54         Scheinwerfer entspricht
55         H_rot = math.radians(H_rot)
56         q = get_quaternion_from_eulers(-3.14159265359, 0.0, H_rot)
57         H_q0 = float(q[0])
58         H_q1 = float(q[1])
59         H_q2 = float(q[2])
60         H_q3 = float(q[3])
61
62         if H_z > 0.215 and -0.61 <= H_y <= 0.61: #Limits f r Horst
63             result = self.client.HorstFX.v1.Robotcontrol.moveJoint(H_x, H_y, H_z,
64                 H_q0, H_q1, H_q2, H_q3, H_speed) # speed
65             return result
66
67         else:
68             print("ERROR: Value out of Range!")
69
70     def printPosition(self, detail= "xyz+rz"):
71         import app
72         if detail == "xyz+rz":
73             print("Horst_x: " + str(round(app.H_x, 3)))
74             print("Horst_y: " + str(round(app.H_y, 3)))
75             print("Horst_z: " + str(round(app.H_z, 3)))
76             print("Horst_rz: " + str(round(app.H_rz, 3)))
77         if detail == "xyz+rxryrz":
78             print("Horst_x: " + str(app.H_x))
79             print("Horst_y: " + str(app.H_y))
80             print("Horst_z: " + str(app.H_z))
81             print("Horst_rx: " + str(app.H_rx))
82             print("Horst_ry: " + str(app.H_ry))
83             print("Horst_rz: " + str(app.H_rz))
84         if detail == "xyz+r+q":
85             print("Horst_x: " + str(app.H_x))
86             print("Horst_y: " + str(app.H_y))
87             print("Horst_z: " + str(app.H_z))
88             print("Horst_rx: " + str(app.H_rx))
```

```
88     print("Horst_ry: " + str(app.H_ry))
89     print("Horst_rz: " + str(app.H_rz))
90     print("Horst_q0: " + str(app.H_q0))
91     print("Horst_q1: " + str(app.H_q1))
92     print("Horst_q2: " + str(app.H_q2))
93     print("Horst_q3: " + str(app.H_q3))
94
95
96 def get_quaternion_from_eulers(yaw, pitch, roll):
97     """
98     https://automaticaddison.com/how-to-convert-euler-angles-to-quaternions-using-
99     python/
100
101     Convert an Euler angle to a quaternion.
102
103     Input
104     :param roll: The roll (rotation around x-axis) angle in radians.
105     :param pitch: The pitch (rotation around y-axis) angle in radians.
106     :param yaw: The yaw (rotation around z-axis) angle in radians.
107
108     -Horst has a ZYX-orientation
109
110     Output
111     :return qx, qy, qz, qw: The orientation in quaternion [x,y,z,w] format
112     """
113     qx = np.sin(roll / 2) * np.cos(pitch / 2) * np.cos(yaw / 2) - np.cos(roll / 2) *
114     np.sin(pitch / 2) * np.sin(yaw / 2)
115     qy = np.cos(roll / 2) * np.sin(pitch / 2) * np.cos(yaw / 2) + np.sin(roll / 2) *
116     np.cos(pitch / 2) * np.sin(yaw / 2)
117     qz = np.cos(roll / 2) * np.cos(pitch / 2) * np.sin(yaw / 2) - np.sin(roll / 2) *
118     np.sin(pitch / 2) * np.cos(yaw / 2)
119     qw = np.cos(roll / 2) * np.cos(pitch / 2) * np.cos(yaw / 2) + np.sin(roll / 2) *
120     np.sin(pitch / 2) * np.sin(yaw / 2)
121
122     return [qx, qy, qz, qw]
```

Listing 6.4: fruitcore HORST900 Python-Bibliothek

Ich versichere, die vorliegende Arbeit selbständig ohne fremde Hilfe verfasst und keine anderen Quellen und Hilfsmittel als die angegebenen benutzt zu haben. Die aus anderen Werken wörtlich entnommenen Stellen oder dem Sinn nach entlehnten Passagen sind durch Quellenangaben eindeutig kenntlich gemacht.



Hamburg, 21. Juli 2022 Jan Huesmann